

**O'ZBEKISTON RESPUBLIKASI  
OLIY VA O'RTA MAXSUS TA'LIM VAZIRLIGI**

**ABU RAYHON BERUNIY NOMIDAGI TOSHKENT  
DAVLAT TEXNIKA UNIVERSITETI**

**RADIOTEXNIK ZANJIRLAR VA  
SIGNALLAR**

*O'quv-uslubiy qo'llanma*

TOSHKENT – 2015

УДК 621.372

Tuzuvchilar Xasanov M. M., Qurbanboyev Sh. Z. Radiotexnik zanjirlar va signallar: O‘quv-uslubiy qo‘llanma. – Toshkent, ToshDTU, 2015, 144.

Ushbu o‘quv-uslubiy qo‘llanma 5350700 – “Radioelektron qurilmalar va tizimlar” yo‘nalishi bo‘yicha ta’lim oluvchi bakalavriat talabalariga mo‘ljallangan bo‘lib, „Radiotexnik zanjirlar va signallar” fanining o‘quv dasturiga asosan tuzilgan.

O‘quv-uslubiy qo‘llanma 12 banddan iborat bo‘lib, III bosqichning 5 va 6 semestrida o‘tiladigan ma’ruza mashg‘ulotlariga asoslanib, talabalarga mustaqil ravishda bilimlarini oshirish uchun mo‘ljallangan.

*Abu Rayhon Beruniy nomidagi Toshkent davlat texnika universitetining ilmiy-uslubiy kengashi qarori bilan chop etildi*

Taqrizchilar:

- D. A. Davronbekov – TATU, “Mobil aloqa texnologiyali” kafedrasi mudiri, t.f.n.  
K. G. Abidov – ToshDTU, “Nazariy elekrotexnika va elektron texnologiyalar” kafedrasi mudiri, t.f.n.

## KIRISH

Radiotexnika va radioelektronika sohasi bo'yicha zamonaviy muhandislarni tayyorlashda „Radiotexnik zanjirlar va signallar” fani asosiy fanlardan biri hisoblanadi. Bu fanning asosiy maqsadi signallarni qanday qilib hosil qilish, ularni aloqa kanallari bo'yicha uzatish, radiotexnik zanjirlarda signallarni qayta ishlash va o'zgartirishlar bilan bog'liq bo'lgan fundamental qonuniyatlarni o'rganishdan iborat. "Matematika", "Fizika" va "Elektrotexnika nazariyalari asoslari" fanlariga tayanuvchi "Radiotexnik zanjirlar va signallar" fani talabalarni yangi tushunchalar va terminlar doirasiga olib kiradi va bularni chuqur bilish va o'zlashtirish navbatdagi yo'nalish fanlarini o'rganishda katta omil hisoblanadi.

"Radiotexnik zanjirlar va signallar" fanida keltiriladigan signallarni va radiotexnik zanjirlarni tahlil qilish usullari talabalar uchun asosan avvalgi fanlardan ma'lum bo'lgan matematik apparatlar hisoblanadi. "Radiotexnik zanjirlar va signallar" fanining asosiy vazifasi talabalarning yechilayotgan masalani aniq tasvirlovchi matematik apparatlarni tanlash, radiotexnika sohasi bo'yicha konkret ilmiy va texnik masalalarni yechishda bu tanlangan matematik apparatlar qanday ishlashini ko'rsatishdan iborat. Shu bilan bir qatorda talabalarni matematik ifodalash bilan ko'rيلayotgan xodisalarning fizik tomonlarini bog'liqligini ko'rish, o'rganilayotgan jarayonlarga matematik modellar tuzishni o'rganishdan iborat.

"Radiotexnik zanjirlar va signallar" fani ko'rib chiqadigan masalalar – bular signallar nazariyasiga kiradigan masalalar: informatsion va boshqaruvchi signallarni spektral va korrelyatsion tahlil qilish; diskret va raqamli signallar nazariyasi asoslari; deterministik signallar bilan bir qatorda o'rganiladigan tasodifiy signallar va halaqitlarni statistik tahlil qilish; chiziqli zanjirlarda signallarni o'zgartirish nazariyasi; nochiziq va parametrik qurilmalar nazariyasi kabilalar.

## **1. Signallarni masofaga uzatish va radiotexnikada ishlataladigan chastotalar**

### **1.1. Radiotexnikaning asosiy vazifalari**

Radiotexnikaning asosiy vazifalaridan biri sifatida xabarni ma'lum masofaga uzatish hisoblanadi. Masofa xabar uzatuvchi va qabul qiluvchini ikkiga ajratib turadi, ya'ni ma'lumot manbasi va iste'molchisiga ajratadi.

Ma'lumot uzatilayotgan masofa juda qisqa (EHM da buyruqni bir blokdan ikkinchisiga uzatish) yoki nihoyatda uzun (kontinentalaro yoki kosmik aloqa) bo'lishi mumkin.

Ma'lumot sim, kabel, to'lqin tashuvchi (volnovod) qurilma yoki ochiq fazo orqali uzatilishi mumkin. Ochiq fazoda signallarni harakatlanishi uchun radiotexnikada elektromagnit tebranishi, ya'ni radioto'lqindan foydalaniladi.

Xabarni masofaga uzatish uchun radioto'lqin axborot manbasi bo'lgan obyekt yoki jarayonni butun holatini qabul qilishi, ya'ni o'zida aks ettirishi kerak. Buning uchun radioto'lqin Modulyatsiya qilinadi.

Modulyatsiya jarayoni quyidagicha bo'ladi: uzoq masofaga tarqalish qobiliyatiga ega bo'lgan yuqori chastotali (YuCh) tebranish foydali xabar belgilari bilan ifodalanadi. Shunday qilib, YuCh tebranish uzatilishi kerak bo'lgan xabarni tashuvchisi sifatida ishlataladi. Buning uchun YuCh tebranishning bir (yoki bir necha) parametri uzatilishi kerak bo'lgan ma'lumotning o'zgarish qonuniyati bo'yicha o'zgartiriladi.

O'zgartirilayotgan parametrlar: amplituda, chastota yoki tebranish fazasiga ko'ra uchta asosiy tur: amplitudali, chastotali va faza boyicha Modulyatsiyalarga ajratish mumkin.

Shu bilan bir qatorda impuls Modulyatsiyasining turli usullari ham bor. Bu usul Modulyatsiyada impuls ketma-ketligi parametrini o'zgartirish ko'zda tutiladi. Bu haqda keyinroq to'xtaymiz.

Elektromagnit tebranishlarini qayta boshlang'ich signallarga o'zgartirish, qabul qiluvchi tomonida bajariluvchi, deModulyatsiya yoki detektorlash deyiladi. Albatta bunday jarayon amplituda, chastota yoki faza bo'yicha detektorlash deb yuritiladi.

Modulyatsiya YuCh tebranishlarning ochiq fazoda tarqalish qobiliyatiga hech qanday tasir qilmaydi. Lekin YuCh tebranishlarning to'lqin uzunligini (tashuvchi chastota yoki ishchi diapazonni) tanlash tiniq va mustahkam aloqani ta'minlashda nihoyatda ahamiyatga ega.

Har bir aniq aloqa sistemasi uchun u yoki bu to'lqin diapazonini tanlashda quyidagi faktorlarga tayanish katta ahamiyatga ega.

1. Tanlangan diapazon elektromagnit to'lqinlarining tarqalish xususiyatlari va yil vaqtisi, kun va atmosfera holati, quyosh reaksiyasi va boshqalarning ta'siri.
2. Texnik imkoniyatlari: yo'naltirilgan (to'lqinni nurlantirish), moslashtirilgan o'lchovli antenna sistemalarini qo'llash, o'ta quvvatli tebranishlarni generatsiya qilish va ularni boshqarish (Modulyatsiyalash), qabul qiluvchi qurilma sxemasi.
3. Tanlangan diapazonda shovqin va halaqitning tabiatini.
4. Ma'lumot xarakteri, ya'ni Modulyatsiyalovchi (tebranishning) chastotaning «Spektr kengligi» va Modulyatsiyaning ixtiyoriy usuli (amplituda, chastota, va boshqalar bo'yicha).

Zamonaviy radiotexnika uchun kam o'rganilgan to'lqin diapazonlarini shaxdam o'rganish hamda qo'llanilayotgan chastotalar diapazonini ham juda qisqa, ham o'ta yuqorida to yo'rugi'lik to'lqinlarigacha bo'lgan diapazonlarigacha yetkazish xosdir.

1-jadvalda, amalda qo'llanilayotgan radioto'lqinlarni diapazonlarga bo'linishi keltirilgan.

To'lqin uzunligi  $\lambda$  tebranish davri  $T$  yoki chastota  $f=1/T$  bilan quyidagi munosabatda bog'liq:

$$\lambda_m = c \cdot T, [m] = c/f, [Gs]$$

bunda  $c=3 \cdot 10^8$  m/sek – elektromagnit to'lqinlarning bo'shliqda tarqalish tezligi.

Radiotexnikaning boshlang'ich etaplarida radiotelegraf aloqasi uchun qo'llanilgan o'ta uzun to'lqinlar ikkita katta kamchilikka ega:

1. Tarqalayotgan chog'ida yer usti to'lqinining yer sathida katta yutilishi sababli yuqori quvvatli uzatuvchi qurilmalarni talab etilishi.

### 1-jadval

To‘lqinlar	Diapazon	Chastota
O‘ta uzun	10000 m va uzun	30 kGs va past
Uzun	$10000 \div 1000$ m	$30 \div 300$ kGs
O‘rta	$1000 \div 100$ m	$300 \div 3000$ kGs
Qisqa	$100 \div 10$ m	$3 \div 30$ MGs
Metrli	$10 \div 1$ m	$30 \div 300$ MGs
Detsimetrlı	$10 \div 1$ dm	$300 \div 3000$ MGs
Santimetrlı	$10 \div 1$ sm	$3000 \div 30000$ MGs
Millimetrlı	$10 \div 1$ mm	$30 \div 300$ GGs
Submillimetrlı	$1 \div 0.1$ mm	$300 \div 3000$ GGs
Yorug‘lik	0.1 mm dan qisqa	300 GGs dan yuqori

2. Signal spektri kengligining tashuvchi chastotaga nisbati juda katta bo‘lganligi sababli murakkab signallarni uzatishda yaramasligi.

O‘rta to‘lqinlar radioeshitirishlarida keng miqyosda qollaniladi. 1000 m dan uzun to‘lqinlarning asosiy afzalligi ularning qabul qilishdagi barqarorligi, kamchiligi esa – yer sathi to‘lqinin katta qismi yutilishi sababli uzoq masofaga uzatishning qiyinligi.

Shu sababli, o‘rta to‘lqinlarda ta’sir doirasi bir necha kilometrni tashkil qiluvchi, mahalliy radioeshitirishlari amalga oshiriladi.

Eshittirishni qisqa to‘lqinlarda olib borishning afzalligi – uzatuvchi qurilmada katta bo‘limgan quvvat bilan katta ta’sir doirasini (uzoqlikni) olish mumkinligi hamda yo‘naltirilgan tarqalishni (nurlanish) amalga oshirishi.

Qisqa to‘lqinlarda eshittirishning kamchiligi har xil chastotali juda ko‘p tashkil etuvchilardan iborat bo‘lgan murakkab strukturali signallarni uzatishda kuchli buzilish bilan boruvchi, qabul qilish kuchining tebranishi (qotib qolish) hisoblanadi.

Chastotaga bogliq bo‘lgan, signalning har xil tashkil etuvchilari uchun, interferensiya sharti bir xil bo‘lmasligi mumkin.

Tanlashda jim bo‘lib qolish deb ataluvchi bu hodisa, signal spektridan ayrim tashkil etuvchilarni vaqtincha tushib qolishiga yoki aksincha, shu tashkil etuvchilar amplitudalarining kuchayishiga olib keladi.

Shunday qilib, qabul qilish nuqtasida signalning ayrim komponentlari orasida to‘gri taqsimlanish buziladi, uning tembr va chastotasi buziladi.

Signal spektri qanchalik keng bo‘lsa tanlashda jim bo‘lib qolish hodisasi shunchalik kuchli namoyon bo‘ladi, shu sababli televizion signallarni qisqa to‘lqinlarda uzatish amalda mumkin emas.

Qisqa to‘lqinlar radio eshittirish bilan bir qatorda magistral aloqa linyalarida radiotelegrafiya uchun keng qo‘llanishi bilan bir qatorda dengiz va aviatsiya va navigatsiyasi uchun qo‘llaniladi.

Ultra qisqa to‘lqinlar (UQT) televide niye va radiolokatsiyada keng qo‘llaniladi.

Juda yuqori chastotali tarqatish uzatilayotgan xabar chastota kengligini va radioapparutarada signallarni kuchaytirishga imkon beradi.

Ultra qisqa to‘lqinni tarqalishida, to‘gri ko‘rinish oralig‘ida, signal buzilishi mutlaq kuzatilmaydi, chunki har xil yo‘llar bilan tarqalish natijasida yuzaga keladigan interferensiya hodisasi yuzaga kelmaydi. UQT ning kamchiligi – bunday tarqatishda muntazam qabul qilish faqatgina to‘gri ko‘rinish oralig‘idagina kuzatiladi. Aloqa uzoqligini oshirish uchun yuqori ko‘tarilgan antenna ishlataladi.

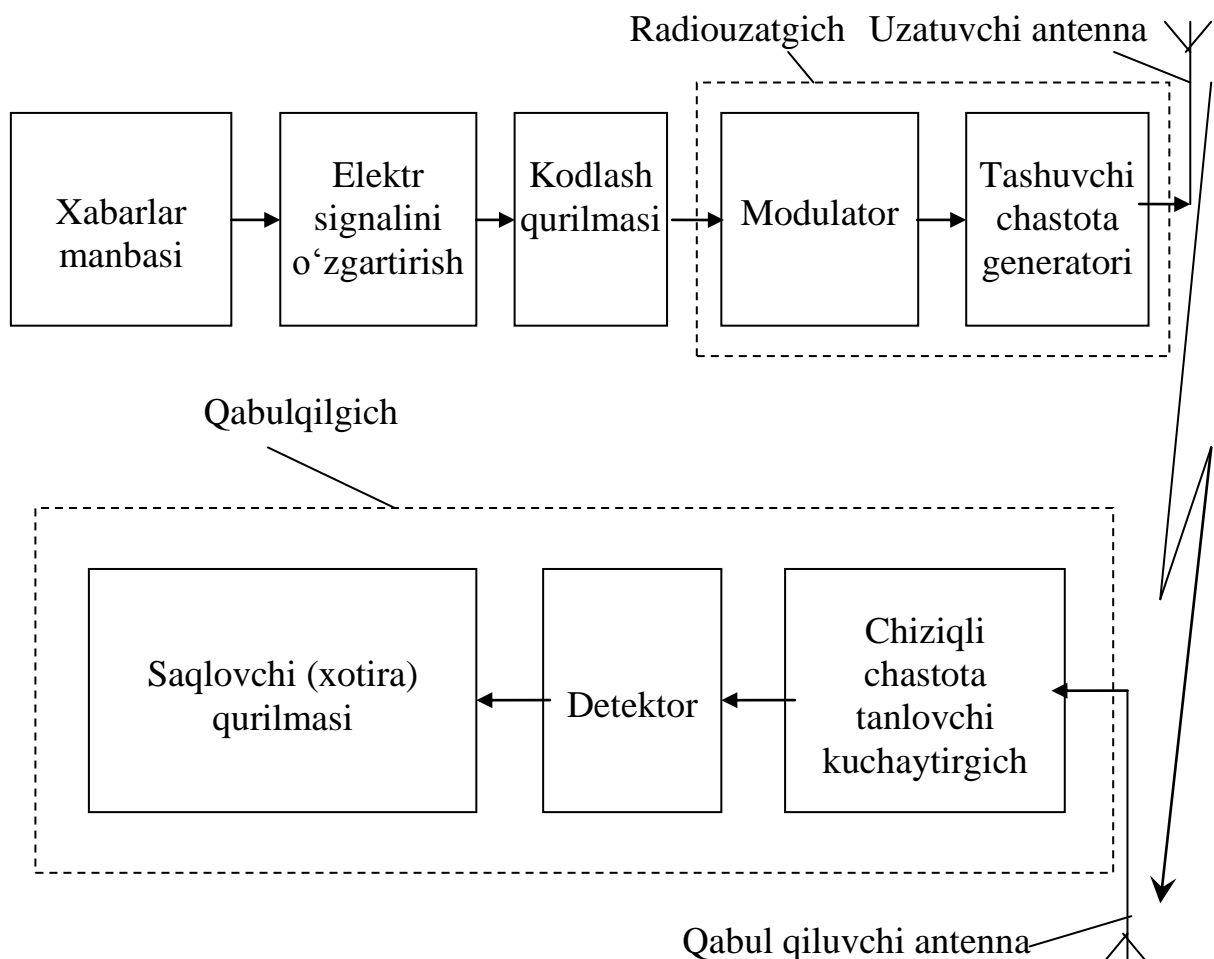
Yorug‘lik to‘lqinlaridan foydalanish kichik o‘lchovli tarqatuvchi qurilmalarni yaratishga va juda yuqori aniqlikda, nurda energiyaning yuqori konsentratsiyasini to‘plab, yo‘naltirishga imkon beradi.

Masalan, yerdan yuborilgan nur, oy satxi ustida diametri bir necha yuz metr bo‘lgan dog‘ hosil qiladi. Yorug‘lik to‘lqinidan foydalanish Modulyatsiya, qabul qilish va shu kabilarda ayrim qiyinchiliklar bilan bog‘liq.

## 1.2. Asosiy radiotexnik jarayonlar

Aloqa kanali bo‘yicha uzatish jarayonida signal xilma-xil o‘zgartirishlarga uchraydi. Asosiy radiotexnik sistemalar uchun ularning vazifalari hamda uzatilayotgan xabarning tabiatidan qat’iy nazar ba’zi jarayonlar majburiy hisoblanadi.

1.1-rasmida ko‘rsatilgan sxemadagi fundamental jarayonlarni ko‘rib chiqamiz.



1.1-rasm. Zamonaviy radiouzatuvchi va qabul qiluvchi qurilmaning strukturaviy sxemasi.

**Dastlabki xabarni elektr signaliga o'zgartirish va kodlash.** Nutq va musiqani uzatishda bunday o'zgartirish mikrofon yordamida, tasvir uzatishda esa uzatuvchi trubka (superortikon) yordamida amalga oshiriladi.

Yozuv xabarini uzatishda esa (radiotelegrafiya) dastavval kodlash amalga oshiriladi, ya'ni, tekstning har bir xarfi standart simvollar kombinatsiyasi bilan almashtiriladi (nuqta, tire va pauza Morze kodida), so'ngra ular standart elektr signallariga o'zgartiriladi (har xil davomiylikdagi yoki har xil qutbli impulslar).

**Yuqori chastotali tebranishlarni generatsiya qilish.** Yuqori chastotali generator tashuvchi chastotali tebranishlar manbasi hisoblanadi.

Aloqa radiokanalining vazivasiga bog‘liq holda tebranishlar quvvati vatning mingdan bir bo‘lagidan to million vatt oralig‘ida o‘zgaradi.

Yuqori chastotali generatorning asosiy xarakteristikalari sifatida chastota va diapazonlik (bir ishchi chastotasidan ikkinchisiga tezda o‘zgartirish imkoni), quvvat va qaytarish (foydali ish koeffitsiyenti) hisoblanadi.

Radioto‘lqin tarqalish sharoiti va signallar chastotasing keng spektri juda yuqori tashuvchi chastotalarni qo‘llashni belgilaydi. Signallarni halaqit fonida qayta ishlash sharoiti va har xil radiokanallar orasida o‘zaro halaqitni kamaytirish zaruriyati chastotani mutlaq o‘zgarishlarini imkon qadar maksimal kamaytirishga majbur qiladi.

**Tebranishlarni boshqarish (Modulyatsiya).** Modulyatsiya jarayoni yuqori chastotali tebranishlarning bir yoki bir necha parametrlarini uzatilayotgan xabar qonuniyatiga binoan o‘zgartirishdan iborat. Modulyatsiya qiluvchi signal chastotasi generator tashuvchi chastotasidan ancha past.

Modulyatsiyani amalga oshirishda, radiouzatuvchi qurilmalar sxemasiga kiruvchi, elektron qurilmalarda elektrodlar potensialini o‘zgartirish qoidalari ishlatiladi.

Modulyatsiya jarayonining asosiy xarakteristikasi – yuqori chastotali tebranish va Modulyatsiya qiluvchi signal parametrlarining o‘zaro moslik darajasi.

**Qabul qiluvchi qurilmada kuchsiz signallarni kuchaytirish.** Qabul qiluvchi antenna uzatuvchi qurilma antennasi tarqatayotgan energiyaning juda oz qismini tutib qoladi.

Uzatuvchi va qabul qiluvchi stansiyalar orasidagi masofaga asosan, antenna yo‘naltirilgan tarqatish darajasidan va radioto‘lqin tarqalish sharoitidan qabul qiluvchi qurilma kirishidagi quvvat  $10^{-4} \div 10^{-14}$  Vt ni tashkil etadi.

Signalni aniq saqlash maqsadida qabul qiluvchi qurilma chiqishida bir necha vatt va undan katta bo‘lgan quvvat talab etiladi. Bundan ko‘rinadiki qabul qiluvchi qurilmada quvvat bo‘yicha kuchaytirish  $10^{10} - 10^{14}$  yoki kuchlanish bo‘yicha  $10^5 - 10^7$  bo‘lishi kerak.

Hozirda zamonaviy qabul qiluvchi qurilmalarda signalni ishonchli saqlash uchun kirishda kuchlanish bo‘ycha bir necha mikrovoltlarda ta’minlanadi.

Qabul qiluvchi qurilmada kuchaytirish muammosi signalni halaqit fonida ajratib olish muammosi bilan mutlaq bog‘liqdir.

Shuning uchun qabul qiluvchi qurilmaning asosiy parametrlaridan biri uning tanlovchanligi, qaysiki signaldan faqat chastotasi bilan farqlanuvchi, bir qator tashqi ta’sirli kuch (halaqit) to‘plamidan foydali signalni ajratib olish qobiliyati tushuniladi.

Chastota bo‘yicha tanlovchanlik rezonans tebranish sistemalar yordamida amalga oshiriladi.

**Yuqori chastotali tebranishdan xabarni ajratib olish (detektorlash).** Detektorlash Modulyatsiyaga teskari jarayon hisoblanadi. Detektorlash natijasida vaqt bo‘yicha uzatilayotgan xabar qonuniyatiga asosan vaqt bo‘yicha o‘zgaradigan elektr kuchlanish (tok) qayta tiklanishi kerak.

Modulyatsiyadagi kabi amplituda, chastota va faza bo‘yicha detektorlashga bo‘linadi. Detektor qabul qiluvchi qurilma chiqishiga joylashtirilib unga qabul qiluvchi qurilmaning oldingi bosqichlari yordamida kuchaytirilgan modullashtirilgan tebranish beriladi.

Detektor oldiga qo‘yiladigan asosiy talab bu – signal shaklini aniq qaytarishdir.

### **1.3. Halaqitlar va buzilishlar**

Amalda kanallar orqali signallar uzatilganda ularning shakli buziladi va xatolik bilan qayta aks ettiriladi. Signalning xatolik bilan qabul qilinishiga sabab kanal kiritadigan buzilishlar va signalga ta’sir etuvchi halaqitlardir.

Kanalning amplituda chastotasi va vaqt xarakteristikalari signalga chiziqli buzilishlar kiritadi. Bundan tashqari signalga kanaldagi nochiziqli rejimda ishlayotgan funksional uzellar nochiziqli buzilishlarni qo‘sadi. Chiziqli va nochiziqli buzilishlar kanal ma’lum parametrlariga bogliqligi uchun, paydo bo‘lish sababi ma’lumligi uchun ularni ma’lum tuzatishlar orqali yo‘qotish yoki sezilmas darajada kamaytirish mumkin.

Signal chiziqli va nochiziqli buzilishidan, uni tasodifiy halaqit ta'sirida buzilishini ajrata bilish shart. Chunki halaqitning signalga ta'sirini to'liq yo'qotish mumkin emas, uning parametrlari avvaldan ma'lum emas.

Foydali signalga qo'shilib uni xatolik bilan aks ettirilishiga olib keluvchi har qanday ta'sir halaqit deb ataladi. Halaqitlar paydo bo'lish sabablari va fizik hossalari bo'yicha turlicha bo'ladilar. Halaqitlar paydo bo'lish joyiga qarab ichki va tashqi halaqit turiga bo'linadilar. Ichki halaqitlar radioelektron qurilmalar aktiv va passiv elementlaridan qat'iy bir qiymatga ega tok o'tmasligi, ya'ni vaqt birligida o'tkazgichdan o'tayotgan elektronlar soni o'zgaruvchan ekanligi sababli paydo bo'ladi.

Tashqi halaqitlarga atmosferada yuz beradigan elektr jarayonlari, shu jumladan momaqaldiroqlar natijasida hosil bo'ladi. Bu halaqitlar quvvati asosan uzun va o'rta to'lqin diapazonida to'plangan. Kuchli halaqitlar paydo bo'lishiga sanoat qurilmalari ishlashi ham sabab bo'ladi. Ular sanoat elektr qurilmalarida tok qiymatining keskin o'zgarishi, elektr transport (tramvay, trolleybus) elektr olgich qismlarining manba simiga jips yopishmasligi, elektr motorlar, meditsina diagnostika (tashrif qilish) va davolash qurilmalari tarqatayotgan elektromagnit nurlanishlari sabab bo'ladi.

Begona radiostansiyalar nurlanishlari, ular tomonidan ajratilgan ish chastotalaridan foydalanish qoidalarining buzilishi, ish chastotasining barqarorsizligi, nurlantirayotgan foydali signal garmonikalari va subgarmonikalari qiymati texnik talabdagidan yuqoriligi sabab bo'ladi. Shuningdek, radiokanalarda halaqit – ko'chma Modulyatsiya natijasida ham paydo bo'ladi.

Umuman olganda har qanday radiokanalda ichki va tashqi halaqitlar mavjud bo'lib, ularning kattaligi foydalanilayotgan radiochastotalar diapazoniga ham bogliq.

Halaqit  $W(t)$  foydali signal  $s(t)$  ga ikki turli ta'sir etishi mumkin. Agar halaqit  $W(t)$  signal  $s(t)$  qo'shilcha, ya'ni

$$s(t)+W(t)=X(t). \quad (1.1)$$

Bunday halaqit additiv halaqit deb ataladi. Agar halaqit ta'siridagi signal

$$X=\mu s(t) \quad (1.2)$$

matematik ifoda bilan aks ettirilsa, bunday halaqit multiplikativ halaqit deb yuritiladi. Bunda  $\mu$  – multiplikativ halaqit emas, balki halaqit ta'sirida foydali signal sathi o'zgarishini ko'rsatuvchi koeffitsiyent. Halaqit yo'q bo'lganda bu koeffitsiyent birga teng bo'ladi ( $\mu=1$ ). Umuman  $\mu=(-\infty \div +\infty)$  – oralig'i o'zgarishi, signal sathini kamayishiga olib kelishi mumkin. Agar  $\mu$  – foydali signal  $s(t)$  ga nisbatan asta-sekin o'zgarsa, bu hodisa so'nish deb ataladi.

Real radiokanalarda har ikki tur halaqitlar bir vaqtida signalga ta'sir etadi, natijada

$$X(t)=\mu(t)\cdot s(t)+W(t) \quad (1.3)$$

bo'ladi, ya'ni qabul qilish qurilmasi kirishiga vaqt bo'yicha sathi asta-sekin o'zgaruvchi va halaqit  $W(t)$  qo'shilgan  $X(t)$  signali ta'sir etadi.

Additiv halaqitlarga: fluktuatsion, impulsli va kvazigarmonik halaqitlar kiradi.

Fluktuatsion halaqit boshqa halaqit turlariga nisbatan yaxshi o'rganilgan, u radiotexnik qurilmaga bir vaqtida bir necha tasodifiy kattalikdagi, ular ta'siridagi elektr zanjirlaridagi o'tish jarayoni bir-biriga qo'shib ketishi natijasida paydo bo'ladi. U hamma chastotalar diapazonida uchraydi, uning spektri cheksiz keng.

Impuls halaqit ba'zan vaqt bo'yicha to'plangan halaqit deb ham ataladi. Chunki u odatda bir-biridan ancha katta tasodifiy vaqt oralig'ida qisqa vaqt davomiyligida radioqabul qilish qurilmasiga ta'sir etadi. Uning ta'sirida radioqabul qilish qismlarida yuz beradigan o'tish jarayoni bir-biriga qo'shilmaydi, navbatdagi impuls halaqit ta'sir etguncha avvalgisining ta'siri umuman tugab bo'ladi. Bu tur halaqitga sanoat qurilmalari kiradi: payvandlash uskunalari; elektr transport; avtomobil o't oldirish qismlaridagilar.

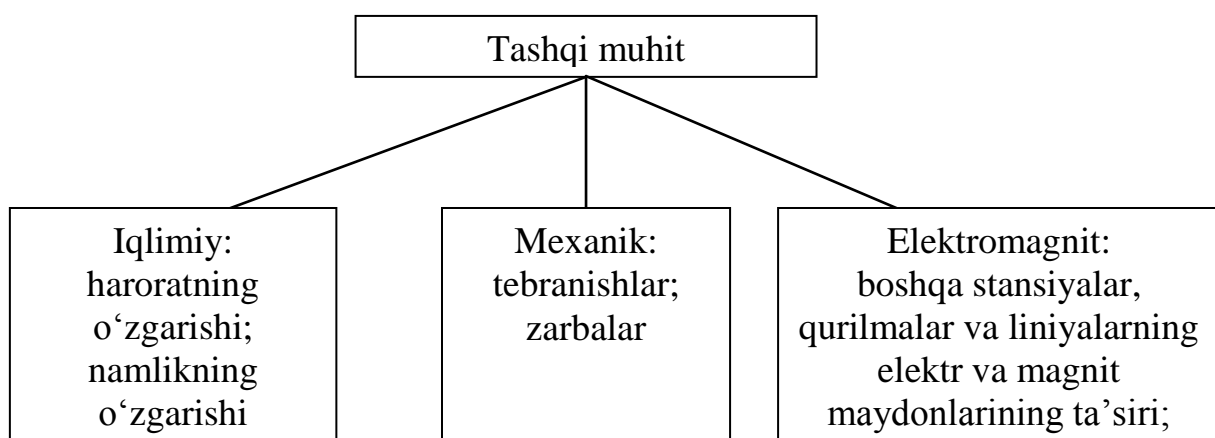
Halaqitlarni fluktuatsion va impulsli halaqitga ajratilishi shartli bo‘lib, bir impulsli halaqit takrorlanish chastotasiga qarab tor polosali radioqabul qilish qurilmasiga fluktuatsion, keng polosali qabul qilish qurilmasi uchun impuls halaqit sifatida ta’sir etishi mumkin.

Impuls halaqit diskret tasodifiy jarayon bo‘lib, paydo bo‘lish vaqt va amplitudasi tasodifiy taqsimlangan. Impuls halaqit ham nazariy nuqtai nazardan cheksiz keng spektrga ega.

Kvazigarmonik halaqit ba’zan spektri bo‘yicha jamlangan halaqit deb ataladi, chunki bu tur halaqit turli radio uzatish qurilmalari tarqatayotgan elektromagnit to‘lqinlar, tor polosada halaqit qiluvchi turli san’at asbob-uskunalaridan iborat. Bunday halaqit radioqabul qilish qurilmasi o‘tkazish polosasini to‘liq, ba’zi hollarda qisman egallashi mumkin. Qisqa to‘lqin diapazonida kvazigarmonik halaqit asosiy halaqit hisoblanadi.

#### **1.4. Aloqa kanalining halaqitga bardoshligini oshirishda asosiy vazifalar**

RTS ishlab chiqaruvchilari va ekspluatatsiya qiluvchi mutahassislari oldida turgan asosiy vazifalardan biri – berilgan tashqi muhit sharoitida qurilmalarni ishga layoqatli qobiliyatini ta’minalashdir, ya’ni texnik sistemalar, o’zlariga nobop tashqi ta’sir manbalari – tashqi muhit bilan moslashgan bo‘lishi kerak.



1.1-rasm. Radiotexnik sistemalarga ta’sir etuvchi tashqi muhit turlari.

Raqamli texnik qurilmalarning tashqi muhit bilan elektromagnit moslashuvini ta'minlash talablarga to'liq javob bermaydi.

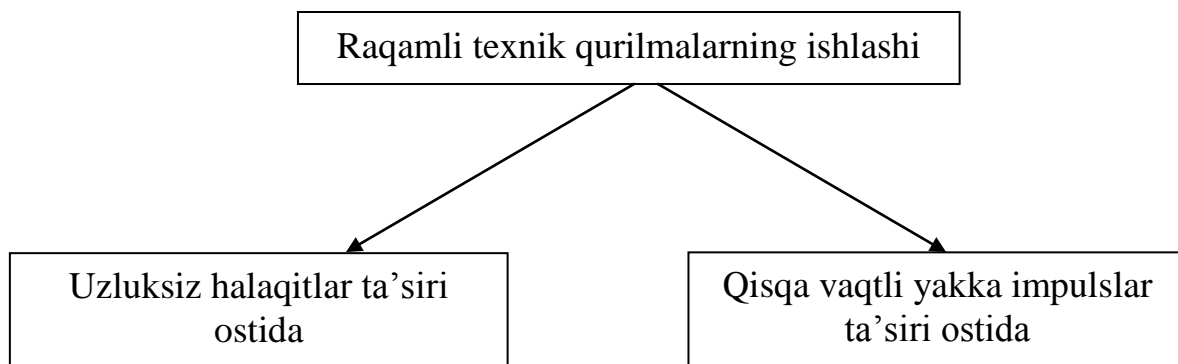
Masalan, EHM ni elektr energiyasi bilan ta'minlashda sifat talablari standartlarida qayd etilganlar faqat quyidagilar:

1. Nominal kuchlanishdan mumkin bo'lgan chetlanishlar.
2. Birlamchi ta'minot manbasida chastotaning nominal qiymatidan mumkin bo'lgan chetlanishlar.

EHM ni ta'minlash manba bilan elektromagnit moslashuvni ta'minlashda bu standartlar albatta yetarli emas.

Elektromagnit moslashuvni ta'minlashni hisobga olmasdan loyihalangan RTS lar qulay ekspluatatsiya sharoitlarida ham stabil ishlamaydi, xatto ular quyidagilarni o'chirib-yoqishlarda xatolarga yo'l qo'yadilar:

- Ayrim tashqi qurilmalarni;
- Boshqa hisoblash mashinalarini, RTS larni;
- Ossillograf, payvandlagich, yoritish sistemalarini.



1.2-rasm. Raqamli texnik qurilmalarning ishlash usullari

Uzluksiz halaqit manbalari sifatida quyidagilarning ishlashini keltirish mumkin:

- Radioeshittirishlar va televizion sistemalar;
- Radiolokatorlar va radiomayaklar.

Xotira qurilmalarini yaratish va ularni raqamli texnik vositalar tarkibiga kiritish shuni beradiki, qisqa vaqt yakka impuls halaqit ta'siri ostida xatoga yo'l qo'yilganda ma'lumotlarni qayta tiklash mumkin.

Shunday qilib RTS aloqa kanallarida elektromagnit moslashuvni ta'minlash deganda RTS ni unga ta'sir qilayotgan, ruxsat etilgan tashqi halaqitlarni qabul etmasligi va ruxsat etilmagan me'yоридан ортиқ ташқи халақитларни бoshqa RTS larga nisbatan tarqatmasligi zarur.

Halaqitlarga moyillik, qabul qiluvchanlik bu tashqi halaqitlarga obyektning reaksiyasi hisoblanadi.

Obyektning bunday xususiyati tashqi halaqit ta'sirida ish bajarish sifatini pasaytiradi.

Ba'zida "halaqitga sezgirlik" degan ibora uchraydi, ammo bu terminologiya noto'g'ridir, chunki "sezgir" so'zi obyektni foydali signalga reaksiyasini belgilaydi.

"Halaqit tarqatish" tushunchasi esa boshqa RTS lar uchun har qanday turdag'i halaqitlarni tarqatish va tashkil etish demakdir.

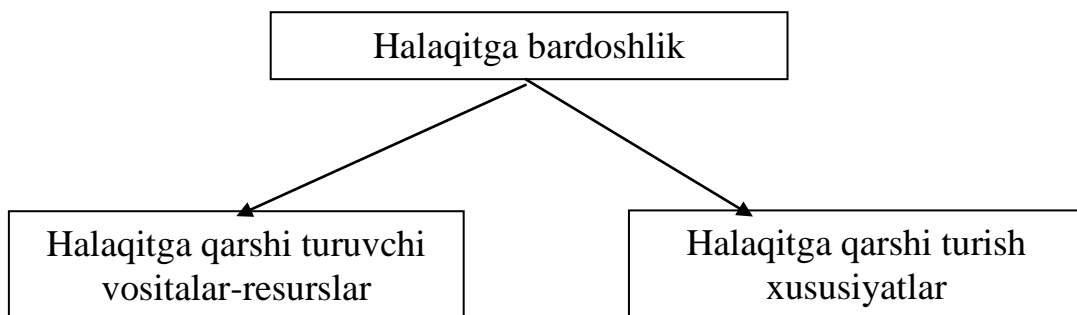
Shunday qilib, tashqi muhit bilan ideal moslashgan qurilma tashqi halaqitlarga befarq bo'lishi va halaqit tarqatmasligi kerak.

"Halaqitlarga befarq" tushunchasining ikkita sinonimi bor:

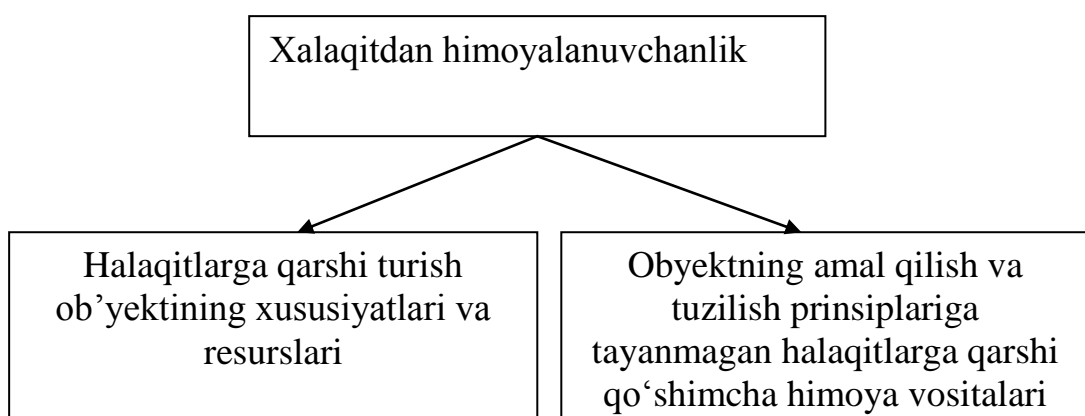
- Halaqitga bardoshlik;
- Halaqitdan himoyalananuvchanlik;

bular bir xil ma'noga ega.

1.3-rasm. RTZ larning halaqitga bardoshlik turlari



ya'ni, RTS ob'yektiga xos resurslar va xususiyatlar.



1.4-rasm. RTZ larning halaqitdan himoyalananuvchanlik turlari

## 1.5. Qabul qilingan signalni asliga mosligi va uzatish tezligi

Qabul qilingan signalning asliga mosligi va uzatish tezligi aloqa kanalining ishlash sifatini va vaqt birligida uzatilgan axborot miqdorini aniqlaydi.

Qabul qilingan signalning asliga mosligi buzilishlar va halaqitlar ta'sirida kamayadi. Aloqa tizimi qurilmalarini to‘g‘ri loyihalash va sozlash natijasida signalning asliga mosligini yuqori darajada ta‘minlash, xatolikni kamaytirish mumkin. Bu holda signalning asliga mos emasligi – xatolik darajasi halaqitga, aloqa tizimining halaqitbardoshligiga bog‘liq hisoblanadi.

Halaqitbardoshlik deb, odatda aloqa tizimining axborot uzatishda halaqitga bardosh berish qobiliyatiga aytildi. Qabul qilingan signalning asliga mosligini uning halaqitbardoshligi orqali baholash mumkin. Aloqa tizimi (qurilmasi) halaqitbardoshligi uzluksiz va diskret signallar uchun turlichayaniqlanadi.

Diskret xabar uzatish tizimi uchun halaqitbardoshlik  $N$  ta uzatilgan elementar signallar ( $0;1$ ) dan to‘g‘ri qabul qilingani –  $M$  ni, umumiy uzatilgan elementar signallarga nisbati bilan baholanadi, ya’ni

$$P_T = M/N \quad (1.4)$$

bunda  $P_T$  – to‘g‘ri qabul qilish ehtimolligi. Odatda halaqitbardoshlik  $P_T$  ning teskarisi  $P_x$  – xato qabul qilish ehtimolligi orqali baholanadi, ya’ni  $P_T = 1 - P_x$ .

Uzluksiz analog xabarlarni uzatishdagi xatolik uzatilgan  $U(t)$  signalni qabul qilingan  $v(t)$  signaldan farqi  $E_x$  bilan baholanadi. Ko‘p holatlarda o‘rtacha kvadratik xatolik

$$\bar{\varepsilon}_x^2 = \frac{1}{T_c} = \frac{T}{T_c} \left[ \overline{[v(t) - u(t)]^2} \right] \quad (1.5)$$

shaklida aniqlanadi, bunda  $\tilde{E}_{tx}^2$  talab qilinadigan xatolik  $\tilde{E}_{tx}^2$  dan kichik yoki teng bo‘lishi kerak, ya’ni

$$\tilde{E}_x^2 \leq \tilde{E}_{tx}^2, \quad (1.6)$$

yoki  $\tilde{E}_x^2$  ma'lum ehtimollik darajasida  $\tilde{E}_{tx}^2$  dan kichik yoki teng bo'lishi kerak

$$Q = P(\tilde{E}_x^2 \leq \tilde{E}_{tx}^2). \quad (1.7)$$

Qabul qilingan signalning asliga moslik darajasi aloqa kanalidagi signal quvvatini halaqitga nisbati

$$q = P_c / P_x \quad (1.8)$$

ga bog'liq.

Halaqitning ma'lum miqdorida asliga moslik xabar uzatishda foydalanilayotgan signallarning bir-biridan farq qilish darajasiga bog'liq. Masalan: fazasi manipulatsiyalangan signallarning bir-biridan farqi amplitudasi yoki chastotasi manipulatsiyalangan signallarnikiga nisbatan katta, shuning uchun FMp signal, AMp va ChMp ga nisbatan yuqori halaqitbardoshlik, asliga moslikni ta'minlaydi.

Asliga moslik signalni qabul qilish turiga ham bog'liq. Qabul qilishni shunday turini tanlash kerakki, u halaqit ta'siridagi signallarning o'zaro farqini iloji boricha yaxshi ajrata olsin. To'g'ri loyihalangan qabul qilish qurilmasi  $q = P_c / P_x$  ni sezilarli darajada yaxshilashi mumkin.

Uzluksiz va diskret xabar uzatish aloqa tizimi orasidagi quyidagi katta farqqa e'tibor berish kerak. Uzluksiz xabar (signal) lar uzatish tizimida har qanday halaqit qabul qilingan signalni yuborilgan signaldan farqlanishiga, xatolikka olib keladi. Diskret signallar uzatish aloqa tizimida halaqitning faqat foydali signal elementlari (1 va 0) ni uning teskarisiga aylantiruvchi kattalikda bo'lishigina xatolikka olib keladi. Diskret aloqa tizimining buzilgan signallarni to'g'ri qabul qilish xusisiyati – uning xatoni tuzatish qobiliyatini deb ataladi.

Halaqitbardoshlik bilan bir qatorda aloqa tizimining xabar uzatish tezligi ham uning asosiy ko'rsatkichlaridan biri hisoblanadi. Diskret aloqa tizimi uchun uzatish tezligi bir soniyada uzatilgan ikkilik simvollar soni  $R$  bilan o'lchanadi, ya'ni

$$R = \log m / \tau_0 , \quad (1.9)$$

bunda  $\tau_0$  – elementar simvol davomiyligi,  $m$  – kod asosi. Agar  $m=2$  bo‘lsa, ya’ni ikkilik kod uchun

$$R = 1 / \tau_0 \quad (1.10)$$

bo‘ladi.

Har qanday aloqa kanali uchun berilgan chegaraviy qiymatlarda eng katta uzatish tezligi mavjud, uni aloqa kanalining signal uzatish qobiliyati deb ataladi va odatda  $S$  harfi bilan belgilanadi.

Amalda foydalaniladigan aloqa tizimilarida uzatish tezligi  $R$ , kanal uzatish qobiliyati  $S$  dan kichik, ya’ni  $R < C$ .

Zamonaviy nazariyada  $R \leq C$  bo‘lganda, signal uzatish va qabul qilishning yuqori darajada asliga mosligini ta’minlash mumkinligini tasdiqlimoqda.

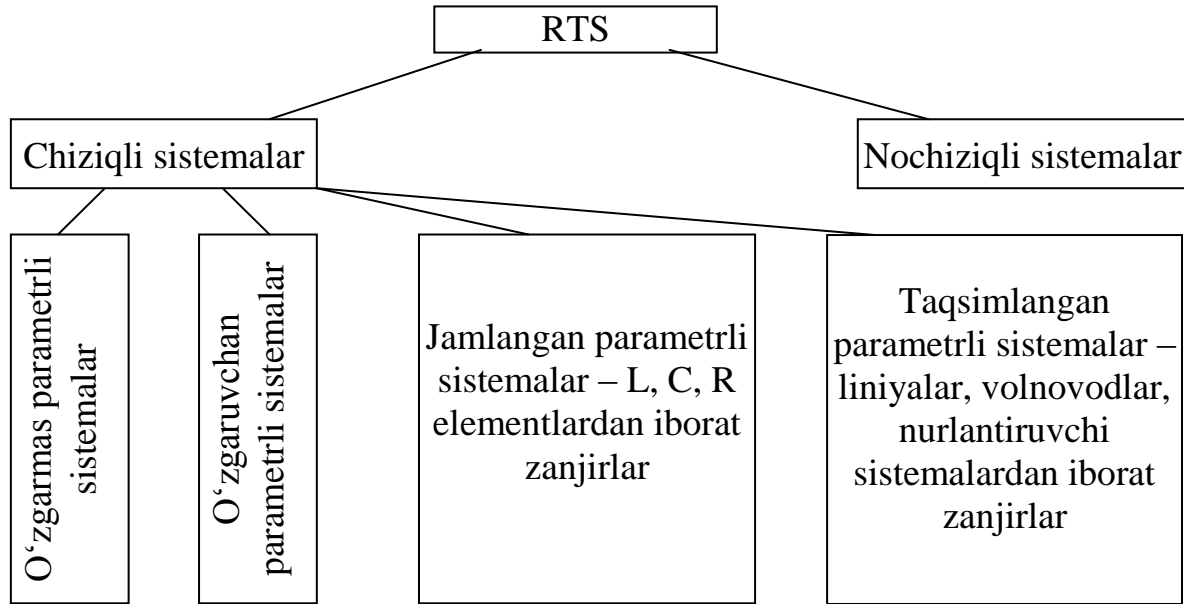
## 2. Radiotexnik zanjirlar va ularni tahlil qilish usullari

### 2.1. Radiotexnik o‘zgartirishlar

Radiotexnik o‘zgartirishlar chiziqli va nochiziqli elementlar hamda qurilmalarning juda katta qismi bilan amalga oshiriladi.

O‘z o‘rnida chiziqli sistemalar o‘zgarmas parametrli va o‘zgaruvchan parametrli sistemalarga bo‘linadi. Har bir sanab o‘tilgan sistemalar jamlangan parametrli va taqsimlangan parametrli sistemalarga bo‘linadi. Birinchi tur sistemalarga induktivlik, sig‘imlar va qarshiliklardan tuzilgan zanjirlar kiradi, ikkinchi turga esa – liniyalar, volnovodlar va nurlantiruvchi sistemalardan tuzilgan zanjirlar kiradi (2.1-rasm).

Aytish lozimki, real radioqurilmalarda chiziqli va nochiziqli zanjirlar va elementlarga aniq chegara qo‘yish har doim ham mumkin emas.



2.1-rasm. Radiotexnik sistemalarning (RTS) turlari.

Bir xil elementlarni chiziqli yoki nochiziqli zanjirlar turiga kiritish ko‘p hollarda ularga ta’sir qilayotgan signallarning darajasiga bog‘liq. Shuning uchun yuqorida keltirilgan zanjirlarni turkumlash signallarni qayta ishlash texnikasi va nazariyasini tushunish uchun kerak.

## 2.2. O‘zgarmas parametrli chiziqli zanjirlar

Quyidagi aniqlashtirishlardan kelib chiqish mumkin:

1. Zanjirni tashkil qiluvchi elementlar tashqi kuch (kuchlanish,tok)ga bog‘liq bo‘lmasa, u holda zanjir chiziqli hisoblanadi.

2. Chiziqli zanjir superpozitsiya (usma-ust qo‘yish) prinsipiga rioya qiladi.

Bu prinsip matematik shaklda quyidagi tenglama bilan ifodalanadi:

$$L[s_1(t)+s_2(t)+\dots]=L[s_1(t)]+L[s_2(t)]+\dots \quad (2.1)$$

bu yerda  $L$  – kirish signaliga zanjir ta’sirini xarakterlovchi operator.

Superpozitsiya prinsipi mohiyatini yana shunday tariflash mumkin:

Agar chiziqli zanjirga bir qancha tashqi kuch ta'sir qilganda, uning holatini (tok, kuchlanish) har bir tashqi kuchga ayrim topilgan natijalarni ustma-ust qo'yish (superpozisiya) usuli bilan aniqlash mumkin.

Yana shunday aniqlashtirish ishlatish mumkin: chiziqli zanjirda ayrim tashqi ta'sirlar effektlari yig'indisi tashqi ta'sirlar yig'indisining effektiga mos keladi.

Ustma-ust qo'yish prinsipini qo'llash bilan, har qanday murakkab signalni chiziqli zanjirdan uzatishda, tahlil qilish uchun qulay bo'lgan, ancha sodda signallarga yoyish mumkin (masalan, garmonik).

3. Har qanday murakkab tashqi ta'sirdan chiziqli o'zgarmas parametrli zanjirda yangi chastotali tebranishlar yuzaga kelmaydi.

Yangi chiziqli o'zgarmas parametrli zanjirlarga garmonik tashqi ta'sir etilganda zanjir chiqishida tebranish garmonik holatini hamda chastotasini kirishdagi singari saqlab qoladi, faqatgina tebranish amplituda va fazasini o'zgartiradi.

$s_1(t)$ ,  $s_2(t)$ , ..., signallarini garmonik tebranishlarga yoyib va yoyish natijalarini (2.1) ga qo'yib, zanjir chiqishida faqat kirishdagi signal tarkibiga kiruvchi tebranishlarnigina uchrashi mumkinligini ko'rishimiz mumkin.

Bunday zanjirlar signallarni chiziqli kuchaytirish, filrlash (chastota belgisi bo'yicha) kabi spektrni transformatsiyasi bilan bog'liq bo'lмаган masalalarni hal qilishda keng qo'llaniladi.

### 2.3. O'zgaruvchan parametrli chiziqli zanjirlar

Bunda kirish signaliga bog'liq bo'lмаган, bir yoki bir necha parametrleri vaqt bo'yicha o'zgaruvchi zanjirlar nazarda tutiladi. Shunga o'xshash zanjirlarni ko'pincha chiziqli parametrik zanjirlar deb ham yuritiladi.

Avvalgi bandda tarif qilingan 1 va 2 xususiyatlar chiziqli parametrik zanjirlar uchun ham mos keladi, ya'ni:

1. Zanjirga kiruvchi elementlar zanjirga ta'sir qiluvchi kuchlanish yoki tokga bog'liq emas.

2. Zanjir superpozitsiya prinsipiga bo'yasinadi.

Ammo avvalgi holatdan farqli o‘larоq, bundа о‘zgaruvchan parametrli chiziqli zanjirlarda, ta’sir qiluvchi oddiy garmonik kuchlar yangi chastotali murakkab tebranishlar hosil qiladi.

Buni quyidagi misolda tushuntirish mumkin. Qarshiligi vaqt bo‘yicha quyidagi  $R(t)=R_0/(1+m\cos\Omega t)$  qonun bilan о‘zgaruvchi rezistorga  $e(t) = E_0 \cos\Omega t$  garmonik EYuK ta’sir etadi.

Rezistor orqali o‘tuvchi tok quyidagicha aniqlanadi:

$$\begin{aligned} i(t) &= e(t)/R(t) = (E_0/R_0)(1 + m \cos\Omega t) \cos\Omega t = \\ &= (E_0/R_0)[\cos\Omega t + (m/2) \cos(\omega+\Omega)t + (m/2) \cos(\omega-\Omega)t]. \end{aligned} \quad (2.2)$$

Ko‘rinib turganidek, tok tarkibida  $e(t)$  tarkibida bo‘lмаган,  $\omega \pm \Omega$  chastotali tashkil etuvchilar bor.

Bu oddiy modeldan tushunarlikи, vaqt bo‘yicha qarshilikni о‘zgartirib kirish signali spektrini о‘zgartirish mumkin.

Endi о‘zgarmas koeffitsiyentli chiziqli tenglamalarning xususiyatlarini kengroq ko‘rib chiqamiz.

$e(t)$  EYuK ta’sir qiluvchi  $L$ ,  $C$ ,  $r$  ketma-ket tebranish konturini ko‘ramiz.

Konturdagi  $i(t)$  tok uchun quyidagi integrodifferensial tenglamani yozish mumkin:

$$L \frac{di}{dt} + ri + \frac{1}{C} \int i dt = e(t) \quad (2.3)$$

Agar  $L$ ,  $r$  va  $1/C$  koeffitsiyentlar  $i$  tok qiymatiga yoki shunga о‘xshash tashqi kuch  $e(t)$  qiymatiga bog‘liq bo‘lmasa, u holda tenglama chiziqli hisoblanadi. Shu shart bajarilgan holatda kontur elementlarining har birida kuchlanish tok bilan chiziqli bog‘lanishda bo‘ladi.

## 2.4. Nochiziq sistemalarining umumiy xususiyatlari

Radiotexnik zanjir nochiziq hisoblanadi, qachonki uning tarkibiga bir yoki bir necha parametri kirish signaliga bog‘liq bo‘lgan elementlar kirsa.

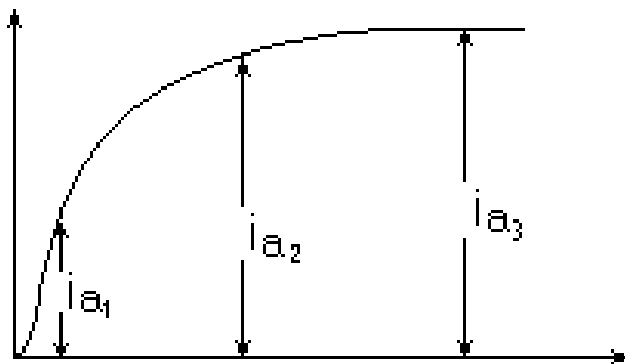
Nochiziq differensial tenglamalar nazariyasidan ma'lumki, bunday tenglamalarni yechishda ustma-ust qo'yish prinsipi to'g'ri kelmaydi.

Nochiziq sistemalarning asosiy xususiyatlarini sanab o'tamiz.

1. Nochiziq zanjirlar uchun (va elementlar uchun) superpozitsiya prinsipi mos emas.

Nochiziqli sistemalarning bu xususiyati nochiziq elementlarning kuchlanish va tok orasidagi proporsionallikni buzuvchi, volt-amper xarakteristikalarining (VAX) egriliklari bilan mustahkam bog'liq.

Masalan, diod uchun (2.2-rasm), agar  $U_1$  kuchlanish uchun  $i_1$  tok mos kelsa,  $U_2$  kuchlanish uchun esa  $i_2$  mos kelsa, u holda yig'indi  $U_3 = U_1 + U_2$  kuchlanish uchun  $i_3$  tok mos keladi, ammo  $i_1 + i_2 \neq i_3$ .



2.2-rasm. Nochiziq elementning volt-amper xarakteristikasi.

Bu oddiy misol orqali ko'rindaniki, nochiziq zanjirga murakkab signalning ta'sirini tahlil qilinadigan bo'lsa, murakkab signalni ancha sodda signallarga yoyish mumkin emas, sistema javobini natijaviy signal uchun qidirish kerak.

Nochiziq sistemalar uchun usma-ust qo'yish prinsipini joriy qilib bo'lmashligi, murakkab signallarni uning tashkil etuvchilariga yoyishga asoslangan spektral va boshqa tahlil usullarini qo'llashni bekor qiladi.

2. Nochiziq zanjirlarning asosiy xususiyati signal spektrini o'zgartirish hisoblanadi.

Nochiziq zanjirga oddiy garmonik signal ta'sir qilganida zanjirda asosiy chastotali tebranish bilan bir qatorda asosiy chastotaga nisbatan bir necha karra chastotali garmonikalar vujudga keladi (ba'zi hollarda esa tok yoki kuchlanishning o'zgarmas tashkil etuvchilari ham).

Nochiziq zanjirda murakkab shaklli signal ta'sirida garmonikalardan tashqari yana kombinatsion chastotali tebranishlar vujudga keladi. Bular signal tarkibiga kiruvchi ayrim tebranishlarning o'zaro ta'siri orqali vujudga keladi.

Signal spektrini o'zgartirish nuqtai nazaridan chiziqli parametr va nochiziq zanjirlarning prinsipial farqini ko'rsatish joiz.

1. Nochiziq zanjirda, chiqishdagi signal spektri strukturasi nafaqat kirish signalining shakliga, shu bilan bir qatorda uning amplitudasiga ham bog'liq.
2. Chiziqli parametrli zanjirda chiziqdagi signal spektr strukturasi kirish signalining amplitudasiga bog'liq emas.

Radiotexnika uchun nochiziq zanjirlardagi erkin tebranishlar o'ziga xos qiziqish uyg'otadi. Bunday tebranishlar avtotebranishlar deb yuritiladi, sababi ular vujudga kelib, tashqi davriy kuchlar bo'limgan hollarda ham barqaror mavjud bo'ladi. Bunda energiya tarifi o'zgarmas tok manbasi energiyasi bilan kompensatsiya qilinadi.

Asosiy radiotexnik jarayonlar: generatsiya, Modulyatsiya, detektorlash va chatotani o'zgartirish chastota spektrini transformatsiyasi orqali sodir bo'ladi. Shu sababli bunday jarayonlarni nochiziq yoki chiziqli parametrik zanjirlar yordamida bajarish mumkin.

Ba'zi hollarda bir yo'la ham nochiziq, ham chiziqli parametrik zanjirlar qo'llaniladi.

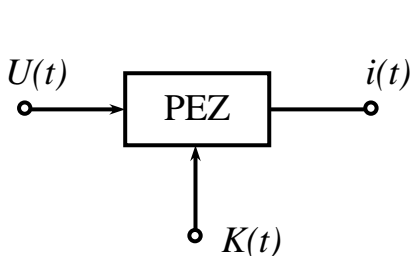
Shuni aytish lozimki, o'zgartirilgan spektrning foydali tashkil etuvchilarini ajratib olishda nochiziq elementlar chiziqli zanjirlar bilan birgalikda ishlatiladi.

Shu sababli sistemalarni chiziqli, nochiziq va parametrik turlarga ajratish juda ham shartli hisoblanadi.

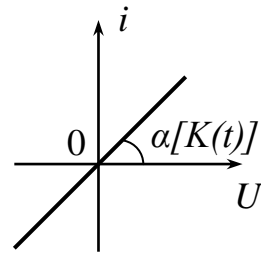
## 2.5. Parametrik zanjirlar

Agar elektr zanjirdagi (EZ)  $R$ ,  $L$ ,  $C$  elementlardan birortasining parametri: qarshiligi, sig'imi yoki induktivligi vaqt bo'yicha o'zgarsa, bunday zanjirlar parametrik elektr zanjirlar (PEZ) deb ataladi.

PEZ ikki ta'sir: kirish tebranish signali  $U(t)$  va boshqaruvchi tebranish  $K(t)$  ta'sirida bo'ladi (2.3-rasm).



a)



b)

2.3-rasm. Parametrik zanjirga ta'sir etuvchi signallar

- a) Parametrik elektr zanjir strukturaviy sxemasi, b) Uzatish koeffitsiyenti  $K$  ning vaqt bo'yicha o'zgarishi qiyalik burchagi

Bunda boshqaruvchi tebranish tok yoki kuchlanish bo'lishi shart emas.

Boshqaruvchi tebranish elektrik, mexanik yoki issiqlik shaklida bo'lishi ham mumkin.

PEZ uchun quyidagi matematik ifodani keltirish mumkin:

$$i(t) = K(t) \cdot U(t). \quad (2.4)$$

Bu ifodadan tok kuchlanishga oniy bog'liqligi chiziqli bo'lib, bu bog'liqlik uzatish koeffitsiyenti  $K$  ning vaqt bo'yicha o'zgarib turishi natijasida chiziqsiz bog'liq bo'lib qoladi. Uzatish koeffitsiyenti  $K$  ning vaqt bo'yicha o'zgarishi qiyalik burchagi  $\alpha = F[K(t)]$  ning vaqt bo'yicha o'zgarishiga sabab bo'ladi (2.3,b-rasm).

Parametrik element sifatida qarshiligi vaqt bo'yicha o'zgarib turuvchi rezistorni olamiz. Bunda

$$U = R(t) \text{ yoki } i = U/R(t) = G(t) \cdot U \quad (2.5)$$

bo'lib,  $G(t)$  – parametrik rezistor o'tkazuvchanligi. Agar kirish tebranishi

$$U = U_1 + U_2 \quad (2.6)$$

bo'lsa, parametrik elementdan o'tayotgan tok

$$i = G(t) \cdot (U_1 + U_2) = G(t) \cdot U_1 + G(t) \cdot U_2 = i_1 + i_2 \quad (2.7)$$

bo‘ladi. (2.7) ifodadan ko‘rinib turibdiki, PEZ larga nisbatan superpozitsiya prinsipini qo‘llash mumkin.

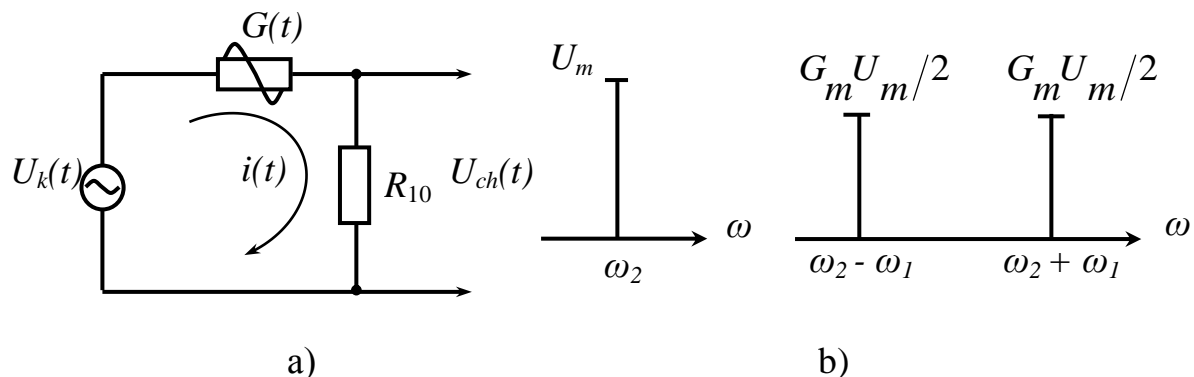
PEZ dan o‘tayotgan tok spektri kirish signali spektridan farqlanadi, ya’ni bunday EZ da yangi spektral tashkil etuvchilar paydo bo‘ladi. Masalan: parametrik rezistor o‘tkazuvchanligi (2.4-rasm) vaqt bo‘yicha garmonik tebranish qonuni bilan o‘zgarishi, ya’ni

$$G(t) = G_m \cos \omega_0 t \quad (2.8)$$

bo‘yicha o‘zgarsa va uning kirishiga

$$U_k = U_m \cos \omega_0 t \quad (2.9)$$

garmonik o‘zgaruvchi kuchlanish berilsin.



2.4-rasm. Parametrik rezistorli zanjir.

Bunda PE rezistordan o‘tuvchi tok (2.5) ga asosan

$$i = G_m \cos \omega_1 t \cdot U_m \cos \omega_2 t \quad (2.10)$$

ga teng bo‘ladi. (2.10) formulani trigonometrik funksiyalar ko‘paytmasi shaklida o‘zgartirsak

$$i = 0,5 G_m U_m \cos(\omega_2 - \omega_1 t) + 0,5 G_m U_m \cos(\omega_2 t + \omega_1 t) \quad (2.11)$$

ko‘rinishini oladi.

(2.10) ifodadan PE lar kirish signali spektrini boyitish xususiyati ko‘rinib turibdi (2.4,b-rasm).

Nochiziqli parametrik elektr zanjirlar rezistor, induktivlik va kondensatorlarning ba'zilari parametrik element bo'lish bilan bir vaqtda nochiziqli element xususiyatiga egadir. Agar EZ da shunday elementlardan birortasi bo'lsa, u holda bunday EZ nochiziqli parametrik elektr zanjir (NPEZ) deb hisoblanadi.

NPEZ larni hisoblashda superpozitsiya prinsipini qo'llab bo'lmaydi va ularning chiqishida kirishidagi signallarning spektri boyiydi, ya'ni yangi spektral tashkil etuvchilar hosil bo'ladi.

Odatda foydalaniladigan ko'pchilik elementlar yarim o'tkazgichli diod, varikap, biquetbli va maydon tranzistorlari, elektron lampalar nochiziqli parametrik element sifatida qo'llanishi mumkin, chunki ular past sathli signallar ta'sirida bo'lganida volt-amper yoki volt-kulon tavsiflari ideallashtirilib chiziqli bog'lanishda deb hisoblanadi. Ular kirishiga bir yoki bir necha sathi nisbatan bir xil, ammo volt-amper yoki volt-kulon tavsifining nisbatan katta qismidan foydalanishga to'g'ri kelsa, nochiziqli element deb hisoblanadi. Agar ular kirishiga bir-biriga nisbatan sathlari katta farq qiladigan ikki signal berilsa, bu holda ulardan kuchlisi boshqaruvchi signal vazifasini bajaradi, bunda bu elementlarni nochiziqli parametrik element deb hisoblanadi.

2.1-jadvalda yuqorida ko'rib o'tilgan radiotexnik zanjirlardagi elementlarning shartli belgilari keltirilgan.

2.1-jadval

Elementlar	Shartli belgilanishi			
	Chiziqli	Nochiziqli	Parametrik	Nochiziqli-parametrik
Rezistorlar	$R$ 	$R(i)$ 	$R(t)$ 	$R(I,t)$ 
Kondensatorlar	$C$ 	$C(i)$ 	$C(t)$ 	$C(I,t)$ 
Induktivlik g'altagi	$L$ 	$L(i)$ 	$L(t)$ 	$L(I,t)$ 

### **3. Mutlaq aniq signallarning xarakteristikalari**

#### **3.1. Energetik xarakteristikalar**

Moddiy  $s(t)$  signalning energetik xarakteristikalari sifatida uning quvvati va energiyasi hisoblanadi.

Oniy quvvat  $s(t)$  signalning oniy qiymatining kvadrati sifatida aniqlanadi:

$$P(t) = s^2(t)$$

Agar  $s(t)$  kuchlanish yoki tok bo‘lsa, u holda  $P(t)$  sifatida 1 om lik qarshilikda ajralgan oniy quvvat hisoblanadi.

$t_2, t_1$  oralig‘ida signal energiyasi sifatida oniy quvvat integrali aniqlanadi:

$$\mathcal{E} = \int_{t_1}^{t_2} P(t) dt = \int_{t_1}^{t_2} S^2(t) dt. \quad (3.1)$$

Quyidagi munosabat:

$$\mathcal{E}/(t_2 - t_1) = 1/(t_2 - t_1) \int_{t_1}^{t_2} S^2(t) dt = S^2(t) \quad (3.2)$$

$t_2, t_1$  oralig‘ida signalning o‘rtacha qiymati deyiladi.

Real signallar qiymati bo‘yicha aniq davomiylik va chegaralangan oniy quvvatga ega. Bunday signallarning energiyasi aniqdir.

#### **3.2. Ixtiyoriy signalning elementar tebranishlar yig‘indisi sifatida ko‘rinishi**

Signallar nazariyasi va ularni qayta ishlashda berilgan  $f(x)$  funksiyasini bir qator  $\varphi_n(x)$  ortogonal sistemalar funksiyalariga yoyish katta ahamiyatga ega.

Ortogonal sistemalar xususiyatlariga tegishli asosiy aniqlashtirishlar.

Xaqiqiy funksiyalarning cheksiz sistemasi:

$$y_0(x), y_1(x), y_2(x), \dots, y_n(x), \dots \quad (3.3)$$

[a, b] oralig‘ida ortogonal deyiladi, agar

$$\int_a^b y_n(x) y_m(x) dx = 0, \quad n \neq m. \quad (3.4)$$

Demak, bu yerda faraz qilinadiki:

$$\int_a^b y_n^2(x) dx \neq 0, \quad (3.5)$$

Ya’ni, ko‘rilayotgan (3.3) sistemasida hech qaysi funksiya aynan nolga teng emas. (3.4) sharti (3.3) sistemasida qo‘sh ortogonallikni ifodalaydi.

Quyidagi kattalik

$$\|\varphi_n\| = \sqrt{\int_a^b \varphi_n^2(x) dx} \quad (3.6)$$

$\varphi_n(x)$  funksiyasining normasi deyiladi,  $\varphi_n(x)$  normallashtirilgan funksiya hisoblanadi, agar quyidagi shart bajarilsa:

$$\|\varphi_n\|^2 = \int_a^b \varphi_n^2(x) dx = 1 \quad (3.7)$$

Quyidagi normallashtirilgan funksiyalar sistemasi

$$\varphi_1(x), \varphi_2(x), \dots, \varphi_n(x), \dots$$

har ikki funksiyasi turli bo‘lib, o‘zaro ortogonal hisoblangan ortonormallashtirilgan sistema deyiladi.

Matematikada, agar  $\varphi_n(x)$  funksiyalar uzluksiz bo'lsa, u holda ixtiyoriy uzluksiz-bo'lakli  $f(x)$  funksiyasi, va u uchun bajariladigan shart  $\int_a^b |f(x)|^2 dx < \infty$  isbotlangan, hamda aniq funksiya hisoblanadi.

Buni qatorlar yig'indisi ko'rinishida ham ifodalash mumkin:

$$f(x) = c_0 \varphi_0(x) + c_1 \varphi_1(x) + \dots + c_p \varphi_p(x) + \dots \quad (3.8)$$

Avvalgi ifodadagi integral  $f(x)$  aniqlash chegarasi bo'yicha hisoblanadi.

(3.8) ifodani ikki tomonini ham  $\varphi_n(x)$  ga ko'paytiramiz va  $[a, b]$  oralig'ida integrallaymiz.

U holda quyidagi ko'rinishdagi hamma qo'shiluvchilari,  $m \neq n$  shart bilan

$$\int_a^b c_m \varphi_m(x) \varphi_n(x) dx$$

funksiyaning ortogonalligi natijasida nolga aylanadi va agar uni integrallasak

$$\int_a^b c_n \varphi_n(x) \varphi_n(x) dx = c_n \int_a^b \varphi_n^2(x) dx = c_n \|\varphi_n\|^2,$$

u holda quyidagini yozishga imkon beradi

$$\int_a^b f(x) \varphi_n(x) dx = c_n \|\varphi_n\|^2,$$

bundan juda muhim bo'lgan munosabat kelib chiqadi

$$c_n = \frac{1}{\|\varphi_n\|^2} \int_a^b f(x) \varphi_n(x) dx. \quad (3.9)$$

$c_n$  koeffitsiyentlari (3.9) shakli bilan aniqlangan (3.8) ko'rinishdagi qator berilgan  $\varphi_n(x)$  sistemasi uchun Furyening umumlashtirilgan qatori deyiladi.

$c_n$  koeffitsiyentlari majmuasi  $\varphi_n(x)$  ortogonal sistemasida  $f(x)$  signal spektri deyiladi va signalni to'liq aniqlaydi.

Furyening umumlashtirilgan qatori quyidagi muhim xususiyatga ega:

berilgan  $\varphi_n(x)$  funksiyalar sistemasida va (3.8) qatori qo'shiluvchilarining aniq soni uchun berilgan  $f(x)$  funksiyasining eng yaxshi approksimatsiyasi bilan ta'minlaydi.

Bu degani, quyidagi kattalik nazarda tutilgan o'rtacha kvadrat xatolik

$$M = \int_a^b \left[ f(x) - \sum_{n=0}^N a_n \varphi_n(x) \right]^2 dx,$$

qator koeffitsiyenti  $a_n=c_n$  holi uchun o'zining minimum qiymatiga yetadi.

Har qanday kompleks qiymatlar qabul qiluvchi  $\varphi_n(x)$  funksiya sistemasiga yuqorida keltirilgan aniqliklar quyidagicha umumlashtiriladi:

Ortogonalilik sharti,  $n \neq m$ :

$$\int_a^b \varphi_n(x) \varphi_m^*(x) dx = 0$$

Funksiyaning norma kvadrati:

$$\|\varphi_n\|^2 = \int_a^b \varphi_n(x) \varphi_n^*(x) dx = \int_a^b |\varphi_n(x)|^2 dx$$

Furye koeffitsiyenti:

$$c_n = \frac{1}{\|\varphi_n\|^2} \int_a^b f(x) \varphi_n^*(x) dx.$$

Keltirilgan ifodalarda  $\varphi^*(x)$  funksiyasi  $\varphi(x)$  ga kompleks – yaqinlashgan funksiyani belgilaydi. Vaqt funksiyasi hisoblangan (3.8) ifoda aynan  $s(t)$  signaliga xos bo'lib, keyinchalik quyidagi shaklda yoziladi:

$$s(t) = \sum_{n=0}^{\infty} c_n \varphi_n(t). \quad (3.10)$$

Yangi belgilashlarga binoan  $s(t)$  funksiya normasi kvadrati (3.6) ga analog sifatida quyidagicha yoziladi:

$$\|s\|^2 = \int_{t_1}^{t_2} s^2(t) dt = \Theta \quad (3.11)$$

Bu ifoda (3.1) bilan mos keladi. Shunday qilib, signal energiyasi:

$$\Theta = \sum_{n=0}^{\infty} |c_n|^2 \|\varphi_n\|^2, \quad (3.12)$$

Ortonormallashtirilgan funksiyalar  $\varphi_n(t)$  sistemasini qo'llaganda:

$$\Theta = \sum_{n=0}^{\infty} |c_n|^2. \quad (3.12')$$

Bunda shu nazarda tutiladiki, energiya  $\Theta$  aniqlanadigan  $t_2 - t_1$  vaqt oralig'i  $\varphi_n(t)$  funksiyalar sistemasi uchun ortogonallik oralig'i hisoblanadi.  $t_2 - t_1$  vaqt oralig'ida signalning o'rtacha quvvati:

$$\overline{s^2(t)} = \frac{\Theta}{t_2 - t_1} = \frac{1}{t_2 - t_1} \sum_{n=0}^{\infty} |c_n|^2 \|\varphi_n\|^2. \quad (3.13)$$

Eng yuqori maqsadga muvofiq ortogonal funksiyalar sistemasini tanlash murakkab funksiyani qatorga yoyishda namoyon bo'ladi. Murakkab signalni yoyishni talab etuvchi turli ko'p masalalar orasida eng asosiyлari quyidagilar hisoblanadi:

- 1) Oddiy ortogonal funksiyalarga aniq yoyish;
- 2) Qatorning tashkil etuvchilari sonini minimumga keltirishda (berilgan mumkin bo'lgan xatolikda) talab etilgan signallar, jarayonlar yoki xarakteristikalarini approksimatsiyalash.

## **4. Nodavriy signallarni garmonik tahlil qilish. Nodavriy signallarning spektri. Furye o'zgartirishining xususiyatlari**

### **4.1. Nodavriy signallarni garmonik tahlil qulish. Nodavriy signallarning spektri**

Davriy signallarni garmonik analiz qilishni nodavriy signallarga ham qo'llash mumkin.

Faraz qilaylik, vaqtning  $t_1, t_2$  oralig'ida noldan farqli bo'lgan, nodavriy  $s(t)$  signal birorta funksiya ko'rinishida berilgan (4.1-rasm).

Vaqtning  $t_1, t_2$  oralig'ini o'z ichiga olgan, vaqtning ixtiyoriy bir bo'lagi  $T$  ajratib olinib, berilgan signalni Furye qatori ko'rinishida ifodalashimiz mumkin:

$$s(t) = \sum_{n=-\infty}^{\infty} c_n e^{in\omega_I t}, \quad 0 < t < T, \quad (4.1)$$

bu yerda  $\omega_I = 2\pi/T$ , koeffitsiyent  $c_n$  esa mos ravishda:

$$c_n = \frac{1}{T} \int_{t_1}^{t_2} s(t) e^{-in\omega_I t} dt \quad (4.2.)$$

Quyidagi berilgan signalni topamiz:

$$s(t) = \sum_{n=-\infty}^{\infty} \left( \int_{t_1}^{t_2} s(x) e^{-inx} dx \right) e^{inx} \frac{\omega_I}{2\pi}, \quad 0 < t < T \quad (4.3)$$

Bu yerda  $T=2\pi/\omega_I$  ekanligi hisobga olingan. Vaqtning  $(0, T)$  oralig'idan tashqari qiymatlarida qator quyidagi funksiyani aniqlaydi:

$$s(t) = s(t \pm kT),$$

bu yerda  $k$  – butun son,  $T$  davrni chapga va o'ngga surish bilan davriy funksiya  $s(t)$  ni hisoblash orqali topilgan.

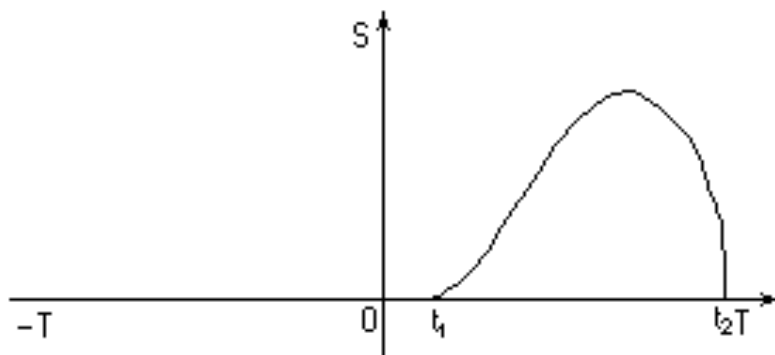
Vaqtning  $(0, T)$  oralig'idan tashqari qiymatlarida funksiya  $s(t)$  nolga teng bo'lishi uchun, kattalik  $T$  cheksiz bo'lishi kerak.

Ammo, davr sifatida qabul qilngan vaqt oralig‘i  $T$  qanchalik katta bo‘lsa, koeffitsiyent  $c_n$  shunchalik kichik bo‘ladi, ya’ni:

$$T \rightarrow \infty, c_n \rightarrow 0$$

$T$  davrni cheksizlikka intiltirib, o‘sha oraliqda amplitudasi cheksiz kichik bo‘lgan tashkil etuvchilarini olamiz.

Bu tashkil etuvchilarning yig‘indisi  $t_1 < t < t_2$  boshlang‘ich nodavriy  $s(t)$  funksiyasini tasvirlaydi (4.1-rasm).



4.1-rasm. Yakka impuls.

Bu holda Furye qatoriga kiruvchi, garmonik tashkil etuvchilarning soni cheksiz katta bo‘ladi, chunki  $T \rightarrow \infty$  qiymatlarda funksiyaning asosiy chastotasi

$$\omega_I = 2\pi/T \rightarrow 0$$

Boshqacha qilib aytganda, asosiy chastota  $\omega_I$  ga teng bo‘lgan, spektral liniyalar orasidagi masofa (4.2-rasm), cheksiz kichik, spektri esa tutash, yaxlit bo‘lib boradi.

Shu sababli (4.3) ifodada  $\omega_I$  ni  $d\omega_I$  ga,  $n\omega_I$  ni esa joriy  $\omega$  chastotaga almashtirish mumkin, yig‘indi operatsiyasini esa integrallash operatsiyasiga almashtirish mumkin.

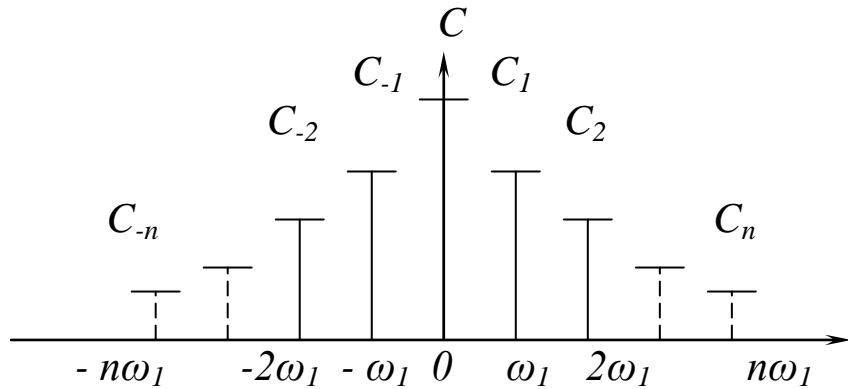
Shunday qilib, Furyening ikki karrali integraliga kelamiz:

$$s(t) = \frac{1}{2\pi} \int_{-\infty}^{\infty} e^{i\omega t} \left[ \int_{t_1}^{t_2} s(x) e^{-i\omega x} dx \right] d\omega \quad (4.4)$$

Chastota  $\omega$  funksiyasining ichki integrali hisoblangan

$$S(\omega) = \int_{t_1}^{t_2} s(t) e^{-i\omega t} dt, \quad (4.5)$$

spektral zichlik, yoki  $s(t)$  funksiyaning spektral xarakteristikasi deyiladi.



4.2-rasm. Vaqtning davriy funksiyasi bo‘lgan Furye kompleks qatorining koeffitsiyentlari.

Umumiyl holda, qachonki  $t_1$  va  $t_2$  oraliqlar aniqlangan bo‘lmasa, spektral zichlik quyidagi shaklda yoziladi:

$$S(\omega) = \int_{-\infty}^{\infty} s(t) e^{-i\omega t} dt \quad (4.6)$$

(4.6) ifodani (4.4) ifodaga qo‘yganimizdan so‘ng quyidagini olamiz:

$$s(t) = \frac{1}{2\pi} \int_{-\infty}^{\infty} S(\omega) e^{i\omega t} d\omega \quad (4.7)$$

Keltirilgan (4.6) va (4.7) ifodalar mos ravishda Furyening to‘g‘ri va teskari o‘zgartishlari deyiladi.

## 4.2. Furye o‘zgartirishining xususiyatlari

Davriy signal  $s(t)$  ni Furye qatoriga trigonometrik funksiyalar bo‘yicha yoyilganda ortogonal sistema sifatida quyidagilarni olinadi:

$$1, \cos \omega_l t, \sin \omega_l t, \cos 2\omega_l t, \sin 2\omega_l t, \dots, \cos n\omega_l t, \sin n\omega_l t, \dots \quad (4.8)$$

$$\text{yoki } \dots e^{-i2\omega_l t}, e^{-i\omega_l t}, 1, e^{i\omega_l t}, e^{i2\omega_l t}, \dots \quad (4.9)$$

Ikkala holat uchun ham ortogonallik oraliq (interval)  $s(t)$  funksiyasining davri  $T=2\pi/\omega_l$  bilan mos tushadi.

Furye qatori  $C_n$  koeffitsiyentlarining majmuasi trigonometrik funksiyalar bazasida davriy signalning chastota spektri deyiladi.

Avval o‘tilgan mashg‘ulotlardan berilgan  $f(x)$  funksiyasini har xil ortogonal sistemalari funksiyalari  $\varphi_n(x)$  yoyilganda, ortogonal sistemalarning quyidagi xususiyatlari ma’lum:

Xaqiqiy funksiyalarning cheksiz sistemasi

$$\varphi_0(x), \varphi_1(x), \varphi_2(x), \dots, \varphi_n(x), \dots \quad (4.10)$$

$[a,b]$  oralig‘ida ortogonal deyiladi, agar  $n \neq m$  sharti bilan:

$$\int_a^b \varphi_n(x) \varphi_m(x) dx = 0 \quad (4.11)$$

bu holda faraz qilinadiki:

$$\int_a^b \varphi_n^2(x) dx \neq 0 \quad (4.12)$$

ya‘ni, ko‘rilayotgan (4.10) sistemasida xech qanday funksiya nolga teng emas.

(4.11) sharti (4.10) sistemasidagi funksiyalarning o‘zaro ortogonalligini ifodalaydi.

Quyidagi kattalik

$$\|\varphi_n\| = \sqrt{\int_a^b \varphi_n^2(x) dx} \quad (4.13)$$

$\varphi_n(x)$  funksiyasining normasi deyiladi.

Quyidagi shart  $\varphi_n(x)$  funksiyasi uchun bajarilsa

$$\|\varphi_n\|^2 = \int_a^b \varphi_n(x) dx = 1 \quad (4.14)$$

bu normallashtirilgan funksiya deyiladi, normallashtirilgan funksiyalar sistemasi  $\varphi_1(x), \varphi_2(x), \dots$ , esa, har qanday ikki funksiyalar o‘zaro ortogonal bo‘lsa, ortogonallashtirilgan deyiladi.

Keltirilgan (4.6) ifoda (4.2) ifodadan faqatgina ko‘paytuvchi  $1/T$  ning yo‘qligi bilan farq qiladi. O‘z navbatida, spektral zichlik  $S(\omega)$  Furye kompleks qatorining koeffitsiyentlari  $c_n$  ning barcha asosiy xususiyatlarini egallaydi.

Yuqoridagi ifodalarga asoslanib quyidagini yozish mumkin:

$$S(\omega) = A(\omega) - iB(\omega) = S(\omega)e^{i\theta(\omega)} \quad (4.15)$$

bu yerda

$$A(\omega) = \int_{-\infty}^{\infty} s(t) \cos \omega t dt, \quad B(\omega) = \int_{-\infty}^{\infty} s(t) \sin \omega t dt \quad (4.16)$$

Spektral zichlikning moduli va argumenti quyidagi ifodalar bilan aniqlaniladi:

$$S(\omega) = \sqrt{[A(\omega)]^2 + [B(\omega)]^2}, \quad \theta(\omega) = -\arctg[B(\omega)/A(\omega)] \quad (4.17)$$

Bulardan birinchi ifodani  $s(t)$  nodavriy signal tutash, yaxlit spektrining amplituda–chastota (AChX), ikkinchisini esa faza–chastota xarakteristikasi (FChX) deb qarash mumkin.

Bu yerda  $A(\omega)$  – spektral zichlik  $S(\omega)$  ning xaqiqiy qismi;  $B(\omega)$  – spektral zichlik  $S(\omega)$  ning mavhum qismi.

Xuddi Furye qatoridagi kabi,  $S(\omega)$  modul  $\omega$  chastotaning juft,  $\theta(\omega)$  esa toq funksiyasi hisoblanadi.

Ko‘rilgan (4.15) formulasiga asosan (4.7) ifodasini integral o‘zgarishini trigonometrik shaklga olib kelish qiyin emas.

Quyidagiga egamiz ( $\theta(\omega)$  funksiyasining argumenti keyingi ifodalarda tushirib qoldirilgan):

$$s(t) = \frac{1}{2\pi} \int_{-\infty}^{\infty} S(\omega) e^{i(\omega t + \theta)} d\omega = \frac{1}{2\pi} \int_{-\infty}^{\infty} S(\omega) \cos(\omega t + \theta) d\omega + i \frac{1}{2\pi} \int_{-\infty}^{\infty} S(\omega) \sin(\omega t + \theta) d\omega$$

Modulning juftligi va fazaning toqligidan,  $\omega$  ga nisbatan birinchi integralda integral osti funksiyasi juft, ikkinchisiniki esa toqligi kelib chiqadi.

Shunga ko‘ra, ikkinchi integral nolga teng va natijada:

$$s(t) = \frac{1}{2\pi} \int_{-\infty}^{\infty} S(\omega) \cos(\omega t + \theta) d\omega = \frac{1}{\pi} \int_0^{\infty} S(\omega) \cos(\omega t + \theta) d\omega \quad (4.18)$$

Kompleks shakl (4.7) dan trigonometrik shakl (4.18) ga o‘tish odatda tahlil ohirida maqsadga muvofiq; Furye integralini qo‘llaganda, qolgan hamma oraliqdagi vazifalar kompleks shakl (4.7) asosida qulay va bajarish oson.

Eslaylik,  $\omega=0$  da (4.5) ifoda quyidagi ko‘rinishga o‘tadi:

$$s(0) = \int_{-\infty}^{\infty} s(t) dt \quad (4.19)$$

Shunga ko‘ra, nol chastotada har qanday signal  $s(t)$  uchun spektral zichlik  $S(\omega)$  “signal yuzasiga” teng.

Bu qoida ba’zi signallarni spektr strukturasini tezda aniqlashda foydalidir.

## **5. Mutlaq aniq signallarni korrelyatsion tahlil qilish. Signalning korrelyatsion funksiyasi va spektral xarakteristikasi orasidagi munosabat**

### **5.1. Mutlaq aniq signallarni korrelyatsion tahlil qilish**

Signallarni tariflashda spektral yondashish bilan bir qatorda amaliyotda, signalning ba’zi xususiyatlari bo‘yicha ma’lumot beruvchi, xususiy holda vaqt bo‘yicha o‘zgarish tezligi, hamda

signalni garmonik tashkil etuvchilarga yoymasdan turib, signalning davomiyligi kabi xarakteristikalar muhimdir.

Bunday vaqt xarakteristikasi sifatida signalning korrelyatsion funksiyasi keng ishlatiladi.

Chegarasi ma'lum mutlaq aniq  $s(t)$  signalning korrelyatsion funksiyasi quyidagi ifoda bilan aniqlanadi:

$$B_s(\tau) = \int_{-\infty}^{\infty} s(t)s^*(t + \tau)dt, \quad (5.1)$$

bu yerda  $\tau$  – signalning vaqt bo'yicha surilishi,  $s^*(t + \tau)$  – kompleks yaqinlashishni hisobga olgan holda  $\tau$  vaqtga siljigan signal.

Bu yerda, vaqtning moddiy funksiyasi bo'lgan signallar ko'rildi va kompleks yaqinlashish belgilarini tushirib qoldirish mumkin:

$$B_s(\tau) = \int_{-\infty}^{\infty} s(t)s(t + \tau)dt \quad (5.2)$$

(5.2) ifodadan ko'rindiki,  $B_S(t)$  signal  $s(t)$  ning vaqt o'qi bo'ylab  $\tau$  kattalikka surilgan, o'zining nusxasi bilan aloqasi (korrelatsiya) ni ifodalaydi.

Ma'lumki,  $B_S(t)$  funksiyasi o'zining maksimumiga  $\tau=0$  qiymatda erishadi, chunki har qanday signal o'zi bilan butunlay, to'liq korrelatsiyalangan.

Shu bilan birga

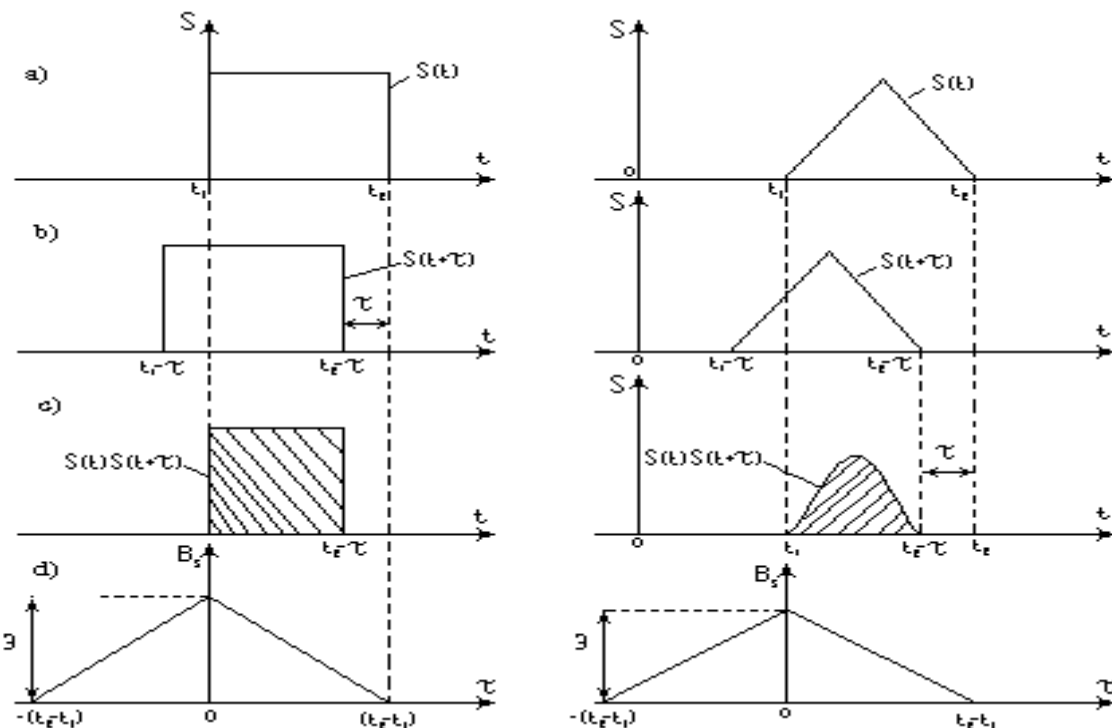
$$B_s(0) = \int_{-\infty}^{\infty} s^2(t)dt = \Theta, \quad (5.3)$$

ya'ni, korrelatsiya funksiyasining maksimal qiymati signal energiyasiga teng.

Kattalik  $\tau$  ortib borishi bilan korrelyatsion funksiya  $B_s(\tau)$  kamaya boradi (monoton kamayishi shart emas) va  $s(t)$  hamda  $s(t + \tau)$  signallarining bir biriga nisbatan, signal davomiyligidan oshuvchi (ortib ketuvchi), vaqt bo'yicha surilishi (siljishi) bilan nolga aylanadi.

5.1-rasmda tog‘riburchakli impuls shaklidagi oddiy signalga korrelyatsion funksiyasini qurish ko‘rsatilgan, 5.1, a-rasm.

Vaqt bo‘yicha  $\tau$  ga teng miqdorda, ortib boruvchi tomonga surilgan signal  $s(t+\tau)$  5.1, b-rasmda ko‘rsatilgan.



5.1-rasm. To‘g‘riburchakli impuls uchun 5.2-rasm. Uchburchaksimon impuls korrelyatsion funksiyani qurish.  
uchun korrelyatsion funksiyani qurish.

Ikki signalning ko‘paytmasi  $s(t)s(t+\tau)$  esa 5.1,c-rasmda ko‘rsatilgan.

Korrelyatsion funksiya  $B_S(\tau)$  ning grafigi 5.1,g-rasmda tasvirlangan.

Har bir  $\tau$  qiymatiga o‘zining ko‘paytmasi  $s(t)*s(t+\tau)$  mos keladi va  $s(t)*s(t+\tau)$  funksiyasi grafig‘i ostidagi yuza ham mos keladi.

Kattalik  $\tau$  mos keluvchi bunday yuzalarning son miqdori korrelyatsion funksiya  $B_S(t+\tau)$  ni ordinatasini beradi.

Analog ravishda uchburchaksimon impulsiga qurilgan korrelyatsion funksiya 5.2-rasmda tasvirlangan.

Korrelyatsion funksiyaning umumiyligi aniqlashtirishidan, hamda keltirilgan misollardan ko‘rinadiki, signalni  $\tau$  – kattalikka o‘zining nusxasiga nisbatan o‘ng yoki chapga surish ahamiyatga ega emas.

Shuning uchun, (5.2) ifodani quyidagi tarzda umumlashtirish mumkin:

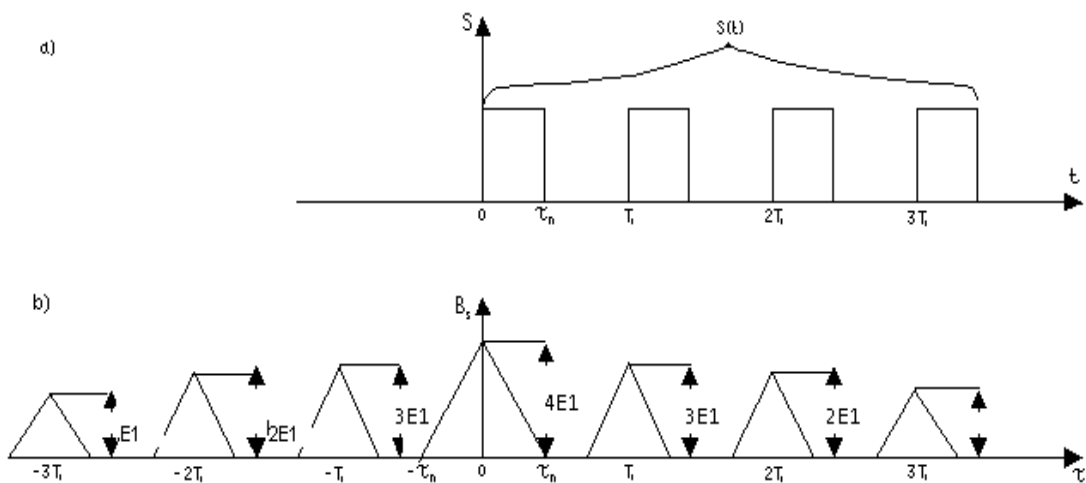
$$B_s(\tau) = \int_{-\infty}^{\infty} s(t)s(t+\tau)dt = \int_{-\infty}^{\infty} s(t)s(t-\tau)dt. \quad (5.4)$$

Bu quyidagi tasdiqqa teng kuchli, yani  $B_s(\tau)$  kattalik  $\tau$  ning juft funksiyasi hisoblanadi.

5.3,a-rasmida, biri ikkinchisiga nisbatan  $T_1$  vaqtga teng ravishda surilgan, to‘rtta bir hil impulslardan tashkil topgan, pachka ko‘rinishidagi signal ko‘rsatilgan.

5.3,b-rasmida esa, yuqorida tariflangan signalga mos keluvchi korrelyatsion funksiya ko‘rsatilgan.

Kattalik  $\tau$  qiymatlari atrofidagi quyidagi qiymatlarda  $0$ ,  $\pm T_1, \pm 2T_1$  va  $\pm 3T_1$ , bu funksiya 5.1,g-rasmdagi yakka impuls uchun keltirilgan ko‘rinishga ega.



5.3-rasm. To‘rtta to‘g‘riburchakli impulslardan iborat ketma-ketlik (a) va korrelyatsion funksiya (b).

Korrelyatsion funksiyaning ko‘rinishi xuddi yakka impuls korrelyatsion funksiyasi ko‘rinishi bilan bir xil (5.1,g-rasmga qarang).

Korrelyatsion funksiyaning,  $\tau=0$  vaqtda maksimal qiymati bitta impuls energiyasining to‘rt baravariga teng.

Energiyasi cheksiz katta bo‘lgan davriy signal uchun, korrelyatsion funksiyaning (5.3) yoki (5.2) ifodalari bilan aniqlash to‘g‘ri kelmaydi.

Bunday holatda quyidagi aniqlashtirishga asoslaniladi:

$$B_{sdav}(\tau) = \lim_{T \rightarrow \infty} \frac{1}{T} \int_{-T/2}^{T/2} s(t)s(t+\tau)dt = \lim_{T \rightarrow \infty} \frac{1}{T} \int_{-T/2}^{T/2} s(t)s(t-\tau)dt \quad (5.5)$$

Bunday aniqlashtirishda korrelyatsion funksiya quvvat o‘lchamini qabul qiladi, shu bilan birga  $B_{sdav}(0)$  davriy signal o‘rtacha quvvatiga teng.

Signal  $s(t)$  ning davriyligiga muvofiq,  $T$  ning cheksiz katta bo‘lagi bo‘ylab ko‘paytmalar  $s(t)*s(t+\tau)$  yoki  $s(t-\tau)*s(t)$  ni o‘rtachalashtirish  $T_1$  davr bo‘yicha o‘rtachalashtirish bilan mos tushishi kerak.

Shuning uchun (5.5) ifodasini quyidagi ifoda bilan almashtirish mumkin:

$$B_{sdav}(\tau) = \lim_{T \rightarrow \infty} \frac{1}{T} \int_{-T_1/2}^{T_1/2} s(t)s(t+\tau)dt = \lim_{T \rightarrow \infty} \frac{1}{T_1} \int_{-T_1/2}^{T_1/2} s(t)s(t-\tau)dt \quad (5.6)$$

Bu ifodaga kiruvchi integrallar asl ma’nosi shundaki,  $T_1$  oralig‘ida signalning xuddi korrelyatsion funksiyasi kabi hisoblanadi.

Buni  $B_{sT_1}(\tau)$  orqali belgilab, quyidagi nisbatga kelamiz:

$$B_{sdav}(\tau) = B_{sT_1}(\tau)/T_1$$

Ehtimol shunday bo‘lishi mumkinki, davriy  $s(t)$  signaliga davriy korrelyatsion funksiya  $B_{sdav}(\tau)$  mos keladi.

$B_{sdav}(\tau)$  funksiyasining davri boshlang‘ich  $s(t)$  signal davri  $T_1$  bilan mos keladi.

Misol uchun, eng oddiy garmonik tebranish

$$S(t) = A_0 \cos(\omega_0 t + \theta_0)$$

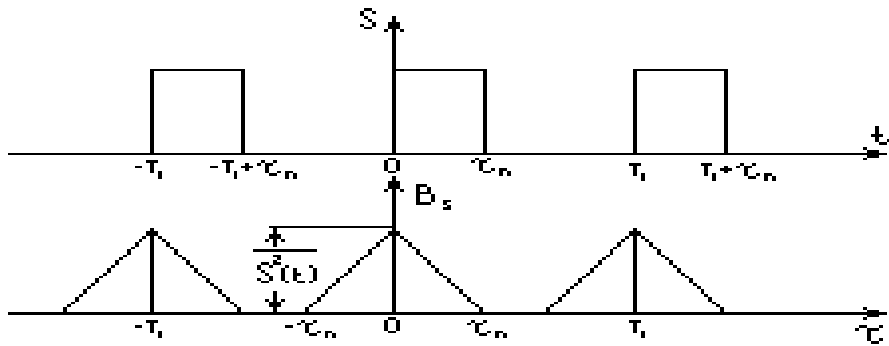
uchun korrelyatsion funksiya quyidagicha

$$B_{s_{nep}}(\tau) = \frac{A_0^2}{T_1} \int_{-T_1/2}^{T_1/2} \cos(\omega_0 t + \theta_0) \cos[\omega_0(t + \tau) + \theta_0] dt = \frac{1}{2} A_0^2 \cos \omega_0 \tau, \quad \omega_0 = \frac{2\pi}{T_1}.$$

kattalik  $\tau=0$  uchun  $B_{sdav}(0)=1/2A_0^2$ , bu  $A_0$  amplitudali garmonik tebranishning o‘rtacha quvvati.

Shuni aytish lozimki,  $B_{sdav}(\tau)$  korrelyatsion funksiya tebranishning boshlang‘ich fazasi  $\theta_0$  ga bog‘liq emas.

5.4,a-rasmida ko‘rsatilgan davriy ketma–ket to‘g‘riburchakli impulslardan tashkil topgan signalning korrelyatsion funksiyasi 5.4,b-rasmida tasvirlangan.



5.4-rasm. Impulslarning davriy ketma-ketligi (a) va uning korrelyatsion funksiyasi (b).

$B_{sdav}(\tau)$  funksiyasining har bir impulsi shakli bo‘yicha  $s(t)$  davriy ketma-ketlikning yakka impulsi korrelyatsion funksiyasi shakli bilan mos tushadi.

Lekin bu holatda,  $B_{sdav}(\tau)$  ning maksimal ordinatalari, 5.3-rasmida ko‘rsatilgani kabi, energiyaga emas, balki  $s(t)$  signalning o‘rtacha quvvatiga teng, ya‘ni  $s^2(t)$  kattalikka.

Ikki har xil  $s_1(t)$  va  $s_2(t)$  signallar orasidagi aloqa darajasini baholash uchun, o‘zaro korrelyatsion funksiya ishlatiladi va u quydagi umumiy ifoda bilan aniqlanadi:

$$B_{s_1 s_2}(\tau) = \int_{-\infty}^{\infty} s_1(t) s_2^*(t + \tau) dt \quad (5.7)$$

Moddiy  $s_1(t)$  va  $s_2(t)$  funksiyalar uchun:

$$B_{s_1 s_2}(\tau) = \int_{-\infty}^{\infty} s_1(t) s_2^*(t + \tau) dt \quad (5.8)$$

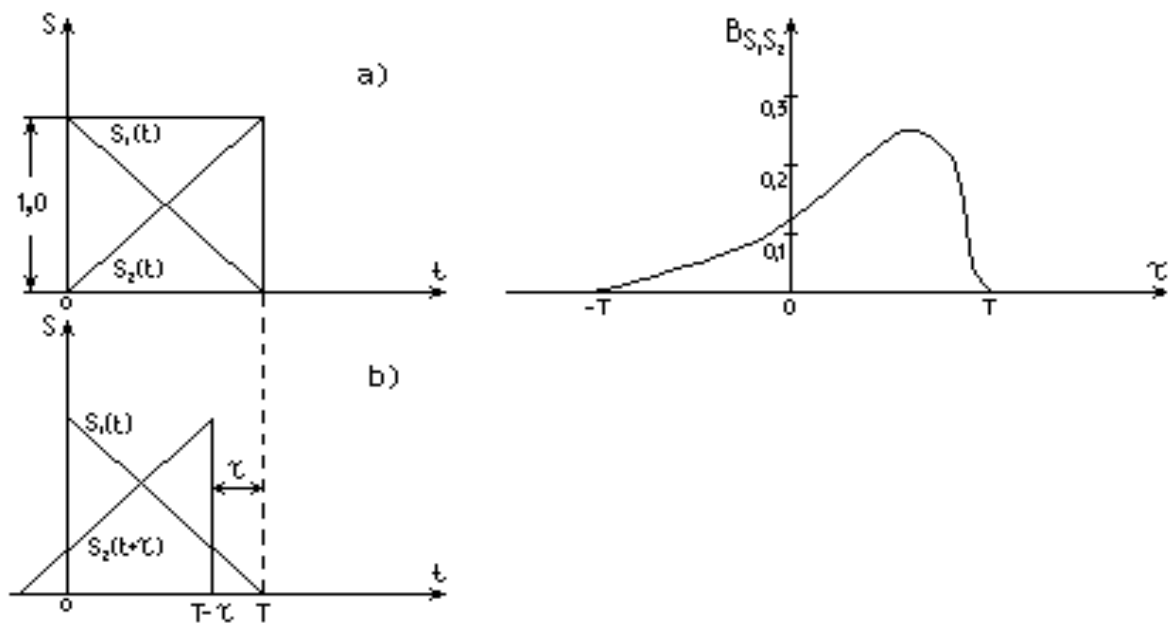
Yuqorida ko‘rilgan  $B_S(\tau)$  korrelyatsion funksiya,  $s_1(t) = s_2(t)$  holati uchun,  $B_{s_1s_2}(\tau)$  funksiyasining xususiy holi hisoblanadi.

Ikki  $s_1(t)$  va  $s_2(t)$  signallari uchun o‘zaro korrelyatsion funksiyaning qurilishi 5.5-rasmda keltirilgan.

5.5,a-rasmda signalning boshlang‘ich holati  $\tau=0$  ko‘rsatilgan.

Signal  $s_2(t)$  ni chapga surilishida ( $\tau>0$ , 5.5,b-rasm) korrelyatsion funksiya boshlanishida o‘sadi, songra  $\tau=T$  da to 0 gacha kamayadi.

Signalni o‘nga surilishida, ya‘ni  $\tau<0$  da, korrelyatsion funksiya tezda kamayadi.



5.5-rasm. O‘zaro korrelyatsion funksiyaning qurilishi: signallarning berilgan holati (a);  $s_2(t)$  signalning  $\tau$  vaqtga siljishi (b); o‘zaro korrelyatsion funksiya (c).

Natijada ordinata o‘qiga nisbatan asimmetrik bo‘lgan  $B_{s_1s_2}(\tau)$  funksiyasi hosil bo‘ladi, 5.5,c-rasm.

Ehtimol, agar signal  $s_2(t)$  ni oldinga surish, siljitish o‘rniga  $s_1(t)$  signalga kechiktirish berilsa,  $B_{s_1s_2}$  o‘zgarmaydi.

Shuning uchun (5.8) ifodani quyidagi tarzda umumlashtirish mumkin:

$$B_{s_1s_2}(\tau) = \int_{-\infty}^{\infty} s_1(t)s_2^*(t + \tau)dt = \int_{-\infty}^{\infty} s_2(t)s_1^*(t - \tau)dt = B_{s_2s_1}(-\tau) \quad (5.9)$$

Mos ravishda:

$$B_{s2s1}(\tau) = B_{s1s2}(-\tau) \quad (5.10)$$

Ammo, (5.4) va (5.10) ifodalarni farqlash talab etiladi.

$B_S(\tau)$  dan farqli ravishda o‘zaro korrelyatsion funksiya  $\tau$  ga nisbatan juft bo‘lishi shart emas.

Bundan tashqari, o‘zaro korrelyatsion funksiya  $\tau=0$  da maksimumga erishishi shart emas.  $B_{s1s2}(\tau)$  funksiyasining bu ikki xususiyati 5.5-rasmida namoyish etilgan.

## 5.2. Korrelyatsion funksiya va signal spektral xarakteristikasi orasidagi nisbat

Furye o‘zgartirishiga asosan signalning har bir  $s(t) = s_1(t) + s_2(t) + \dots$  tashkil etuvchisiga  $S(\omega) = S_1(\omega) + S_2(\omega) + \dots$  zichlikka ega spektr mos keladi.

U holda quyidagini olamiz:

$$\int_{-\infty}^{\infty} s(t)s(t+\tau)dt = \frac{1}{2\pi} \int_{-\infty}^{\infty} S(\omega)S^*(\omega)e^{-i\omega\tau}d\omega = B_S(\tau)$$

$S(\omega)S^*(\omega) = S^2(\omega)$  ekanligini hisobga olib, berilgan nisbatga kelamiz:

$$B_S(\tau) = \frac{1}{2\pi} \int_{-\infty}^{\infty} S^2(\omega)e^{-i\omega\tau}d\omega \quad (5.11)$$

Shuningdek, Furye o‘zgartirishining ma’lum xususiyatlariga asosan quyidagini yozish mumkin:

$$S^2(\omega) = \frac{1}{2\pi} \int_{-\infty}^{\infty} B_S(\tau)e^{-i\omega\tau}d\omega \quad (5.12)$$

Shunday qilib,  $B_S(\tau)$  korrelyatsion funksiyaning (5.10) Furye to‘g‘ri o‘zgartirishi energiyaning spektral zichligini ifodalaydi, (5.11) o‘zgartirish esa  $B_S(\tau)$  korrelyatsion sunksiyani beradi

(5.11) va (5.12) ifodalar shuningdek  $B_s(\tau)$  korrelyatsion funksiya signal spektrining faza-chastota xarakteristikasiga bog‘liq emasligini ko‘rsatib turibdi.

## 6. Modulatsiyalangan tebranishlar

### 6.1. Umumiy aniqlashtirishlar

Uzatiladigan ma’lumot u yoki bu usul bilan tashuvchi deb nom olgan yuqori chastotali tebranishga joylashtirilishi kerak.

Bu tebranishning chastotasi  $\omega_0$  ma’lumot uzatilishi kerak bo‘lgan masofadan kelib chiqqan holda, radioto‘lqin tarqalish sharoitidan va bir qator texnik va iqtisodiy faktorlarga qarab tanlanadi. Ammo, har qanday holatda chastota  $\omega_0$  uzatilayotgan xabar spektrining eng yuqori chastotasi  $\Omega_m$  ga nisbatan yuqori bo‘lishi kerak.

Bu holat shu bilan tushuntiriladi: radiotexnik zanjirlar orqali xabarlarni o‘zgarishsiz uzatish uchun, hamda radioto‘lqinlarni tarqalishida yuzaga keladigan buzilishlarni yo‘qotish uchun, xabar spektrining kengligi  $\Omega_m$  tashuvchi chastota  $\omega_0$  ga nisbatan kichik bo‘lishi kerak;  $\Omega_m/\omega_0$  nisbat qancha kichik bo‘lsa, sistema xarakteristikalarining xatolari shunchalik kam namoyon bo‘ladi.

Shuning uchun ma’lumotni talab qilingan uzatish tezligi qancha yuqori bo‘lsa, xabar spektri  $\Omega_m$  shunchalik keng, radiosignal tashuvchi chastotasi esa shunchalik yuqori bo‘lishi kerak.

Qoida bo‘yicha,  $\Omega_m/\omega_0 << 1$  tengsizligi bajariladi.

Shu sababli har qanday radiosignalni “torpolosali” jarayon deb ta’kid qilish mumkin, xatto, “kengpolosali” xabarni uzatishda ham.

Quyidagi misollarni keltiramiz: so‘z yoki muzikani uzatishda xabar spektri odatda  $F_{min}=30-50 \text{ Gs}$  dan to  $F_{max}=3000-10000 \text{ Gs}$  gacha polosalar bilan chegaralanadi.

Xatto eshittirishlar diapazonini eng uzun to‘lqinida  $\lambda=2000 \text{ m}$ , tashuvchi chastota  $f_0=150 \text{ kGs}$  da munosabat  $f_{max}/f_0 = 10^4 / 1,5 \cdot 10^5 \approx 0,06$  ga teng.

Xuddi shu xabarlarni qisqa to‘lqinlarda, 15–20 MGs chastotalarda uzatilganida bu munosabat 0,01% chalik oshirilmaydi.

Harakatdagi tasvirlarni (televideniyyeda) uzatishda xabar chastota polosasi juda ham keng va 5–6 MGs ga yetadi, ammo tashuvchi chastotani ham 50–60 MGs dan kam tanlab olinmaydi, shunday ekan  $F_{max}/f_0$  munosabat 10% dan oshmaydi.

Eng umumiy holda o‘zida ma’lumot olib ketayotgan radiosignalni quyidagicha ko‘rsatish mumkin:

$$a(t)=A(t) \cos[\omega_0 t + \theta(t)] = A(t) \cos \varphi(t) \quad (6.1)$$

bu yerda amplituda  $A$  yoki  $\theta$  uzatilayotgan xabar qonuni bilan o‘zgaradi.

Agar  $A$  va  $\theta$  – o‘zgarmas kattaliklar bo‘lsa, u holda (6.1) ifoda o‘zida birorta ma’lumoti yo‘q, oddiy garmonik tebranishni ifodalaydi. Agar  $A$  va  $\theta$  (shular qatori  $\varphi$  ham) xabarni uzatish maqsadida majburiy o‘zgarishga tortilsa, u holda tebranish modullashtirilgan hisoblanadi.

Ikki parametrdan qaysi biri o‘zgarishiga qarab – amplituda  $A$  yoki burchak  $\theta$ , Modulyatsiyaning asosiy ikki turini farqlashadi:

- amplituda bo‘yicha;
- burchak bo‘yicha.

Burchak Modulyatsiyasi o‘z o‘rnida ikki turga bo‘linadi: chastota bo‘yicha Modulyatsiya (ChM); faza bo‘yicha Modulyatsiya (FM).

Bu ikki tur Modulyatsiya bir–biri bilan mahkam bog‘langanlar, va ular orasidagi farq birgina shu modullashtiruvchi funksiyada, burchak  $\varphi$  ni vaqt bo‘yicha o‘zgarish xarakterida ko‘rinadi.

Modullashtirilgan tebranishning strukturasi ham uzatilayotgan xabar spektriga ham Modulyatsiya turiga bog‘liq bo‘lgan spektrga ega.

Bu vaziyat, ya‘ni modullashtiruvchi xabar spektr kengligi tashuvchi chastota  $\omega_0$  ga nisbatan kichikligi,  $A(t)$  va  $\theta(t)$  ni vaqtning sekin o‘zgaruvchi funksiyalari deb hisoblashga imkon beradi.

Bu esa, tashuvchi tebranishning bir davrida  $A(t)$  yoki  $\theta(t)$  larning nisbiy o‘zgarishlari birga nisbatan ancha kichikligini bildiradi.

Boshlanishida amplitudaning o‘zgarish masalasini ko‘ramiz. Amplitudani  $dA/dt$  o‘zgarish tezligida, amplitudani bir davr  $T_0$  ichida o‘sib borishini taxminan ( $dA/dt$ )  $T_0$  ga tenglashtirish mumkin. Demak, bir davrda nisbiy o‘zgarish quyidagiga teng:

$$\left| \frac{dA}{dt} \right| \frac{T_0}{A} = \left| \frac{dA}{dt} \right| \frac{1}{A} \frac{2\pi}{\omega_0}$$

Funksiya  $A(t)$  ning sekinlik sharti bajarilishi uchun, albatta quyidagi tengsizlik bajarilishi shart:

$$\frac{2\pi}{\omega_0} \left| \frac{dA}{dt} \right| \frac{1}{A} \ll 1 \quad \text{yoki} \quad \left| \frac{dA}{dt} \right| \frac{1}{A} \ll \frac{\omega_0}{2\pi} \quad (6.2)$$

Xuddi shunga analog ravishda  $\theta$  funksiyaning ham sekinlik shartini keltirib chiqarish mumkin.

Tebranishning oniy chastotasi fazaning o‘zgarish tezligiga teng ekan, u holda (6.1) ifodaning argumentini differensiallab, quyidagini topamiz:

$$\omega(t) = \frac{dy(t)}{dt} = \omega_0 + \frac{d\Theta}{dt}$$

$d\theta/dt$  hosila chastota  $\omega_0(t)$  ning chastota  $\omega_0$  ga nisbatan farqining o‘zgarishini aniqlaydi. Bu farq juda tez yoki sekin bo‘lishi mumkin. Tebranish  $a(t)$  ni garmonik tebranishga yaqin deb hisoblash uchun, vaqtning ko‘rilayotgan har qanday momentida,  $\omega_0$  chastotani  $T$  vaqt ichida o‘zgarishi chastota  $\omega(t)$  ga nisbatan juda kam bo‘lishi kerak.

Shunday qilib, funksiya  $\theta(t)$  ni sekinlik shartini quyidagi tengsizlik ko‘rinishida yozish mumkin:

$$\left| \frac{d}{dt} \left( \frac{d\Theta}{dt} \right) \right| T \ll 1 \quad \text{yoki} \quad \left| \frac{d^2\Theta}{dt^2} \right| \ll \frac{\omega(t)}{T}$$

Odatda  $\omega(t)$  chastota  $\omega_0$  dan juda kam farq qiladi, shuning uchun quyidagini qabul qilish mumkin:

$$T \approx 2\pi/\omega_0$$

va quyidagi shartga asoslanmoq kerak:

$$\left| \frac{d^2\Theta}{dt^2} \right| \ll \frac{1}{2\pi} \omega_0^2 \quad (6.3)$$

Radiotexnikada ishlataladigan juda ko‘p signallarga (6.2) va (6.3) tengsizligi odatda bajariladi.

Bu shuni bildiradiki, Modulyatsiyaning har qanday turida radiosignal parametrlari: amplituda, faza yoki chastota shunchalik sekin o‘zgaradiki, bir davr  $T_0$  oralig‘ida tebranishni garmonik deb qarash mumkin.

## **6.2. Amplituda bo‘yicha Modulyatsiyalangan (AM) radiosignallar.**

### **AM-tebranish spektri. AM-tebranishning vektor tasavvuri va uning spektral zichligi**

Tashuvchi sifatida yuqori chastotali garmonik tebranuvchi signalni olamiz (6.1,a-rasm):

$$U_t(t) = U_\omega \cos \omega_0 t. \quad (6.4)$$

Modulyatsiyalovchi signalning chastotasi  $\Omega$  ga teng garmonik tebranuvchi signal deb hisoblaymiz (6.1,b-rasm):

$$U_m(t) = U_\Omega \cos \Omega t. \quad (6.5)$$

Odatda  $\omega_0 \gg \Omega$  tanlanadi. (6.4) tashuvchining amplitudasi  $U_\omega$  Modulyatsiyalovchi  $U_\Omega$  signal amplitudasiga mos ravishda o‘zgaradi:

$$U_{AM}(t) = [U_\omega + k U_\Omega \cos \Omega t] \cdot \cos \omega_0 t, \quad (6.6)$$

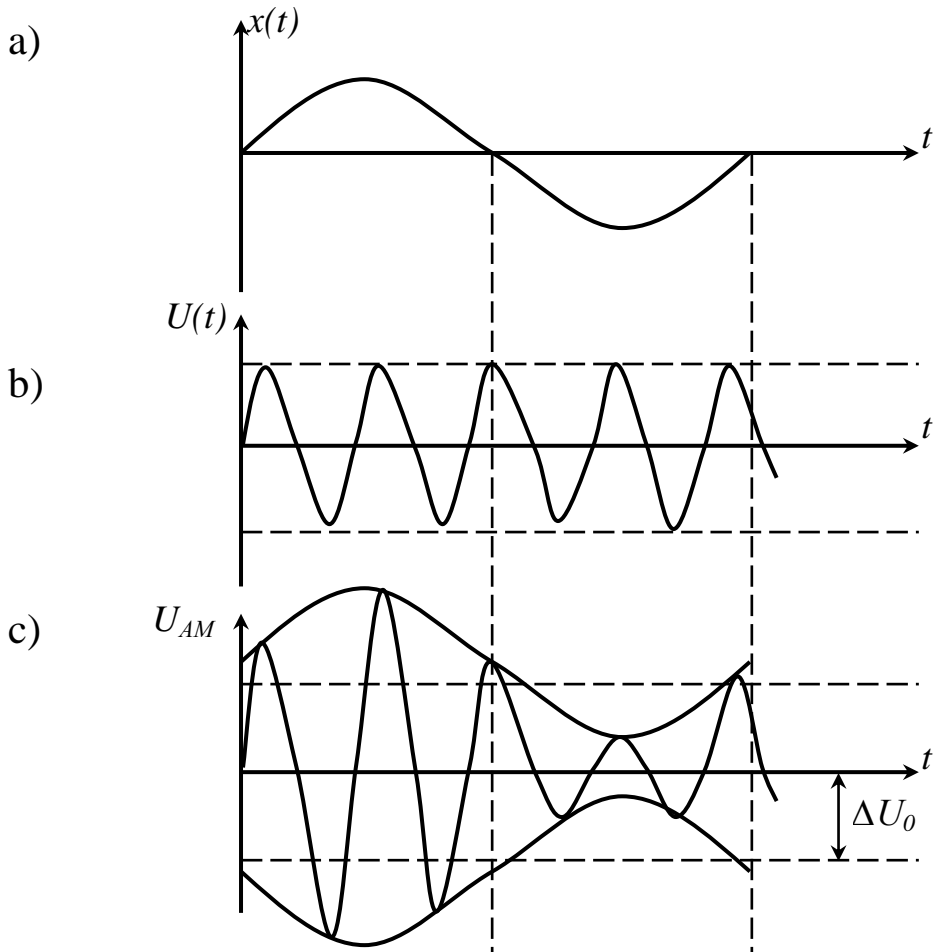
bu yerda,  $k$  – proporsionallik koeffitsiyenti bo‘lib, Modulyatsiyalovchi signal amplitudasi o‘zgarishini tashuvchi  $U_\omega$  amplitudasi o‘zgarishi  $\Delta U_\omega$  bilan bog‘laydi, ya’ni  $\Delta U_\omega = k U_m$ .

(6.6) ifodani quyidagi shaklga keltiramiz (6.1,c-rasm):

$$U_{AM}(t) = U_\omega \left[ 1 + \frac{\Delta U_\omega}{U_\omega} \cos \Omega t \right] \cos \omega_0 t, \quad (6.7)$$

bu yerda  $\Delta U_\omega / U_\omega = m$  deb belgilasak, (6.7) ifodani quyidagicha o‘zgartiramiz:

$$U_{AM}(t) = U_\omega [1 + m \cos \Omega t] \cdot \cos \omega_0 t. \quad (6.8)$$



6.1-rasm. Amplitudasi modulatsiyalangan signalni hosil qilish.

(6.8) bir ton  $\Omega$  bilan Modulyatsiyalangan amplitudasi Modulyatsiyalangan signalning analitik (matematik) ifodasi hisoblanadi.

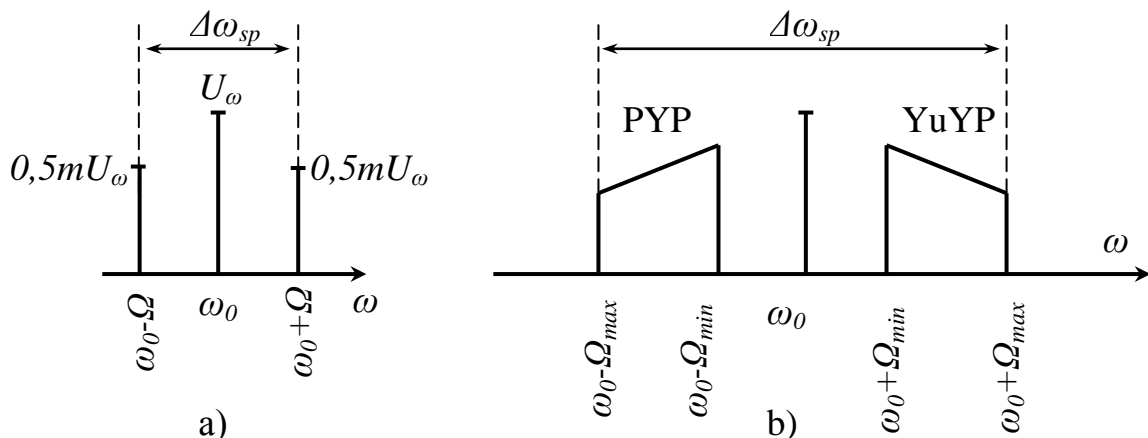
(6.8) ifodada  $m$  – Modulyatsiya koeffitsiyenti, odatda u modulatsiya chuqurligi deb ataladi. Uning qiymati Modulyatsiyalovchi signal shakli qabul qilish qurilmasi chiqishida buzilmasdan aks ettirilishi uchun  $0 \div 1$  oralig‘ida o‘zgarishi kerak, ya’ni  $m = 0 \div 1$ . Texnik foydalanishda u foizlarda baholanadi, ya’ni  $m = 0 \div 1 \cdot 100\%$ . Agar  $m > 1$

bo'lsa, bunday Modulyatsiya ortiqcha Modulyatsiyaga olib keladi va yuqoridagi holatga olib keladi.

(6.8) ifodadagi AM signal spektral tashkil etuvchilarini aniqlash uchun qavsni ochamiz va  $\cos\alpha \cdot \cos\beta$  trigonometrik ifodani yoyishdan foydalanamiz, natijada quyidagi ifodani olamiz:

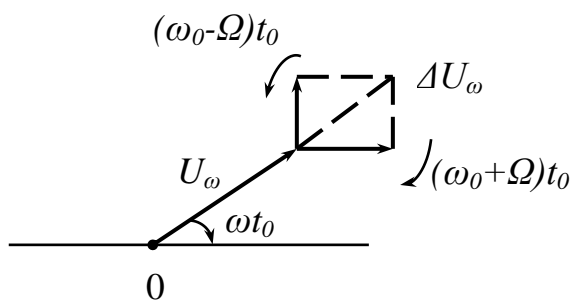
$$U_{AM}(t) = U_\omega \cos \omega_0 t + 0,5mU_\omega \cos(\omega_0 + \Omega)t + 0,5mU_\omega \cos(\omega_0 - \Omega)t \quad (6.9)$$

Bir ton  $\Omega$  bilan Modulyatsiyalangan AM signal uchta tashkil etuvchidan iborat: tashuvchi chastota –  $\omega_0$ ;  $(\omega_0 + \Omega)$  va  $(\omega_0 - \Omega)$  chastotalar (6.2,a-rasm). Bir ton  $\Omega$  bilan Modulyatsiyalangan AM signal spektri kengligi  $\Delta\omega_{sk} = 2\Omega_{max}$  (6.2,b-rasm).



6.2-rasm. Amplitudasi modulatsiyalangan signal spektri.

AM signal vektor diagrammasi 6.3-rasmida keltirilgan.



6.3-rasm. AM signal vektor diagrammasi.

Tashuvchi spektri  $\Omega_{min} \div \Omega_{max}$  oralig‘ida joylashgan modulatsiyalovchi signal bilan Modulyatsiyalangan holatni ko‘rib chiqamiz. Bunda

$$U_m(t) = \sum_{k=1}^n U_k \cos k\omega t \quad (6.10)$$

bo‘ladi va natijaviy Modulyatsiya koeffitsiyenti:

$$U_m(t) = \sum_{k=1}^n m_k, \quad (6.11)$$

bu yerda  $m_k$  – Modulyatsiyalovchi signal  $k$ -spektr tashkil etuvchisi ta’sirida Modulyatsiya koeffitsiyentining o‘zgarishi. Avval eslatib o‘tganimizdek, natijaviy Modulyatsiya chuqurligi  $M < 1$  bo‘lishi kerak. (6.10) Modulyatsiyalangan AM signalni quyidagicha ifodalash mumkin:

$$U_m(t) = U_m \left[ 1 + M \sum_{k=1}^n \cos \Omega_k t \right] \cdot \cos \omega_0 t. \quad (6.12)$$

Murakkab sig‘im bilan Modulyatsiyalangan AM signal spektri 6.2,b-rasmda keltirilgan. U tashuvchidan va yuqori yon polosa (YuYP) va past yon polosa (PYP) spektrlaridan iborat bo‘lib, spektr kengligi  $\Delta\omega_{sk} = 2\Omega_{max}$  ga teng.

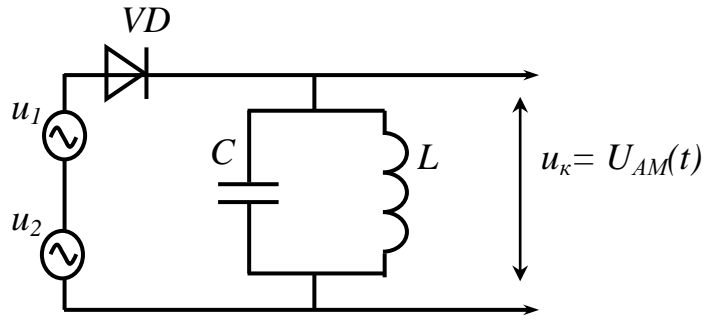
### 6.3. AM signallarni olish usullari

AM signallar odatda yarim o‘tkazgich diod, tranzistor yoki elektron lampalardan nochiziqli element (NE) sifatida foydalanish orqali olinadi.

**Bir takhti diodli AM modulator.** Bir takhti diodli AM modulator sxemasi 6.4-rasmda kelitirilgan.

Diod VAX sini ikkinchi darajali polinom bilan approksimatsiya qilamiz, ya’ni

$$i = a_0 + a_1 U + a_2 U^2, \quad (6.13)$$



6.4-rasm. Bir taktli diodli AM modulator.

unga tashuvchi  $U_1(t)=U_\omega \cos\omega_0 t$  va Modulyatsiyalovchi  $U_2(t)=U_\Omega \cos\Omega t$  signallar yig‘indisi  $U=U_1+U_2$  ta’sir qiladi. Dioddan o‘tayotgan tokni aniqlaymiz

$$i=a_0+a_1U_\omega \cos\omega_0 t+a_1U_\Omega \cos\Omega t+0,5a_2U_\omega^2+0,5a_2U_\Omega^2+ \\ +2a_2U_\omega U_\Omega \cos\Omega t \cos\omega_0 t. \quad (6.14)$$

Buni umumiyl tok spektridan  $\omega_0$ ,  $\omega_0+\Omega$  va  $\omega_0-\Omega$  chastotali tebranishlarni parallel kontur yordamida ajratib olamiz. Parallel kontur o‘tkazish polosasi AM signal spektriga mos bo‘lishi kerak. Parallel kontur yuklama vazifasini bajaradi, uning ekvivalent qarshiligini  $R_{oe}$  o‘tkazish polosasida doimiy deb hisoblab, undagi kuchlanish  $U_k(t)$  ni aniqlaymiz. Konturdagi kuchlanish  $U_k(t)=U_{AM}(t)$  bo‘lib, amplitudasi Modulyatsiyalangan bo‘ladi:

$$U_k=U_{AM}(t)=R_{oe}(a_1U_\omega \cos\omega_0 t+2a_2U_\omega U_\Omega \cos\Omega t \cos\omega_0 t) \quad (6.15)$$

(6.15) da  $a_1U_\omega \cos\omega_0 t$  ni qavs tashqarisiga chiqaramiz

$$U_{AM}(t)=a_1U_\omega R_{oe}(1+2a_2/a_1U_m \cos\Omega t) \cos\omega_0 t \quad (6.16)$$

$$(6.16) ifodada \quad 2a_2/a_1U_m=m, \quad (6.17)$$

deb belgilanib, quyidagini hosil qilamiz:

$$U_{AM}(t)=a_1U_\omega R_{oe}(1+m \cos\Omega t) \cos\omega_0 t \quad (6.18)$$

(6.17) ifoda (6.18) ifoda bilan  $a_1R_{oe}$  doimiy o‘zgarmas kattalikka farq qiladi.

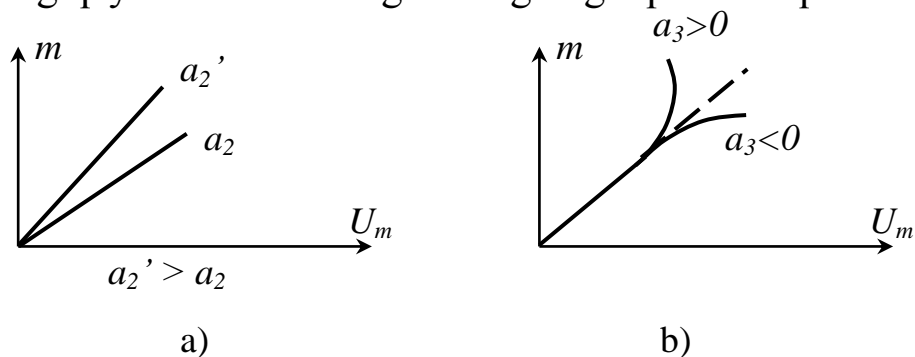
(6.17) ifodadan ko‘rinib turibdiki, Modulyatsiya koeffitsiyenti  $m$  Modulyatsiyalovchi signal amplitudasi  $U_m$  ga to‘g‘ri proporsional, ya’ni Modulyatsiya jarayoni buzilishlarsiz o‘tadi.  $U_m=const$  uchun  $m$  ning qiymati  $a_2$  koeffitsiyentga bog‘liq, u qancha katta bo‘lsa, ya’ni egrilish qancha katta bo‘lsa  $m$  shuncha katta bo‘ladi. Bu bog‘lanishlar grafigi 6.5-rasmda keltirilgan.

Agar  $U=U_1+U_2$  NE VAX sining ikkinchi darajali polinom bilan approksimatsiyalangan qismidan tashqariga chiqsa, u holda VAX ni uchinchi darajali polinom bilan approksimatsiyalanadi, natijada yana qo‘shimcha spektral tashkil etuvchilar paydo bo‘ladi. Ulardan ( $\omega_0\pm\Omega$ ) chastotali spektr tashkil etuvchilar parallel kontur-yuklama o‘tkazish polosasiga tushishi mumkin (agar  $\Omega_m \leq \Omega_{max}$  bo‘lsa), natijada buzilish paydo bo‘ladi, tashuvchi bir vaqtida  $\Omega_m$  va  $2\Omega_m$  bilan Modulyatsiyalangan bo‘ladi. Modulyatsiya koeffitsiyenti bu holda quyidagicha aniqlanadi:

$$m = 2 \frac{a_2}{a_1} U_m + 0,75 \frac{a_3}{a_1} U_m. \quad (6.19)$$

(6.18) ifoda grafiklari 6.5,b-rasmda keltirilgan.

**Tranzistorli amplituda modulyatori.** AM signallarni olishda tranzistorli modulatorlar Modulyatsiyalovchi signal aktiv elementlarning qaysi uchlari orasiga berilganiga qarab farqlanadi.



6.5-rasm. Koeffitsientlarning bog‘liqlik grafiklari.

1. Tashuvchi signal  $U_\omega$  va Modulyatsiyalovchi signal -  $U_m$  bipolyar tranzistorning baza-emitter oralig‘iga berilgan bo‘lsa, baza Modulyatsiyasi deb ataladi.

2. Tashuvchi signal  $U_\omega$  baza-emitter oralig‘iga va Modulyatsiyalovchi signal  $U_m$  kollektor-emitter oralig‘iga berilgan bo‘lsa, kollektor Modulyatsiyasi deb ataldi.
3. Tashuvchi signal  $U_\omega$  baza-emitter oralig‘iga, Modulyatsiyalovchi signal bir vaqtning o‘zida baza-emitter va kollektor-emitter oralig‘iga berilsa, bunday modulator murakkab Modulyatsiya turi hisoblanadi.

Maydon tranzistorlari va elektron lampalardagi modulatorlar ham yuqoridagilarga o‘xhash nomlanadi. Masalan: zatvor orqali Modulyatsiya, stok orqali Modulyatsiya, boshqarish turi orqali Modulyatsiya va anod orqali modulyastiya.

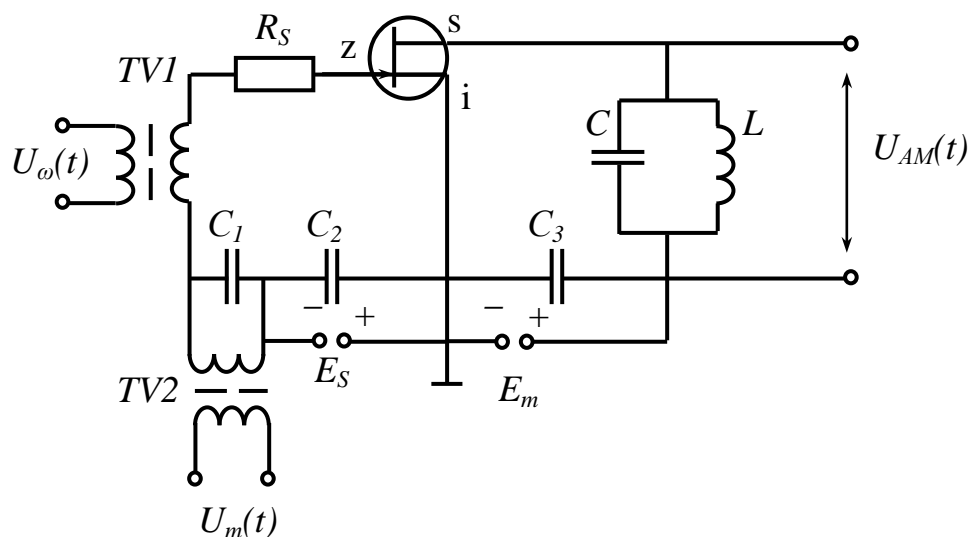
Misol tariqasida maydon tranzistoridan foydalanib AM signal olish jarayoni bilan tanishamiz. Maydon tranzistorli modulatorning nisbatan soddalashtirilgan elektr sxemasi 6.6-rasmda keltirilgan.

Tranzistor xarakteristikasini siniq chiziq bilan approksimatsiyalaymiz. Ish nuqta  $E_s$  – siljish kuchlanishi orqali  $A$  nuqtada o‘rnatilgan.  $t_1$  noldan boshlab  $U_m(t)$  kuchlanish  $E_s$  bilan birga

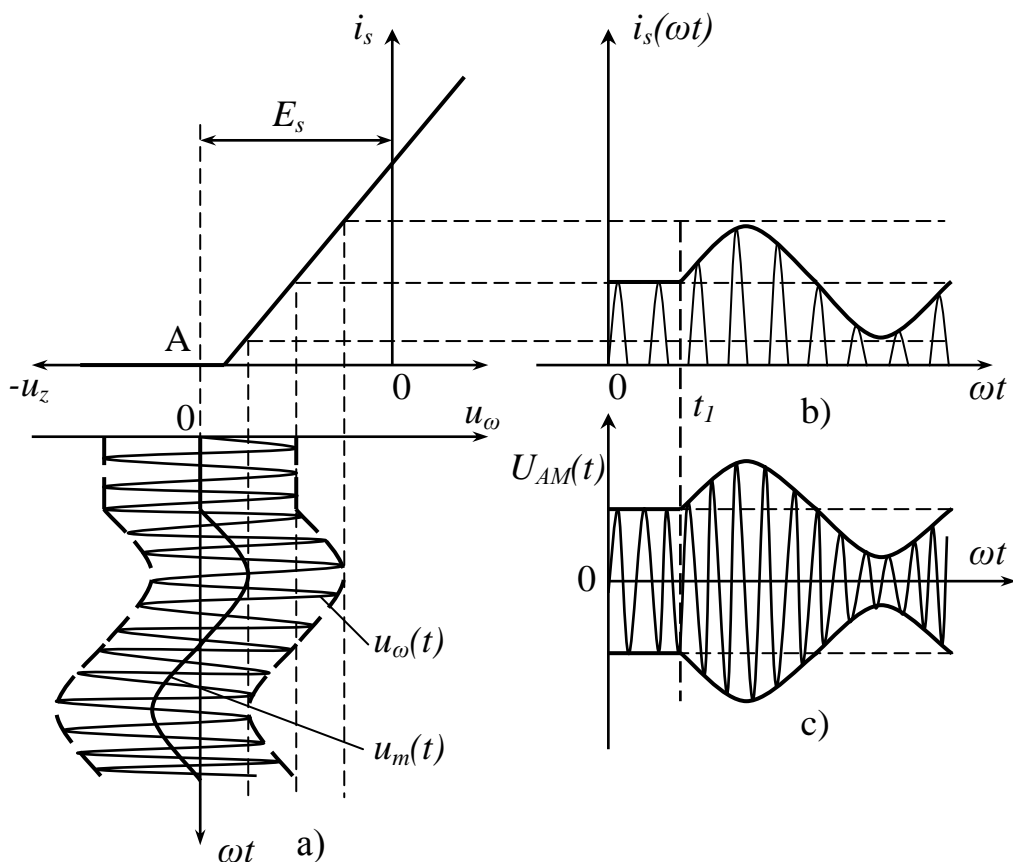
$$E_s^1(t) = E_s + U_m \cos nt \quad (6.20)$$

sekin o‘zgaruvchi sifatida zatvor-istok orlag‘iga berilib, tashuvchi  $U_\omega(t)$  ni siljib turuvchi ish nuqtasi  $A$  ning VAX bo‘yicha turli joylariga berilishini ta’minlaydi. Shuning uchun bunday turdagи Modulyatsiya – siljish Modulyatsiyasi deb ataldi.  $U_\omega(t)$  VAX ning turli nuqtalariga berilishi natijasida stok toki impulslarining balandligi  $I_{max}$  o‘zgaradi. Bu tok bir qator spektral tashkil etuvchilarga ega bo‘ladi, shu jumladan  $\omega_0$ ,  $\omega_0 + \Omega_m$  va  $\omega_0 - \Omega_m$  chastotali tashkil etuvchilarga. Tokning bu tashkil etuvchilari yuklama-parallel konturda kuchlanish hosil qiladi, bu kuchlanish amplitudasining o‘zgarishi Modulyatsiyalovchi  $U_m(t)$  kuchlanish o‘zgarishiga mos keladi (6.7,c-rasm).

Modulatorlarning ish rejimi va Modulyatsiyalash sifati uning statik modulatsion xarakteristikasi orqali baholanadi. Ko‘rilgan siljish orqali Modulyatsiya modulatorining statik Modulyatsiyalash xarakteristikasi deb, stok toki birinchi garmonikasi  $I_{cl}$  ning siljish



6.6-rasm. Maydon tranzistorli AM modulator.

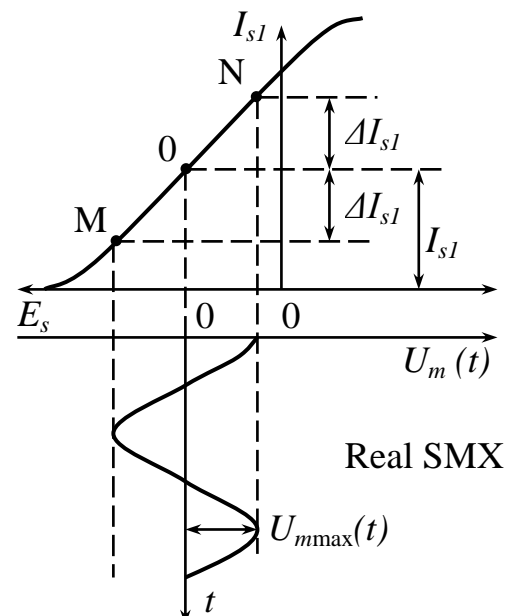
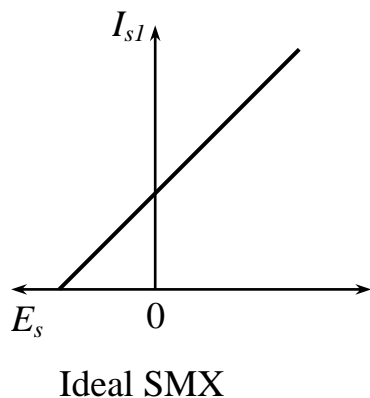


6.7-rasm. Maydon tranzistorli modulatorning VA xarakteristikasi.

kuchlanishi  $E_s$  ga bog'liqlik o'zgarishiga aytildi. Bu xarakteristikani o'lchashda va hisoblab chiqishda  $U_m=const$ ,  $E_{em}=const$  bo'lishi kerak. 6.8-rasmda siljish modulatori modulatsion

xarakteristikasi keltirilgan. Bu xarakteristikadan quyidagilarni aniqlash mumkin:

1. Modulatsion xarakteristikaning chiziqli qismi MN ni, bu oraliqda  $I_{cI}(T_c)$  deyarli chiziqli bog'lanishda bo'ladi;
2. Statik modulatsion xarakteristika (SMX) ning MN qismi o'rtasidan absissa o'qiga perpendikulyar (tik) tushirib, ish nuqtasi SMX ning o'rtasida bo'lishini ta'minlovchi siljish kuchlanishi  $E_s$  qiymatini aniqlaymiz;
3. M va N nuqtalaridan tik chiziq tushiramiz, ular absissa o'qi bilan kesishgan nuqta va  $E^1_s$  kattalik orasidagi kuchlanish farqini aniqlaymiz. U modulatorga berish mumkin bo'lgan Modulyatsiyalovchi signal amplitudasiga teng bo'ladi;
4. SMX ning MN qismidan foydalanilganda erishishligi mumkin bo'lgan Modulyatsiya maksimal koeffitsiyenti  $m_{max}$  aniqlanadi,  $m_{max} = \frac{\Delta I_{s1}}{I_{s1}}$ ;
5. SMX dan 3 va 5 ordinatalar usulidan foydalanib, Modulyatsiyada yo'l qo'yilgan nochiziqli buzilish koeffitsiyentini hisoblash mumkin.



6.8-rasm. Ideal va real SMX.

Tashuvchili, ikki yon polosali AM signal bir qator kamchiliklarga ega bo‘lgani uchun odatda uning quyidagi turlaridan ham foydalilaniladi:

- ikki polosali tashuvchisiz AM signal;
- bir yon polosali tashuvchisi bor AM signal;
- bir yoki ikki yon polosali tashuvchisi sathi kamaytirilgan AM signal;
- bir yoki ikki polosali tashuvchisi o‘rniga nisbatan past sathli pilot signal qo‘shilgan AM signal.

#### **6.4. Chastotasi va fazasi Modulyatsiyalangan signallar**

Tebranish chastotasi oniy qiymati va oniy fazasi bir-biri bilan matematik jihatdan hosila va integral bilan bog‘langan. Bu kattaliklardan birining o‘zgarishi ikkinchisining unga bog‘liq o‘zgarishiga olib keladi, ya’ni:

$$\omega(t) = \frac{d\varphi}{dt} \text{ va } \Psi(t) = \int_0^t \omega(t) dt + \varphi_0 \quad (6.21)$$

Shuning uchun ular chastotasi va fazasi Modulyatsiyalangan signallar deb ataladi. Quyida shu ikki tur Modulyatsiyani batafsil ko‘rib chiqamiz.

Faza Modulyatsiyasi natijasida yuqori chastotali tashuvchi

$$U_\omega(t) = U_\omega \cos(\omega_0 + \varphi_0) t \quad (6.22)$$

ning fazasi Modulyatsiyalovchi  $U_m(t)$  qonuni bo‘yicha o‘zgaradi, ya’ni,

$$\varphi(t) = \varphi_0 + a U_m(t) \quad (6.23)$$

bu yerda  $a$  - proporsionallik koeffitsiyenti. Burchak Modulyatsiyasida tashuvchining amplitudasi o‘zgarmaydi, ya’ni,  $U_\omega = \text{const}$ , shuning uchun FM tebranishni quyidagicha ifodalash mumkin

$$U_{FM}(t) = U_\omega \cos[\omega_0 t + \varphi_0 + a U_m(t)] \quad (6.24)$$

Agar Modulyatsiya past chastotali garmonik signal

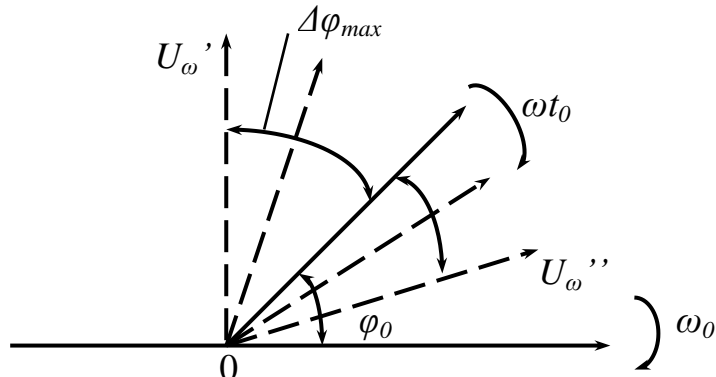
$$U_m(t) = U_m \sin \Omega t \quad (6.25)$$

ta'sirida amalga oshirilsa, FM signalning fazasi oniy qiymati quyidagi teng bo'ladi:

$$\Psi(t) = \omega_0 t + \varphi_0 + a U_m \sin \Omega t \quad (6.26)$$

(6.26) ifodada birinchi va ikkinchi tashkil etuvchisi Modulyatsiyalangan signal fazasiga teng, uchinchisi fazaning Modulyatsiya natijasida o'zgarishi 6.9-rasmida FM signal vektor diagrammasi yordamida tushuntirilgan.

Bunda tashuvchi vektori soat strelkasi bo'yicha harakatlanib  $t_0$  onda rasmdagi  $U_{\omega}^*$  holatini egallasin. Faza Modulyatsiyasi ushbu vektor  $U_{\omega}^*$  – ni o'zining dastlabki holatidan  $\Delta\varphi = a U_m \sin \Omega t$  qonuni bo'yicha o'ngga va chapga og'ishini anglatadi. Tashuvchining eng chekka holati  $U_{\omega}'$  va  $U_{\omega}''$  bilan belgilangan.



6.9-rasm. FM signal vektor diagrammasi.

Modulyatsiyalangan tebranish fazasining Modulyatsiyalanmagan tebranish fazasidan bir tomonga maksial siljishi faza Modulyatsiyasi indeksi deb ataladi. Modulyatsiya indeksi Modulyatsiyalovchi signal amplitudasiga bog'liq bo'lib, uning o'zgarish chastotasiga bog'liq emas.  $\Delta\varphi_{max} = M_{FM} = a U_m$  ni e'tiborga olib (6.22) ifodani quyidagi ko'rinishga keltiramiz:

$$U_{FM}(t) = U_0 \cos[\omega_0 t + \varphi_0 + m \sin \Omega t] \quad (6.27)$$

FM signalning oniy chastotasi quyidagicha o‘zgaradi:

$$\omega(t)=\omega_0 t + m\Omega \cos \Omega t \quad (6.28)$$

Shunday qilib FM signal turli onlarda turlicha chastotaga ega bo‘ladi, uning tashuvchi chastotasidan farqi

$$\Delta\omega = m\Omega \cos \Omega t \quad (6.29)$$

bo‘lib, FM signalni ChM signal deb qarash mumkin.

Chastota maksimal qiymati  $\omega$  ning  $\omega_0$  dan farqi  $\Delta\omega_d$  chastota deviatsiyasi deb ataladi, ya’ni

$$\Delta\omega_d = m_{chm}\Omega \quad \text{yoki} \quad \Delta f_d = M_{chm}F \quad (6.30)$$

Chastota Modulyatsiyasini amalga oshirilganda tashuvchining chastotasi oniy qiymati Modulyatsiyalovchi signal  $U_m(t)$  ga mos ravishda o‘zgaradi, ya’ni,

$$\omega(t) = \omega_0 + a U_m(t) \quad (6.31)$$

bu yerda  $a$  – proporsionallik koeffitsiyenti. ChM signalning oniy fazasi:

$$\Psi(t) = \omega_0(t) + \varphi_0 + a \int_0^t U_m(t) dt \quad (6.32)$$

ChM signalning analitik ifodasi quyidagicha bo‘ladi:

$$U_{chm}(t) = U_0 \cos \left[ \omega_0 t + \varphi_0 + a \int_0^T U_m(t) dt \right] \quad (6.33)$$

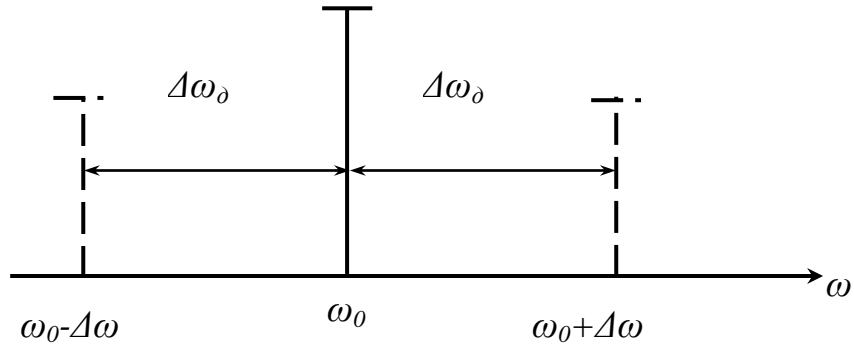
Agar  $U_m(t) = U_m \cos \Omega t$  bo‘lsa, u holda

$$\omega(t) = \omega_0 + \Delta\omega_d \cos \Omega t \quad (6.34)$$

bu yerda  $\Delta\omega_d$  – chastota deviatsiyasi, ya’ni tashuvchi chastotasi  $\omega_0$  ning bir tomonga maksimal oshishi yoki kamayishi (6.10-rasm).

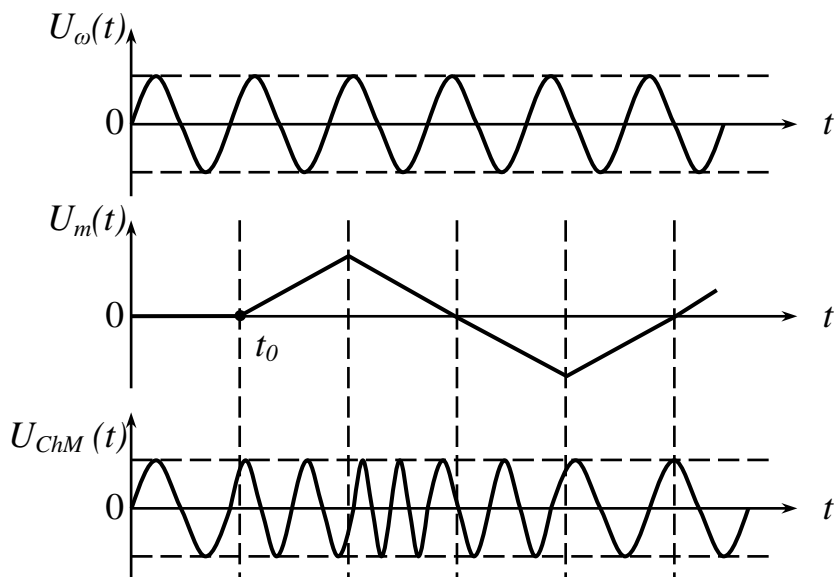
(6.34) ni e'tiborga olib (6.33) ni quyidagi shaklga keltiramiz:

$$U_{ChM}(t) = U_0 \cos \left[ \omega_0 + \varphi_0 + \frac{\Delta\omega_d}{\Omega} \sin \Omega t \right] \quad (6.35)$$



6.10-rasm. Chastota deviatsiyasi.

(6.35) – ChM signalni bir ton  $\Omega$  bilan Modulyatsiyalangandagi analitik ifodasi. Bunda  $\frac{\Delta\omega_d}{\Omega} \sin \Omega t$  ChM Modulyatsiya natijasida uning fazasi o'zgarishini ifodalaydi. Bu ChM signalning  $m = \frac{\Delta\omega_d}{\Omega}$  indeksi FM signal deb hisoblash mumkinligini bildiradi.



6.11-rasm. Chastotasi modulatsiyalangan signalni olish.

FM va ChM signallar bir qator umumiyl xususiyatlarga ega:

- ular bir xil amplitudali va chastotali  $U_m(t)$  bilan Modulyatsiyalangan vaqtda bir-biridan farqlanmaydi;
- har ikki signal ham Modulyatsiya indeksi bilan baholanadi.

FM va ChM signallarning bir-birlaridan farqlari quyidagilar:

- FM signal Modulyatsiya indeksi  $M_{FM}$  Modulyatsiya chastotasiga bog'liq emas, chastota deviatsiyasi Modulyatsiya chastotasiga bog'liq;
- ChM signal chastota deviatsiyasi, Modulyatsiyalovchi signal chastotasiga bog'liq emas, Modulyatsiya indeksi Modulyatsiya chastotasiga teskari proposional.

ChM va FM signallarning farqi Modulyatsiyalovchi signal murakkab bo'lgan holda yaqqol seziladi.

ChM va FM signallarning o'rtacha qiymati sezilarli o'zgarmaydi:

$$P_{o'r} \frac{1}{T} \int_0^T \frac{U^2(t)}{R} dt = \frac{1}{2} \frac{U^2 \omega}{R} \quad (6.36)$$

bu yerda  $T = \frac{2\pi}{\omega}$ .

ChM va FM signallar spektri nazariy jihatdan cheksiz keng. Ammo bu signallar uchun uning spektral tashkil etuvchilari quvvatining asosiy qismi joylashgan kengligini quyidagi taqrifiy ifodalar orqali aniqlash mumkin.

ChM signal spektrining kengligi:

$$\Delta\omega_{sp.ChM} = 2(M_{ChM} + 1)\Omega. \quad (6.37)$$

FM signal spektrining kengligi:

$$\Delta\omega_{sp.FM} = 2(M_{FM} + 1)\Omega \quad (6.38)$$

Agar ChM signal uchun  $M_{ChM} = \frac{\Delta\omega}{\Omega}$  va FM signal uchun  $M_{FM} = \Delta\varphi_{max}$  ekanligini e'tiborga olsak, ChM signal spektr kengligi  $\Delta\omega_{sp.ChM}$  Modulyatsiya chastotasi o'zgarsa ham o'zgarishsiz qoladi, FM signal spektri esa Modulyatsiya chastotasiga proporsional o'zgaradi.

FM signaldan uzluksiz signallarni uzatishda foydalanilmaydi, chunki ajratilgan chastotalar diapazonidan foydalanish samaradorligi juda past bo'ladi. FM signallardan o'zgarmas tezlikda diskret habarlarni uzatishda foydalaniladi, ya'ni fazasi manipulatsiyalangan signal shaklida foydalaniladi.

ChM signallardan UQT diapazonida radioeshittirishda va boshqa turdag'i aloqa tizimlarida keng foydalaniladi.

## **6.5. Chastotasi Modulyatsiyalangan signallarni olish**

Chastota Modulyatsiya natijasida yuqori chastotali tashuvchi

$$U_T(t) = U_\omega \cos(\omega_0 t + \varphi_0) \quad (6.39)$$

ning oniy chastotasi o'zgarishi kerak, bu o'zgarish  $\Delta\omega_D$  Modulyatsiyalovchi signal

$$U_m(t) = U_m \cos \Omega t \quad (6.40)$$

amplitudasiga proporsional bo'lishi kerak, ya'ni,

$$\omega(t) = \omega_0 + \Delta\omega = \omega_0 + k_{ChM} U_m(t) \quad (6.41)$$

Chastota modulatori ikki qismdan iborat bo'lishi kerak: birinchisi  $\omega_0$  chastotali tebranishlar generatori va ikkinchisi generatsiyalayotgan tebranish chastotasini Modulyatsiya signali orqali boshqaruvchi qism. Generator qurilmasi bilan qo'llanmaning oxirgi chismida tanishamiz. Hozircha generatorda uning tebranish chastotasini aniqlovchi rezonans  $LC$  parallel konturi bor deb hisoblaymiz.  $LC$  – kontur rezonans chastotasi  $\omega_0$  quyidagi teng:

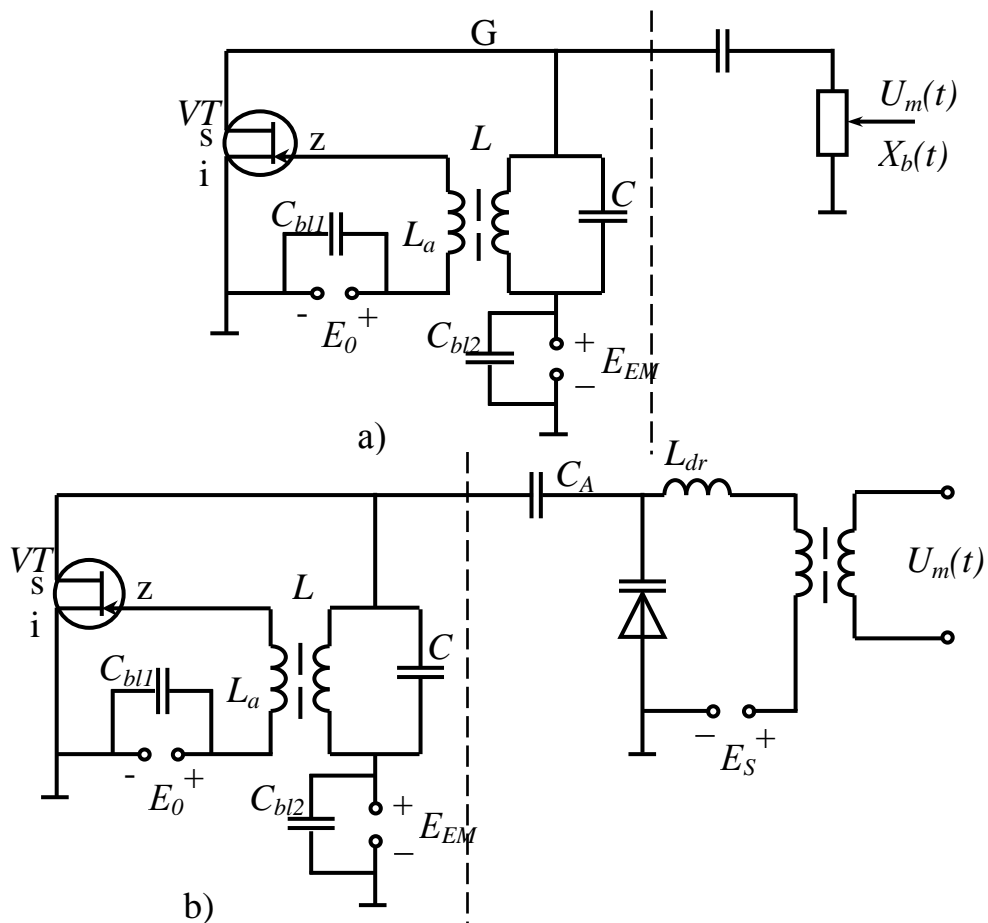
$$\omega_0 = 1/\sqrt{LC} \quad (6.42)$$

Demak, biz parallel kontur induktivligi  $L$  yoki sig‘imi  $C$  ni o‘zgartirib, uning rezonans chastotasi  $\omega_0$  ni o‘zgartirishimiz mumkin. Natijada generator chastotasi o‘zgaradi. Kontur parametrlarini turli usullar bilan o‘zgartirish mumkin, hamma holda ham boshqaruvchi element  $X_b(t)$  reaktiv element bo‘lib, u  $L$  yoki  $C$  ga ta’sir etishi kerak.

6.12,a-rasmida chastota modulatorining soddalashgan sxemasi va 6.12,b-rasmida boshqaruvchi elementi  $X_b(t)$  sifatida varikapdan foydalanilgan chastota modulatorining sxemasi keltirilgan.

$X_b(t)$  Modulyatsiyalovchi kuchlanish  $U_m(t)$  orqali boshqariladi. Varikap p-n o‘tishi sig‘imining unga qo‘yilgan kuchlanishga bog‘liqlik xarakteristikasi  $C=F(U)$  6.13-rasmida keltirilgan.

6.12-rasmida punktir chiziqdandan chap tomoni  $\omega_0$  chastotali tebranishlar generatori bo‘lib, unga varikap VD ajratuvchi kondensator  $C_A$  orqali ulangan.

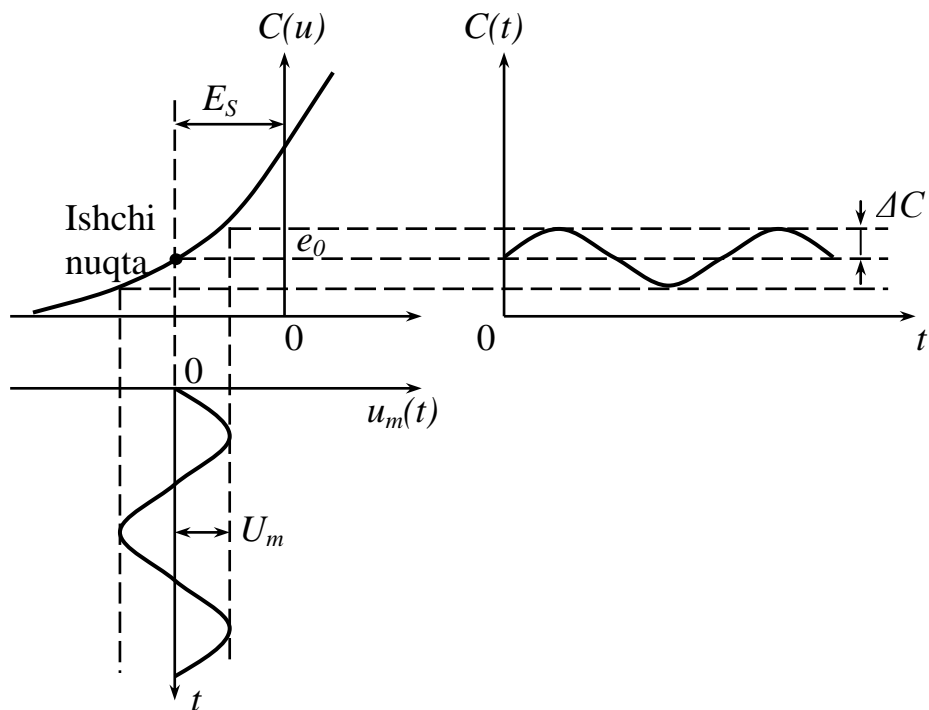


6.12-rasm. Chastota modulatorining soddalashtirilgan sxemalari.

Varikapning ekvivalent qarshiligi har bir onda, uning doimiy qismi  $C_0$  va o‘zgaruvchan qismi  $\Delta C(t)$  dan iborat, ya’ni

$$C_d(t) = C_0 + \Delta C(t) \quad (6.43)$$

Varikapning volt-farada xarakteristikasi (6.13-rasm) da ish nuqtasi unga beriladigan siljish kuchlanishi –  $E_S$  orqali o‘rnataladi. Modulyatsiyalovchi kuchlanish  $U_m(t)$  tranformator TV va drossel  $L_{dr}$  orqali siljish kuchlanishi –  $E_S$  bilan birga varikapga beriladi. Bu kuchlanishlar ta’sirida varikap sig‘imi boshqariladi.



6.13-rasm. Varikapning volt-farada xarakteristikasi.

$C_A$  – kichik sig‘imli kondensator  $\omega$  chastotali yuqori chastota tebranishlar uchun qarshilik ko‘rsatmaydi, natijada varikap va  $LC$  kontur bir-biriga parallel ulanadi. Ikkinchchi tomondan  $C_A$  kondensatori Modulyatsiyalovchi  $U_m(t)$  ni parallel konturga o‘tkazmaydi. Bundan tashqari  $C_A$  siljish kuchlanishi manbasi  $E_S$  ni  $L$ -induktivlik orqali o‘tishiga yo‘l qo‘ymaydi. Drossel  $L_{dr}$  parallel  $LC$ -konturni yuqori chastotada tranformator TV va  $E_S$  - manba ichki qarshiligi bilan shuntlanishini bartaraf qiladi.

Varikapga kichik sathli Modulyatsiyalovchi kuchlanish  $U_m(t)$  ta'sirida uning sig'imi  $C_d(t)$  Modulyatsiyalovchi kuchlanishga proporsional o'zgaradi (6.13-rasm). Buning natijasida generatsiya chastotasi o'zgaradi, u quyidagi ifoda orqali aniqlanadi:

$$\omega(t) = \frac{1}{\sqrt{L(C + C_d(t))}} \quad (6.44)$$

yoki

$$\omega(t) = \frac{1}{\sqrt{L(C + C_0 + \Delta C(t))}} \quad (6.45)$$

Varikap boshlang'ich sigimi  $C_0$  va parallel kontur kondensatori  $C$  sig'imi birgalikda tashuvchi  $\omega_0$  chastotasini belgilaydi. Demak,  $C'_0 = C + C_0$  deb olsak, tashuvchi chastotasi  $\omega_0 = \frac{1}{\sqrt{LC'}}$  bo'ladi va (6.45) quyidagi ko'rinishni oladi:

$$\omega = \frac{\omega_0}{\sqrt{1 + \frac{\Delta C}{C'_0}}} \quad (6.46)$$

Demak, parallel kontur sig'imining  $\Delta C$  ga o'zgarishi uning chastotasini  $\Delta\omega$  o'zgarishiga olib keladi, ya'ni,

$$\omega(t) = \omega_0 + \Delta\omega(t) \quad (6.47)$$

bo'ladi. Chastota o'zgarishi  $\Delta\omega$  sig'im o'zgarishi  $\Delta C$  ga proporsional bo'lishi uchun  $\Delta C/C'_0 \leq 0,1 \div 0,2$  bo'lishi kerak.

Boshqaruvchi reaktiv element sifatida reaktiv tranzistorlardan ham foydalaniladi.

Chastota modulatorining statik modulatsion xarakteristikasi (SMX) deb, chastota o'zgarishi  $\Delta\omega$  ni siljish kuchlanishi  $E_s$  ga bog'liqligiga aytildi, ya'ni  $\Delta\omega = \Phi(E_s)$ . Bunda  $U_m(t) = 0$  va generator

elektr manbalari kuchlanishi o‘zgarmas deb hisoblanadi. Ushbu SMX orqali modulatorning ish holati va Modulyatsiyalash sifati aniqlanadi.

## 6.6. Fazasi Modulyatsiyalangan signallarni olish (shakllantirish)

Faza Modulyatsiyasi natijasida yuqori chastotali tashuvchi fazasi Modulyatsiyalovchi kuchlanish  $U_m(t)$  ga proporsional o‘zgaradi, ya’ni,

$$\varphi(t) = \varphi_0 + kU_m(t) = \varphi_0 + \Delta\varphi(t) \quad (6.48)$$

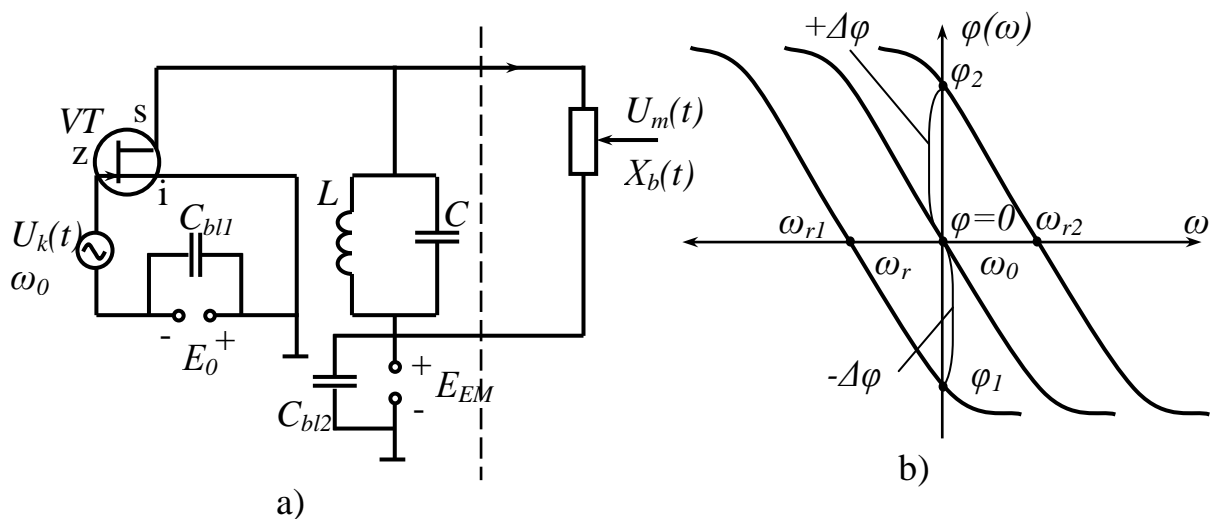
bu yerda  $k$  - Modulyatsiyalovchi kuchlanish  $U_m(t)$  ni faza o‘zgarishi  $\Delta\varphi(t)$  bilan bog‘lovchi koeffitsiyent. Modulyatsiya natijasida boshlang‘ich faza  $\varphi_0$ ,  $\Delta\varphi$  ga o‘zgaradi.

Faza va chastota modulatorlari bir-biriga bog‘liqligiga qaramasdan, ular turlicha shakllantiriladi. Agar ChM da Modulyatsiyalovchi kuchlanish  $U_m(t)$  ta’sirida uning chastotasi o‘zgarsa, FM da esa uning chastotasi o‘zgarmasdan fazasi  $U_m(t)$  ga proporsional o‘zgarishi kerak. Shuning uchun FM modulatorning birinchi qismi generator emas, rezonans kuchaytirgich bo‘lishi kerak. Rezonans kuchaytirgichning yuklamasi – parallel *LC* kontur FM da asosiy o‘rinni egallaydi. 6.14,a-rasmida FM soddalashgan sxemasi va 6.14,b-rasmida parallel kontur faza-chastota xarakteristikalarini  $\varphi(\omega)$  keltirilgan. 6.14,a-rasmida  $X_b(t)$ - boshqaruvchi reaktiv element. Reaktiv element sifatida varikapdan foydalanish mumkin. U holda 6.14,a-rasmidagi sxemaning punktir chiziqdandan o‘ng tomon qismini 6.12,b-rasm o‘ng tomoni bilan almashtirish mumkin.  $X_b(t)$ -umumiyligi holda bu parametrik element ekvivalent sig‘imi yoki induktivligi Modulyatsiyalovchi kuchlanish  $U_m(t)$  ga mos o‘zgaradi deb hisoblash mumkin.

FM modulator ishlash jarayonini faza-chastota xarakteristikalarini yordamida ko‘rib chiqamiz. Agar kontur tashuvchi signal chastotasi  $\omega_0$  ga sozlangan bo‘lsa, uning qarshiligi aktiv bo‘ladi va u orqali o‘tayotgan tok birinchi garmonikasi  $I_1$  unda  $U_k$  kuchlanish, chiqish kuchlanishi  $U_{ch}$  ni keltirib chiqaradi.  $I_1$  tok fazasi  $U_k$  kuchlanish fazasiga mos keladi. Shuning uchun  $\varphi(\omega)$  xarakteristika  $\omega_0$  nuqtadan

o‘tadi (6.14,b-rasm). Agar  $U_m(t)$  ta’sirida  $X_b(t)$  o‘zgarib  $LC$  kontur rezonans chastotasi  $\omega_r$  kamaysa, bu kontur tashuvchi chastotasi  $\omega_0$  ga teng bo‘lmaydi. Natijada  $\varphi(\omega)$  xarakteristika chagpa suriladi va chastotalar o‘qini  $\omega_{r1}$  chastotada kesib o‘tadi. Bu tok  $I_1$  fazasi konturdagi kuchlanish  $U_k$  fazasidan  $\Delta\varphi_1$  ga kech qolishiga olib keladi. Parallel kontur rezonans chastotasi  $\omega_r$  ko‘paysa,  $U_k$  kuchlanish tok  $I_1$  dan  $\Delta\varphi_2$  fazaga kech qoladi. Kontur  $\varphi(\omega)$  xarakteristikasi o‘ng tomonga suriladi,  $\omega_{p2} > \omega_0$  bo‘ladi. Shunday qilib,  $U_m(t)$  ta’sirida  $X_b(t)$  reaktiv qarshiligi o‘zgaradi, kontur rezonans chastotasi  $\omega_r$  tashuvchi chastota  $\omega_0$  ga nisbatan o‘zgarib turadi, natijada chiqish kuchlanishi  $U_k$  fazasi  $I_1$  tok fazasiga nisbatan  $\pm\Delta\varphi$  ga o‘zgarib turadi.

Kuchaytirgich chiqishidagi tok birinchi garmonikasi  $I_1$  uning kirishidagi chastotasi  $\omega_0$  bo‘lgan kirish kuchlanishi  $U_k$  fazasiga mos keladi. Tashuvchi kirish kuchlanishi  $U_k(t)$  alohida generatorda shakllantirilib kuchaytirish qurilmasiga beriladi. Chiqish kuchlanishi  $U_{ch}$  fazasi kirish signali  $U_k$  fazasiga nisbatan Modulyatsiyalovchi kuchlanish  $U_m(t)$  ga mos ravishda o‘zgarib boradi.



6.14-rasm. FM modulator sxemasi (a) va uning faza-chastota xarakteirstikasi (b).

Signalning fazasi va chastotasi o‘zaro bog‘liqligi uchun FM signalni chastota modulatori yordamida va ChM signalni faza modulatori yordamida olish mumkin.

## 7. Analitik signal. Analitik signalning spektral zichligi va korrelyatsion funksiyasi

### 7.1. Signallarni kompleks ko‘rinishda tasvirlash

Nazariy tadqiqotlarda qo‘llaniladigan signallarni kompleks tasvirlash usullaridan bittasini ko‘rib chiqaylik.

Bu usulning ijobiy xususiyatlariga shu kiradiki, u kompleks og‘uvchi usuliga xos bo‘lgan noaniqlik darajasiz signal og‘uvchisi tushunchasini kiritishga imkon beradi.

Misol uchun, past chastotali kompleks funksiya quyidagicha ifodalanadi:

$$\tilde{U}_S(t) = A_S(t) + jB_S(t)$$

Bu funksiya past chastotali signalning vektor ko‘rinishi hisoblanadi (7.1-rasm) va tor polosali signalning kompleks og‘uvchisi deyiladi.

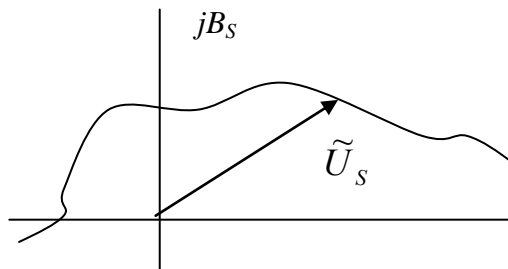
Bu aniqlashtirishni quyidagicha tekshirish mumkin:

$$s(t) = A_S(t) \cos \omega_0 t - B_S(t) \sin \omega_0 t = \operatorname{Re} [\tilde{U}_S(t) e^{j\omega_0 t}], \quad (7.1)$$

Shunday qilib, tor polosali signalning kompleks og‘uvchisi bu – kompleks amplitudanining oddiy garmonik tebranishga nisbatidir.

Lekin kompleks og‘uvchi umumiy holda vaqtga bog‘liq,  $\tilde{U}_S(t)$  vektor kompleks tekislikda ma’lum bir harakatlanganida, ham moduli bo‘yicha ham yo‘nalishi bo‘yicha o‘zgarib boradi.

Shu sababli, bu mash‘ulotda kompleks signalni ikki funksiya yig‘indisi sifatida, ya’ni, haqiqiy  $a(t)$  funksiya va unga yondoshgan  $a_I(t)$  funksiyalarini ko‘rib chiqamiz.



7.1-rasm. Past chastotali kompleks funksiya.

## 7.2. Analitik signal

Elektrotexnikada garmonik tebranishni (kuchlanish, tok) chiziqli zanjirga ta'sirini tahlil qilishda uni quyidagi shaklda ko'rsatish qabul qilingan:

$$a(t) = A_0 \cos(\omega_0 t + \theta_0) = A_0 \operatorname{Re}[e^{i(\omega_0 t + \theta_0)}] = \operatorname{Re}[A_0 e^{i\omega_0 t}] \quad (7.2)$$

yoki

$$a(t) = A_0 \sin(\omega_0 t + \theta_0) = A_0 \operatorname{Im}[e^{i(\omega_0 t + \theta_0)}] = \operatorname{Im}[A_0 e^{i\omega_0 t}] \quad (7.3)$$

bu yerda  $A_0 = A_0 e^{iQ_0}$  - kompleks amplituda.

Ko'pincha Re yoki Im simvollarni tushirib qoldiriladi va oddiy yoziladi (haqiqiy yoki mavhum qismini e'tiborga olgan holda):

$$a(t) = A_0 e^{i(\omega_0 t + \theta_0)} = A_0 e^{i\omega_0 t}$$

Bunday tasavvur qilish kompleks o'zgaruvchi funksiyalar nazariyasi usullarining afzalliklarini ishlatishga imkon beradi. Shuningdek tahlil oxirida mavhum qismni tashlash yo'li bilan trigonometrik shaklga qaytish ko'zda tutiladi.

Zamonaviy radiotexnikada tebranislarni kompleks shaklda tasavvur qilish garmonik bo'limgan tebranislarga qo'llaniladi.

Agar fizik signal haqiqiy funksiya  $a(t)$  ko'rinishida berilgan bo'lsa, unga mos kompleks signal quyidagi ko'rinishga ega:

$$Z_a(t) = a(t) + i a_1(t) \quad (7.4)$$

bu yerda  $a_1(t)$  funksiya  $a(t)$  signalga Gilbert bo'yicha yondoshgan funksiya.

Eslatish lozimki, (7.3) ifodasida ham kompleks funksianing mavhum qismi haqiqiy qismiga Gilbert bo'yicha yondoshgan hisoblanadi.

Shu yo'l bilan aniqlangan kompleks signalning asosiy xususiyatlari shundan iboratki, uning spektral zichligi

$$Z_a(t) = S_a(\omega) + i S_{a_1}(\omega) \quad (7.5)$$

faqat musbat chastotalardan iborat.

Haqiqatda, (7.6) va (7.7) ifodalarga asosan,  $\omega > 0$  qiymatida

$$S_{a_1}(\omega) = -iS_a(\omega) \quad (7.6)$$

$\omega < 0$  qiymatida esa

$$S_{a_1}(\omega) = iS_a(\omega) \quad (7.7)$$

shuning uchun,

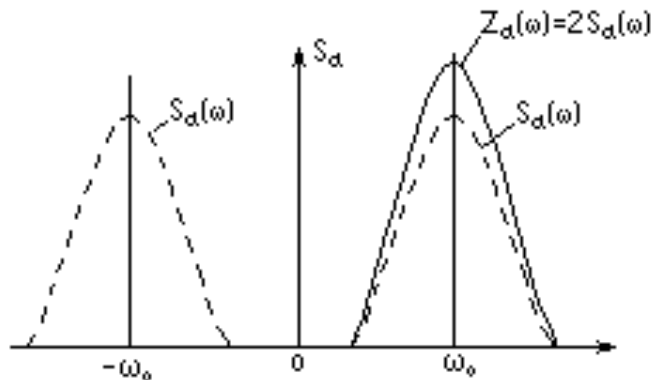
$$Z_a(\omega) = \begin{cases} 2S_a(\omega), & \omega > 0, \\ 0, & \omega < 0. \end{cases} \quad (7.8)$$

Shunday qilib, agar tor polosali signal  $a(t)$  va  $S_a(\omega)$  spektral zichlik mos kelsa, (7.3-rasmda shtrix chiziqlar bilan moduli tasvirlangan) u holda quyidagi signalga

$$Z_a(t) = a(t) + 2a_1(t)$$

spektral zichlik  $Z_a(\omega)$  mos keladi (7.3-rasmda tutash chiziqlar bilan moduli tasvirlangan).

$Z_a(t)$  signali uchun Furye integrali quyidagi ko‘rinishni oladi:



7.2-rasm. Fizik va analitik signallar spektrlari orasidagi munosabat.

$$Z_a(t) = \frac{1}{2\pi} \int_0^\infty Z_a(\omega) e^{i\omega t} d\omega = \frac{1}{2\pi} \int_0^\infty 2S_a(\omega) e^{i\omega t} d\omega \quad (7.9)$$

bu yerda  $S_a(\omega)$  - boshlang‘ich (fizik)  $a(t)$  signalining spektral zichligi.

(7.4) va (7.5) ifodalar yordamida aniqlanuvchi kompleks signal “Analitik signal” deyiladi.

“Analitik signal” terminining ma’nosи shundan iboratki, o‘zgaruvchi  $t=X+i_y$  ga o‘tishda, (7.9) ifoda asosidagi integral

$$\frac{1}{2\pi} \int_0^\infty 2S_a(\omega) e^{-\omega y} e^{i\omega x} d\omega$$

yordamida aniqlanadigan funksiya

$$Za(t)=Z_a(X+i_y),$$

har-bir  $y>0$  uchun analitik funksiya hisoblanadi.

Buni hisoblash uchun signal  $Za(X+i_y)$  ning energiyasini Parseval tengligi orqali aniqlaymiz:

$$\mathfrak{E}_z = \frac{1}{2\pi} \int_0^\infty [2S_a(\omega) e^{-\omega y}]^2 d\omega \leq 2 \mathfrak{E}_a$$

Ko‘rinib turganidek, ko‘paytuvchi  $Za(\omega)$  har qanday  $y>0$  uchun  $\omega>0$  da integral o‘xshashligini ta’minlaydi.

Boshqacha qilib aytganda, signaling analitikligiga sabab shuki,  $\omega<0$  mintaqada funksiya  $Za(t)$  ning spektral zichligi nolga teng.

$$a(t) = A(t) \cos[\omega_0 t + \theta(t)] = A(t) \cos \varphi(t)$$

fizik signal berilgan bo‘lsin, va unga mos analitik signal  $Za(t)$  ni aniqlash talab etilsin.

$$a(t) = A_0 \cos \omega_0 t \tag{7.10}$$

oddiy garmonik tebranishni

$$a(t) = A(t) \cos \omega t \tag{7.11}$$

shaklda keltirish mumkin, bu yerda  $\omega = \omega_0 + \Delta\omega$ .

(7.11) ifodada  $A(t)$  og‘uvchi  $A_0$  dan farqli vaqt funksiyasi hisoblanadi va uni berilgan  $a(t)$  funksiyani saqlash shartiga asosan quyidagicha aniqlash mumkin:

$$A_0 \cos \omega_0 t = A(t) \cos(\omega_0 + \Delta\omega)t ,$$

undan kelib chiqqan holda

$$A(t) = \frac{A_0 \cos \omega_0 t}{\cos(\omega_0 + \Delta\omega)t} = \frac{A_0}{\cos \Delta\omega t - \sin \Delta\omega t \cdot \operatorname{tg} \omega_0 t} .$$

Murakkablikni chetlab o‘tish uchun  $A(t)$  va  $\varphi(t)$  larni quyidagi nisbatlar orqali ko‘rsatish mumkin:

$$A(t) = \sqrt{a^2(t) + a_1^2(t)} , \quad \varphi(t) = \arctg[a_1(t)/a(t)] , \quad (7.12, 7.13)$$

bu yerda  $a_1(t)$  – yangi funksiya, u berilgan funksiya bilan quyidagi nisbatlar orqali bog‘langan:

$$a_1(t) = -\frac{1}{\pi} \int_{-\infty}^{\infty} \frac{a(\tau)}{\tau - t} d\tau , \quad a(t) = \frac{1}{\pi} \int_{-\infty}^{\infty} \frac{a_1(\tau)}{\tau - t} d\tau \quad (7.14, 7.15)$$

Bu nisbatlar Gilbert o‘zgartirishlari deyiladi,  $a_1(t)$  funksiya esa berilgan  $a(t)$  funksiyaga Gilbert bo‘yicha yondoshgan hisoblanadi.

Umumiy ifoda (7.14) dan kelib chiqqan holda  $a_1(t)$  yondoshgan funksiya uchun quyidagini yozish mumkin:

$$Z_a(t) = A(t) \cos \varphi(t) - \frac{i}{\pi} \int_{-\infty}^{\infty} \frac{A(\tau) \cos \varphi(\tau)}{\tau - t} dt$$

Murakkab funksiya  $A(\tau) \cos \varphi(\tau)$  uchun  $a_1(t)$  xatosiz aniqlash qiyin masala hisoblanadi. Buni cheklab o‘tish mumkin, agar boshlang‘ich (fizik)signal  $a(t)$  yetarli darajada tor polosali jarayon bo‘lsa.

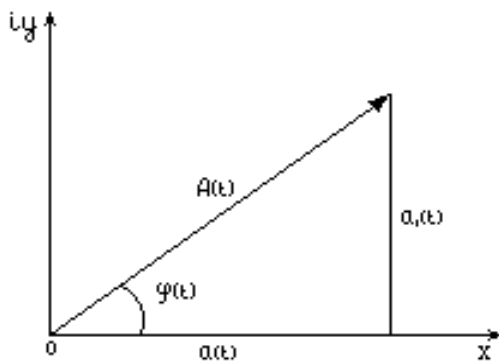
Bunday holatda quyidagini ko‘rsatish mumkin:

$$a_1(t) = A(t) \sin \varphi(t) = A(t) \sin[\omega_0 t + \theta(t) + \theta_0]$$

Shunday qilib, analitik signalni quyidagi ko‘rinishda yozish mumkin:

$$Z_a(t) = A(t) e^{i\varphi(t)} = A(t) e^{i[\omega_0 t + \theta(t) + \theta_0]} = A(t) e^{i\omega_0 t}$$

bu yerda  $A(t) = A(t) e^{i[\theta(t) + \theta_0]}$ - tor polosali signalning kompleks og‘uvchisi hisoblanadi.  $A(t)$ ,  $a(t)$  va  $a_1(t)$  funksiyalarining o‘zaro munosabatlari 7.3-rasmda vektor diagramma orqali ko‘rsatilgan



7.3-rasm. Analitik signal amplitudasi va  $a(t)$ ,  $a_1(t)$  funksiyalarining o‘zaro munosabati.

$A(t)$  ga teng bo‘lgan, kompleks og‘uvchining moduli  $|e^{i[\theta(t) + \theta_0]}| = 1$  funksiya  $\theta(t)$  ning har qanday o‘zgarish qonuni uchun faqat tebranishning amplituda bo‘yicha Modulyatsiyasi to‘g‘risidagi ma’lumotni o‘z ichiga oladi, faza ko‘paytuvchisi  $e^{i\theta(t)}$  esa faqat burchak Modulyatsiyasi bo‘yicha ma’lumotni o‘z ichiga oladi.

Umumiyl holda ko‘paytma  $A(t)e^{i\theta(t)}$  signal  $a(t)$  haqida to‘la ma’lumotni o‘z ichiga oladi (tashuvchi chastota  $\omega_0$  bunga kirmaydi, chunki u ma’lum deb faraz qilinadi).

Kompleks og‘uvchining bu xususiyati, tor polosali signallarni tahlil qilishda chastota  $\omega_0$  ni chiqarib tashlash imkonini beradi, hamda «analitik signal» tushunchasiga katta ahamiyat beradi.

Analitik signal va kompleks og‘uvchining asosiy xususiyatlarini ko‘rib chiqamiz.

Analitik signal  $Z_a(t)$  ni unga yondoshgan signal  $Z_a^*(t)$  ga ko‘paytmasi boshlang‘ich (fizik) signal  $a(t)$  og‘uvchisi kvadratiga teng:

$$Z_a(t)Z_a^*(t) = [a(t) + ia_1(t)][a(t) - ia_1(t)] = a^2(t) + a_1^2(t) = A^2(t) \quad (7.16)$$

Shunday qilib, analitik signal  $Z_a(t)$  ning moduli to‘g‘ridan-to‘g‘ri signal  $A(t)$  ning og‘uvchisiga teng.

Kompleks og‘uvchi  $A(t)$  ning spektral zichligi analitik signal  $Z_a(t)$  spektral zichligining  $\omega_0$  ga teng chapga surilgandagi qiymatiga mos keladi.

Bunday surilish natijasida quyidagi tebranish hosil bo‘ladi:

$$a_1(t) = A(t)\cos[\omega_0 + \theta(t) - 90^\circ] = A(t)\sin[\omega_0 t + \theta(t)],$$

va u  $a(t)$  funksiyaga Gilbert bo‘yicha yondoshgan bo‘ladi.

Bu ifodaga  $Z_a(t) = A(t)e^{i\omega_0 t}$  ni qo‘yib, quyida chiqishdagi signalni

$$Z_a(t) = A(t)e^{i\theta(t)}e^{i\omega_0 t} = A(t)e^{i\omega_0 t}$$

analitik signal deb qarash mumkin.

## **8. Tasodifiy signallarning asosiy xarakteristikalari. Tasodifiy jarayonlarning turlari**

### **8.1. Tasodifiy jarayonlarning xarakteristikalari**

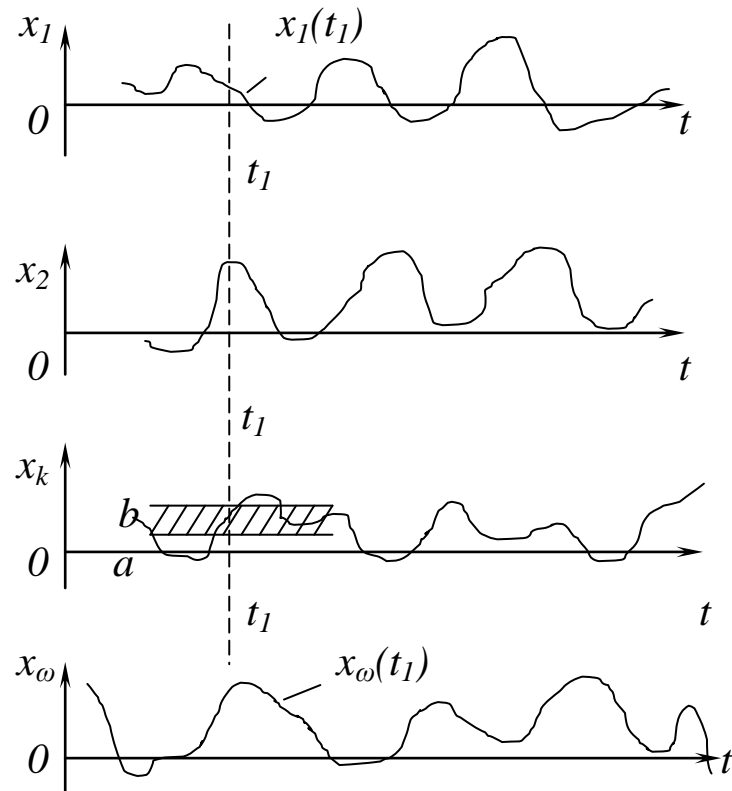
Signalni to qabul qilishga qadar ma’lum bir umumi statistik qonuniyatga bo‘ysinuvchi, vaqt funksiyasi hisoblangan to‘plam sifatida tasodifiy jarayon deb qabul qilish kerak.

Bu funksiyalardan biri, habar qabul qilinganidan so‘ng butkul aniq bo‘lganida tasodifiy jarayonning amalga oshirilishi (realizatsiyasi) deyiladi.

Endi bu realizatsiya tasodifiy qisoblanmaydi, balki vaqtning determinik funksiyasi (parametrlari ma’lum signal) hisoblanadi.

Tasodifiy jarayonning asosiy xarakteristikasi, aynan unga xos bo‘lgan, ehtimollikning bir o‘lchovli taqsimlanish qonuni hisoblanadi.

8.1-rasmda  $x(t)$  tasodifiy jarayonlarni hosil qiluvchi quyidagi  $x_1(t), x_2(t), \dots$ , funksiyalar to‘plami ko‘rsatilgan.



8.1-rasm. Tasodifiy jarayonni hosil qiluvchi funksiyalar to‘plami.

$t=t_1$  vaqt oralig‘ida ayrim funksiyalarni qabul qiluvchi qiymatlar quyidagi tasodifiy kattaliklar to‘plamini hosil qiladi:  $x_1(t), x_2(t), \dots$ .  $X_k(t)$  kattalik o‘lchashda berilgan qandaydir ( $a, b$ ) oralig‘iga tushadigan bo‘lsa, uning ehtimolligi quyidagi ifoda bilan aniqlanadi:

$$P_{t_1}(a < x \leq b) = \int_a^b p(x; t_1) dx \quad (8.1)$$

$p(x; t_1)$  funksiyasi  $x(t_1)$  tasodifiy kattalikning differensial taqsimlanish qonunini belgilaydi, bunda  $p(x; t_1)$  - ehtimollikning bir o‘lchovli zichligi;  $P_{t_1}$  - integral ehtimollik.

$p(x; t_1)$  funksiyasi ma’lum bir intervalda har qanday qiymatni qabul qiluvchi tur ma’nosini bildiradi.

$p(x; t_1)$  funksiyasining har qanday xarakterida quyidagi tenglik bajarilishi shart:

$$\int_{x_{\min}}^{x_{\max}} p(x; t_1) dx = 1 \quad (8.2)$$

bu yerda  $x_{\min}$  va  $x_{\max} = x(t)$  qiymatining ehtimol mumkin bo‘lgan chegaralari.

Agar  $x$  diskret turdagи tasodifiy kattalik bo‘lsa va diskret qiymatlarning aniq sonlaridan birini qabul qilsa, u holda (8.2) tenglikni quyidagi yig‘indi bilan almashtirish mumkin:

$$\sum_i P_i = 1 \quad (8.2')$$

bu yerda  $P_i = x_i$  kattalikka mos keluvchi ehtimollik.

$p(x; t_1)$  bir o‘lchovli ehtimollik zichligining berilishi,  $x$  kattalikni o‘zini ham, shuningdek har qanday  $f(x)$  funksiyasini ham statistik o‘rtacha qiymatini olishga imkon beradi.

Statistik o‘rta qiymatni olish deganda to‘plam bo‘yicha  $x$  ni jarayonning ma’lum bir «kesimida», ya’ni, vaqtning belgilab olingan momentida o‘rtalashtirish tushuniladi.

Amaliyotga tadbiq qilish uchun tasodifiy jarayonning quyidagi parametrlari katta ahamiyatga ega:

Matematik kutish

$$m_x(t) = M[x(t)] = \int_{-\infty}^{\infty} xp(x; t) dx; \quad (8.3)$$

dispersiya

$$D_x(t) = M \{ [x(t) - m_x(t)]^2 \}; \quad (8.4)$$

o‘rtacha kvadratik og‘ish

$$\sigma_x(t) = \sqrt{M \{ [x(t) - m_x(t)]^2 \}} = \sqrt{D_x(t)}. \quad (8.5)$$

Ehtimollikning bir o‘lchovli zichligi jarayonni to‘liq tariflash uchun yetarli emas, chunki u vaqtning ayrim belgilangan momentlari

uchun  $X(t)$  tasodifiy jarayonni ehtimollik nuqtai nazaridan kuzatishni nazarda tutadi.

Yeterlicha to‘liq xarakteristika sifatida ehtimollikning ikki o‘lchovli zichligi hisoblanadi:

$$p(x_1, x_2; t_1, t_2),$$

u ixtiyoriy tanlangan  $t_1, t_2$  vaqt momentlarida tasodifiy funksiya tomonidan qabul qilingan  $x_1$  va  $x_2$  qiymatlari orasidagi bog‘liqlikni hisobga olishga imkon beradi.

Tasodifiy jarayonning to‘liq mukammal ehtimollik xarakteristikasi yetarlicha katta  $n$  da,  $n$ -o‘lchovli ehtimollik zichligi hisoblanadi.

Ammo, tasodifiy signallarni izohlash bilan bog‘liq bo‘lgan masalalarning juda katta qismi ikki o‘lchovli ehtimollik zichligi bilan hal qilinadi.

Ikki o‘lchovli ehtimollik zichligining  $p(x_1, x_2; t_1, t_2)$  ko‘rinishda berilishi xususiy holda, tasodifiy jarayonlarning muhim xarakteristikasi bo‘lgan kovariatsion funksiyasini aniqlashga imkon beradi:

$$K_x(t_1, t_2) = M[x(t_1) x(t_2)] \quad (8.6)$$

Shu aniqlashtirishga asosan  $X(t)$  tasodifiy jarayonning kovariatsion funksiyasi tasodifiy  $X(t)$  funksianing  $t_1$  va  $t_2$  momentlardagi qiymatlarining statistik o‘rtalashtirilgan ko‘paytmasi hisoblanadi.

Tasodifiy jarayonni tahlil qilishda uning fluktuatsion tashkil etuvchisi katta qiziqish uyg‘otadi. Bunday hollarda korrelyatsion funksiya qollaniladi:

$$R_x(t_1, t_2) = M\{[X(t_1) - m_x(t_1)][X(t_2) - m_x(t_2)]\} \quad (8.7)$$

(8.7) ifodasida  $t_1=t_2=t$  qiymatlarni qabul qilsak, u holda (8.4) ifodasiga asosan tasodifiy jarayonning dispersiyasi  $D_x(t)$  ni aniqlaydi. Shu bois:

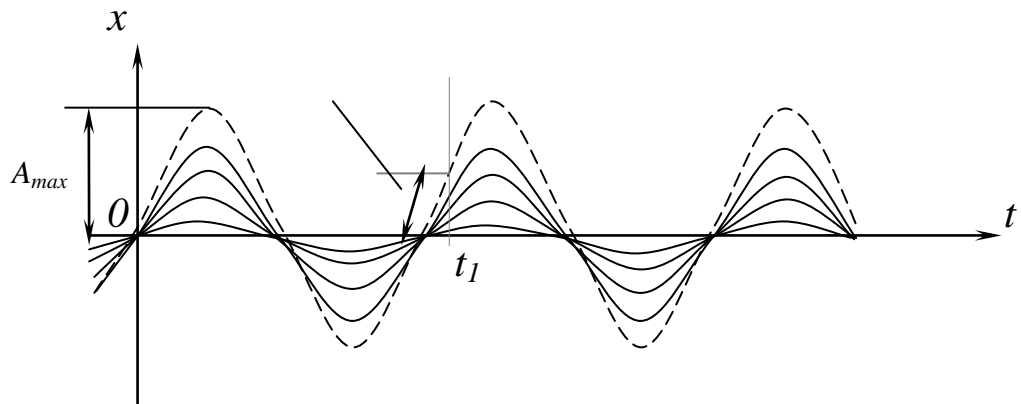
$$K_x(t, t) - m_x^2(t) = R_x(t, t) = D_x(t).$$

## 8.2. Tasodifiy jarayonlarning turlari. Misollar

**Tasodifiy amplitudali garmonik tebranish.** Signalni aniqlovchi quyidagi ifodada

$$x(t) = A \cos(\omega_0 t + \theta_0) = A \cos \psi(t) \quad (8.8)$$

chastota  $\omega_0$  va boshlang‘ich faza  $\theta_0$  determinik kattaliklar, amplituda  $A$  esa 0 dan  $A_{max}$  oralig‘ida tasodifiy, teng ehtimolli kattalik bo‘lsin (8.2-rasm).



8.2-rasm. Tasodifiy amplitudali garmonik tebranishlar to‘plami.

Belgilangan  $t_1$  vaqt momenti uchun bir o‘lchamli ehtimollik zinchligi  $p(x; t_1)$  ni aniqlaymiz. 0 dan  $A_{max} \cos \psi(t_1)$  oralig‘ida  $x(t_1)$  ning oniy qiymati ixtiyoriy bo‘lishi mumkin, bunda  $\cos \psi(t_1) > 0$  deb hisoblaymiz. Shunga asosan

$$p(x; t_1) = 1/A_{max} \cos \psi(t_1), 0 < x < A_{max} \cos \psi(t_1).$$

8.3-rasmda funksiya  $p(x; t_1)$  ning belgilangan  $t_1$  qiymati uchun grafigi ko‘rsatilgan.

$p(x; t_1)$  funksiyaning matematik kutishi

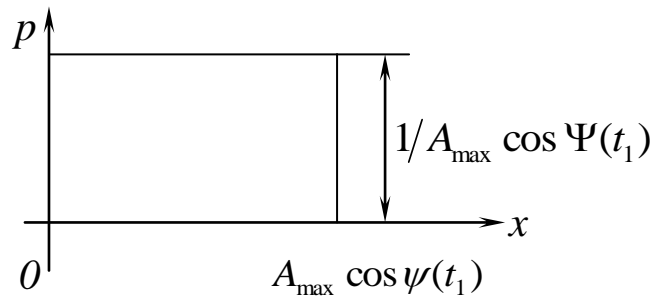
$$M[x(t_1)] = \frac{1}{A_{max} \cos \psi(t_1)} \int_0^{A_{max} \cos \psi(t_1)} x dx = \frac{1}{2} A_{max} \cos \psi(t_1),$$

dispersiyasi

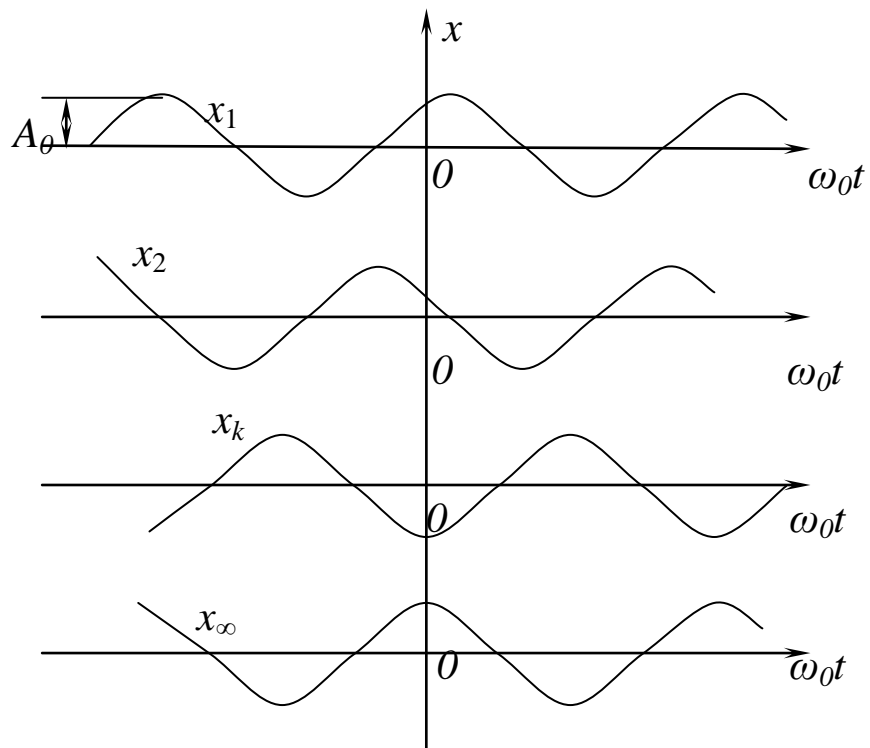
$$\begin{aligned}
D_x(t_1) &= M[x^2(t_1)] - [M[x(t_1)]]^2 = \\
&= \frac{1}{3} A_{\max}^2 \cos^2 \psi(t_1) - \frac{1}{4} A_{\max}^2 \cos^2 \psi(t_1) = \frac{1}{12} A_{\max}^2 \cos^2 \psi(t_1).
\end{aligned} \tag{8.9}$$

**Tasodifiy fazali garmonik tebranish.** Agar garmonik signalning amplitudasi va chastotasi oldindan ma'lum bo'lsa, boshlang'ich faza  $\theta$  esa  $-\pi$  dan  $\pi$  oraliqda har qanday qiymatni bir xil ehtimollik bilan qabul qiluvchi tasodifiy kattalik bo'lsin. Bu degani, boshlang'ich fazaning ehtimollik zichligi:

$$p_\theta(\theta) = 1/(2\pi), -\pi < \theta < \pi \tag{8.10}$$



8.3-rasm. Tasodifiy amplitudali garmonik tebranishning ehtimollik zichligi.



8.4-rasm. Tasodifiy fazali garmonik tebranishlar to'plami.

Tasodifiy fazali garmonik tebranishlar to‘plamini tashkil etgan,  $x(t)$  tasodifiy jarayonning amalga oshirishlaridan birini (8.4-rasm) quyidagicha aniqlash mumkin:

$$x_k(t) = \cos(\omega_0 t + \theta_k) = \cos \psi_k(t) \quad (8.11)$$

Tebranishning  $\psi(t) = \omega_0 t + \theta$  to‘liq fazasi  $\omega_0 t - \pi$  dan  $\omega_0 t + \pi$  oraliqda tengehtimolli tasodifiy kattalik hisoblanadi. Shunga binoan

$$p_\psi(\psi) = 1/2\pi, \omega_0 t - \pi < \psi < \omega_0 t + \pi. \quad (8.12)$$

Tasodifiy jarayon  $X(t)$  ning bir o‘lchamli ehtimollik zichligini topamiz.  $x, x+dx$  oralig‘ini ajratib olamiz (8.5-rasm) va  $t_1$  dan  $t_1+dt$  vaqt oralig‘ida o‘lchanganda, signaling oniy qiymati  $x, x+dx$  oralig‘iga tushish ehtimolligini topamiz. Bu ehtimollikni  $p_x(x)dx$  ko‘rinishda yozish mumkin, bunda  $p_x(x)$  – qidirilayotgan ehtimollik zichligi. Albatta  $p_x(x)dx$  ehtimollik tebranishning tasodifiy fazasi  $\psi$  ni shtrixlangan ikki faza oraliqlaridan biriga tushish ehtimolligi bilan mos keladi. Mana shu oxirgi ehtimollik  $2p_\psi(\psi)d\psi$  gat eng. Shunday qilib,

$$p_x(x)dx = 2p_\psi(\psi)d\psi = (2/2\pi)d\psi,$$

bundan qidirilayotgan funksiya

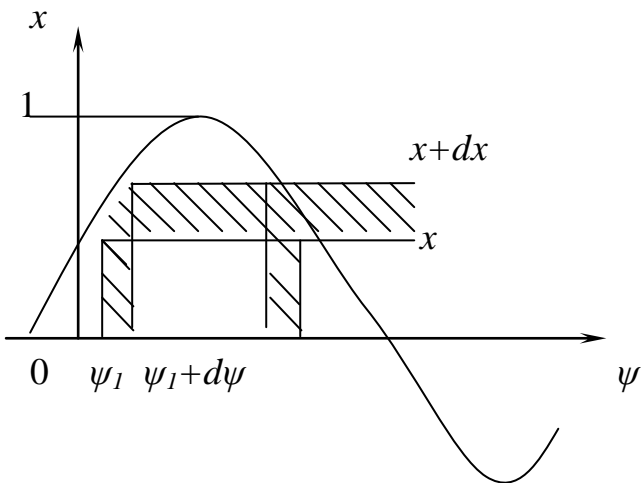
$$p_x(x) = \frac{1}{\pi} \frac{1}{\left| \frac{dx}{d\psi} \right|}, -1 < x < 1.$$

Lekin  $\left| \frac{dx}{d\psi} \right| = |\sin \psi| = \sqrt{1 - \cos^2 \psi} = \sqrt{1 - x^2}$ .

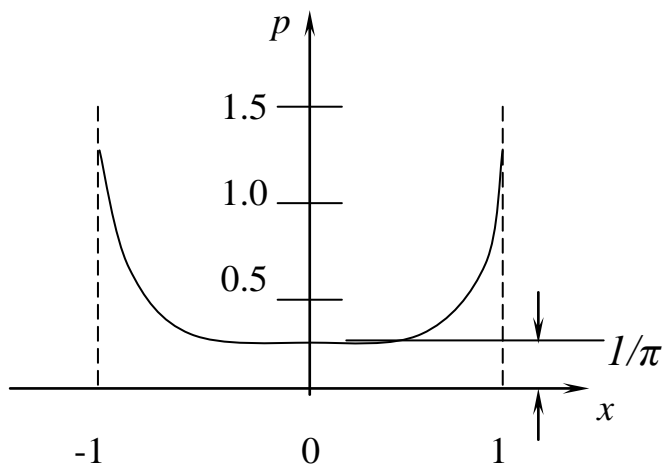
Shuning uchun, natijada

$$p_x(x) = 1/\pi \sqrt{1 - x^2}, -1 \leq x \leq 1. \quad (8.13)$$

Bu funksiyaniing grafigi esa 8.6-rasmda ko‘rsatilgan.



8.5-rasm. Tasodifiy fazali garmonik tebranishning ehtimollik zichligini aniqlash.



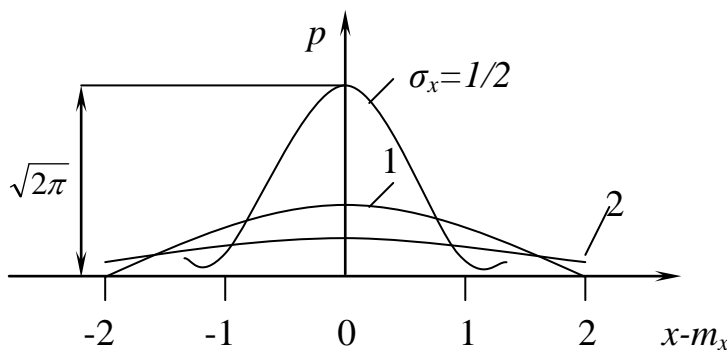
8.6-rasm. Tasodifiy fazali garmonik tebranishning ehtimollik zichligi.

**Gauss tasodifiy jarayoni.** Tasodifiy kattaliklarning taqsimlanish normal (Gauss) qonuni qolganlardan ko‘ra tabiatda ko‘proq uchraydi. U tahlil qilish uchun juda qulaydur. Shuning uchun taqsimlanishi bo‘yicha normal taqsimlanishdan unchalik farq qilmaydigan tasodifiy jarayonlar ko‘pincha Gauss jarayoniga almashtiriladi. Normal jarayonning bir o‘lchamli ehtimollik zichligi quyidagi ifoda orqali aniqlanadi:

$$p(x) = \frac{1}{\sqrt{2\pi}\sigma_x} \exp\left[-\frac{(x-m_x)^2}{2\sigma_x^2}\right]. \quad (8.14)$$

bu yerda  $m_x$  va  $\sigma_x^2$  – mos ravishda tasodifyi jarayonning doimiy tashkil etuvchisi va o‘rtacha quvvati.

$\sigma_x$  ning ba’zi qiymatlari uchun normal qonundagi ehtimollik zichligining grafigi 8.7-rasmda ko‘rsatilgan. Funksiya  $p(x)$  o‘rtacha qiymatga nisbatan simmetrik bo‘ladi.  $\sigma_x$  qanchalik katta bo‘lsa, maksimum shunchalik kamayib boradi, egrilik esa brogan sari tekislanib boradi ( $p(x)$  egriligi ostidagi yuza  $\sigma_x$  ning istalgan qiymatlarida 1 ga teng).



8.7-rasm. Normal taqsimlanishning bir o‘lchamli ehtimollik zichligi.

## 9. O‘zgarmas parametrli chiziqli radiotexnik zanjirlar

### 9.1. Aktiv zanjirlarning xususiyatlari

Aktiv deganda – passiv elementlarni o‘z ichiga olgan (iduktiv g‘altak, kondensator va rezistor), hamda energiya manbalari (EYuK generatori yoki tok generatori) zanjirini tushuniladi.

Radioelektron qurilma (REQ) zanjirlarining aktiv xarakteri, unda kuchaytiruvchi elementlarning qo‘llanilishi shart deb bilishdadir, ya’ni, tranzistorlar, elektron lampalar, yugiruvchi to‘lqinli lampalar va boshqalarning qo‘llanilishida.

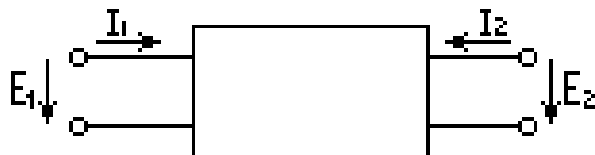
Bunda, aktiv zanjir chiqishidagi signal energiyasi kirishdagidan yuqori deb faraz qilinadi.

Shunday qilib, aniqlik kiritish uchun ifodalash ko‘rinishini o‘zgartiramiz: zanjir aktiv hisoblanadi, agar garmonik qo‘zg‘altirganda signalning chiqishidagi o‘rtacha quvvati kirishdagiga nisbatan yuqori, yani quvvat bo‘yicha kuchaytirish koeffitsiyenti birdan yuqori bo‘lsa.

Bunday aniqlashtirishdan ma'lumki, kuchlanishni kuchaytiruvchi zanjir (masalan, quvvatni o'zgartirmasdan oshiruvchi transformator yordamida) passiv xisoblanadi, hatto unga aktiv element o'zining ta'minlash manbasi bilan kirgan holda ham. Aktiv zanjirlarni ekvivalent sxemasini qurishda, o'zgarmas tok yoki kuchlanish manbalari tushirib qoldiriladi. Bu sxemalarda aktiv elementlar (tranzistor, lampa va boshqalar) parametri ishlash rejimiga va aktiv elementlarni ta'minlovchi energiya manbalariga bog'liq elementlar bilan tasvirlanadi.

Shunday qabul qilish bilan har qanday (ham aktiv va ham passiv) chiziqli to'rtqutblikni 9.1-rasmida ko'rsatilgandek tasvirlash mumkin.

Bu rasmida  $E_1$ ,  $E_2$ ,  $I_1$  va  $I_2$  bog'liq bo'lмаган гармоник кучланиш ва ток манбаларининг комплекс амплитудасини белгилangan chastota  $\omega$  da belgilaydi.



9.1-rasm. Chiziqli to'rtqutblikning ekvivalent sxemasi.

To'rtqutblik o'zining kirish va chiqishdagi kuchlanish va toklar orasidagi munosabatlari bilan xarakterlanadi. Bu munosabatlarning ko'rinishi boshlang'ich kattaliklarni tanlashga bog'liq.

To'rtqutubliklarni asosiy belgilash ifodalarini eslaymik.

Agar  $E_1$  va  $E_2$  boshlang'ich berilgan kattaliklar bo'lsa, u holda  $I_1$  va  $I_2$  toklarni aniqlovchi tenglamalar quyidagi shaklda yoziladi:

$$I_1 = Y_{11}E_1 + Y_{12}E_2, \quad I_2 = Y_{21}E_1 + Y_{22}E_2 \quad (9.1)$$

yoki matritsa shaklida

$$\begin{bmatrix} I_1 \\ I_2 \end{bmatrix} = [Y] \begin{bmatrix} E_1 \\ E_2 \end{bmatrix} \quad (9.2)$$

bu yerda

$$[Y] = \begin{bmatrix} Y_{11} & Y_{12} \\ Y_{21} & Y_{22} \end{bmatrix} \quad (9.3)$$

o‘tkazuvchanlik o‘lchami ma’nosiga ega bo‘lgan parametrlar matritsasi hisoblanadi.

Agar (9.1) tenglamani  $E_1$  va  $E_2$  ga nisbatan echilsa, u holda quyidagi tenglamalar sistemasi hosil bo‘ladi:

$$E_1 = Z_{11}I_1 + Z_{12}I_2, \quad E_2 = Z_{21}E_1 + Z_{22}I_2 \quad (9.4)$$

$$\begin{bmatrix} E_1 \\ E_2 \end{bmatrix} = [Z] \begin{bmatrix} I_1 \\ I_2 \end{bmatrix} \quad (9.5)$$

bu yerda

$$[Z] = \begin{bmatrix} Z_{11} & Z_{12} \\ Z_{21} & Z_{22} \end{bmatrix} \quad (9.6)$$

qarshiliklar o‘lchamiga ega bo‘lgan parametrlar matritsasi hisoblanadi.

Quyidagi shaklda yozilgan to‘rtqutblik boshlang‘ich berilgan tenglamasiga

$$E_1 = H_{11}I_1 + H_{12}E_2, \quad I_2 = H_{21}I_1 + H_{22}E_2 \quad (9.7)$$

quyidagi parametrlar matritsasi mos keladi

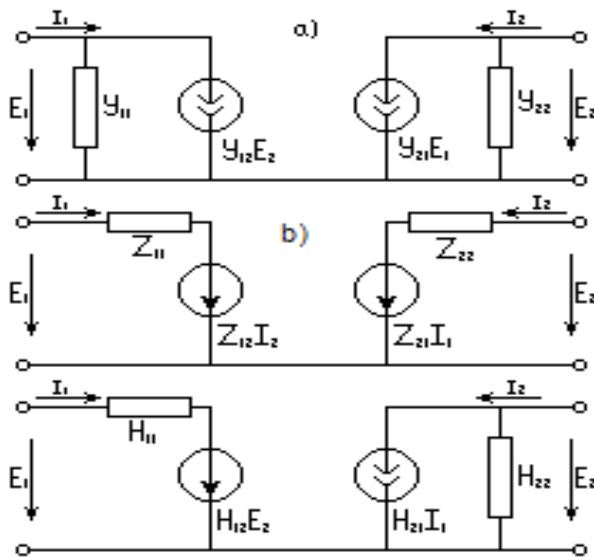
$$[H] = \begin{bmatrix} H_{11} & H_{12} \\ H_{21} & H_{22} \end{bmatrix} \quad (9.8)$$

bu yerda  $H_{11}$  – qarshilik kattaligiga ega,  $H_{22}$  – o‘tkazuvchanlikka,  $H_{12}$  va  $H_{21}$  – o‘lchamsiz parametrlar.

Yana quyidagi shaklda tenglama keltiramiz:

$$I_1 = G_{11}E_1 + G_{12}I_2, \quad E_2 = G_{21}E_1 + G_{22}I_2 \quad (9.9)$$

bu yerda,  $G_{11}$  – o‘tkazuvchanlik,  $G_{22}$  – qarshilik,  $G_{12}$  va  $G_{21}$  – o‘lchamsiz parametrlar. (9.1), (9.4), (9.7) tenglamalar va ularga analog bo‘lgan boshqa tenglamalar to‘rtqutbliklarning ekvivalent sxemalarini tuzishga imkon beradi.



9.2-rasm. To‘rtqutblik ekvivalent sxemalari: a) Y-parametrli; b) Z-parametrli;  
c) H-parametrli matritsalarga asoslangan.

9.2,a-rasmda (9.1) tenglamaga mos ravishda qurilgan to‘rtqutblikning ekvivalent sxemasi tasvirlangan. Bu sxemada  $E_1$  va  $E_2$  kuchlanishlar ikkalasi tashqi manba kuchlanishlari sifatida qaraladi. Tok generatori  $Y_{12}E_2$  chiziqdagi kuchlanish  $E_2$  ni kirish toki  $I_1$  ga ta’sirini, tok generatori  $Y_{21}E_1$  esa  $E_1$  kuchlanishni chiqishdagi tok  $I_2$  ga ta’sirini hisobga oladi.

Ikkala generatordi ham boshqa parametrga bog‘liq manba sifatida ko‘rish mumkin, chunki ular yordamida ta’min qilinayotgan toklar tashqi manba kuchlanishlariga proporsionaldir.

## 9.2. Aktiv to‘rtqutblik chiziqli kuchaytirgich sifatida. Ekvivalent sxemani qurish prinsipi

Parametrlar matritsasiga asosan (Y-parametrli, Z-parametrli va H-parametrli), quyidagi ko‘rinishda yozilgan ifodalarni

$$\begin{aligned}
 K_E = \frac{E_2}{E_1} &= \frac{-Y_{21}}{Y_{22} + G_H} = \frac{Z_{21}Z_H}{Z_{11}(Z_{22} + Z_H) - Z_{12}Z_{21}} = \\
 &= -\frac{H_{21}}{H_{11}(H_{22} + G_H) - H_{12}H_{21}}, \tag{9.10}
 \end{aligned}$$

$$K_I = \frac{I_2}{I_1} = \frac{Y_{21}G_H}{Y_{11}(Y_{22} + G_H) - Y_{12}Y_{21}} = \frac{Z_{21}}{Z_{22} + Z_H} = \frac{H_{21}G_H}{H_{22} + G_H}, \quad (9.11)$$

aktiv to‘rtqutblikning kuchlanish va tok bo‘yicha kuchaytirish koeffitsiyentlari sifatida ko‘rish mumkin.

Keng polosali kuchaytirgichlarda qoida bo‘yicha, kuchaytiruvchi qurilmalar (tranzistorlar, lampalar va boshqalar) yuklamani to‘g‘ri tanlaganda, quyidagi tengsizlikning bajarilishini ta’minlaydi:

$$G_{Yuk} >> Y_{22}, \quad Z_{Yuk} << Z_{22} \quad (9.12)$$

Shuning uchun to‘rt qutblikni kuchaytirish qobiliyatini qo‘pol baholashda quyidagi taxminiy tenglikdan foydalanish mumkin:

$$|K_E| \approx \left| \frac{Y_{21}}{G_{Yuk}} \right|, \quad (9.13)$$

$$|K_I| \approx \left| \frac{Z_{21}}{Z_{22}} \right|, \quad (9.14)$$

bundan quvvat bo‘yicha kuchaytirish koeffitsiyenti (volt-amperda):

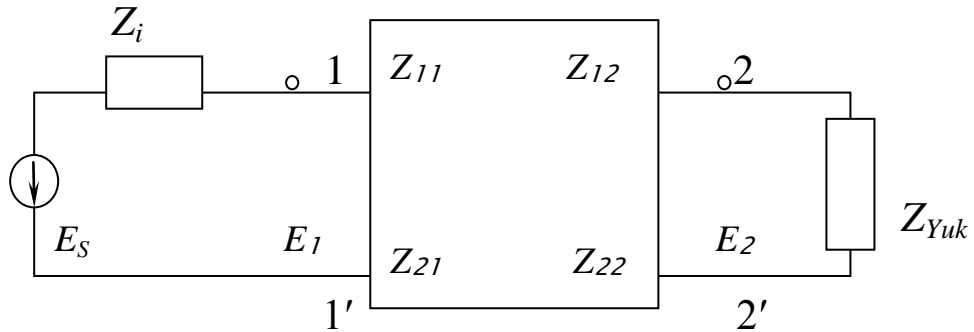
$$K_P = |K_E||K_I| \approx \left| \frac{Y_{21}}{G_{Yuk}} \right| \left| \frac{Z_{21}}{Z_{22}} \right| = \frac{|Y_{21}|^2}{|G_{Yuk}Y_{11}|}. \quad (9.15)$$

(9.15) ifodadan ko‘rinadiki, aktiv to‘rtqutblikda tebranish quvvatini oshirishda hal qiluvchi rolni  $Y_{21}$  (mos ravishda  $Z_{21}$  va  $H_{21}$ ) parametrlar o‘ynaydi.

Kuchaytirgich sifatida aktiv to‘rtqutblikni tahlil qilishda kirish va chiqish qarshiliklari muhim ahamiyatga ega.

9.3-rasmda signal manbasi  $E_s$ , aktiv to‘rtqutblik va yuklama qarshiligi  $Z_{Yuk}$  ni o‘z ichiga olgan umumlashtirilgan sxema ko‘rsatilgan.

1-1’ nuqtalar orasidagi kirish qarshilagini (9.4) tenglamaga asosan aniqlash mumkin.



9.3-rasm. Signal manbasi va yuklama parametrlarini hisobga olgan aktiv to‘rtqutblikning umumlashtirilgan sxemasi.

(9.4) ifodadan ikkinchi tenglamani quyidagi nisbatga keltiramiz:

$$\frac{I_2}{I_1} = -\frac{Z_{21}}{Z_{22}} = -\frac{Z_{21}}{Z_{22} + Z_{Yuk}} \quad (9.16)$$

bu yerda  $Z'_{22} = Z_{22} + Z_{Yuk}$ .

(9.16) dan  $I_2$  ni (9.4) ning birinchi tenglamasiga qo‘yib quyidagini olamiz:

$$E_1 = I_1 \left( Z_{11} - \frac{Z_{12}Z_{21}}{Z_{22}} \right) = \left( Z_{11} - \frac{Z_{12}Z_{21}}{Z_{22} + Z_{Yuk}} \right) \cdot I_1 = I_1 \cdot Z_{kir}. \quad (9.17)$$

To‘rtqutblikning chiqish qarshiligi deganda  $E_s=0$  holati uchun, 2-2' nuqtalar orasidagi qarshilik (signal manbasining ichki qarshiligi  $Z_i$  ni hisobga olgan holda) tushuniladi. Bunda  $Z_i$  qarshilik yuklama sifatida ko‘riladi.

(9.17) ga mos ravishda,  $Z_{11}$  ni  $Z_{22}$  ga va  $Z_{Yuk}$  ni  $Z_i$  ga almashtirgan holda quyidagi ifodani olamiz:

$$Z_{chiq} = Z_{22} - \frac{Z_{12}Z_{21}}{Z_{11} + Z_i} \quad (9.18)$$

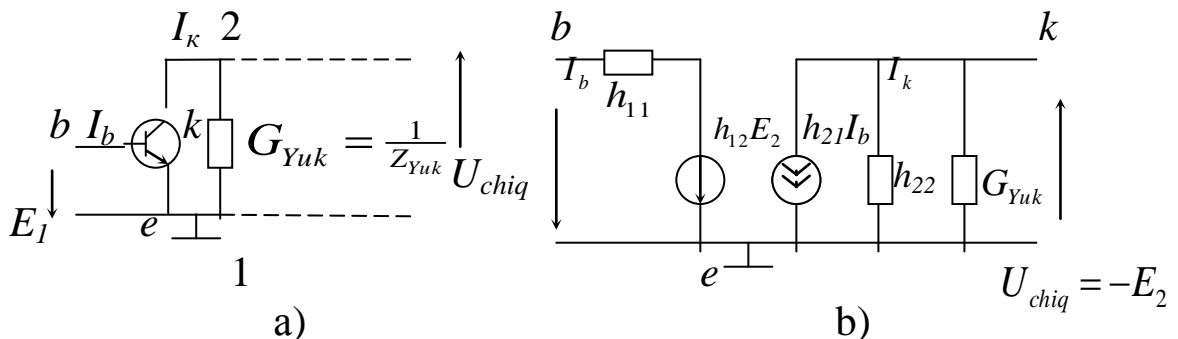
Signal manbasining ichki qarshiligi  $Z_i$  ni hisobga olgan holda kuchaytirish koeffitsiyenti sifatida  $E_2/E_s = K_E$  munosabatni tushunamiz. Bu koeffisientni (9.10) ifoda yordamida  $Z_i$  ni  $Z_{11}$  ga yoki  $H_{11}$  ga qo‘shish orqali topish mumkin. Shunday qilib,

$$K_E = \frac{E_2}{E_S} = \frac{Z_{21}Z_{Yuk}}{(Z_{11}+Z_i)(Z_{22}+Z_{Yuk}) - Z_{12}Z_{21}} = \\ = -\frac{H_{21}}{(H_{11}+Z_i)(H_{22}+G_{Yuk}) - H_{12}H_{21}} \quad (9.19)$$

Y-matritsani qo'llaganda ham kuchaytirish koeffitsiyentini topish mumkin:

$$K_E = \frac{E_2}{E_S} = -\frac{Z_{kir}}{Z_i + Z_{kir}} \cdot \frac{Y_{21}}{Y_{22} + G_{Yuk}} \quad (9.20)$$

Amaliyotda eng qulay parametrlar tizimini tanlash, kuchaytiruvchi qurilmaning turi va uning ulanish sxemasiga bog'liq. Buni eng ko'p tarqalgan umumiy emitter sxemasi bo'yicha ulangan tranzistorli kuchaytirgich misolida ko'ramiz (9.4,a-rasm).



9.4,a-rasm. Tranzistorli kuchaytirgich (a) va uning ekvivalent sxemasi (b).

Tranzistorli umumiy emitter sxemasida ishlashning afzalligi, baza tokiga ta'sir etish bilan kollektor tokini boshqarishdir. Bundan tashqari, chiqishdagi kuchlanish \$U\_{chiq}\$ ni qayta kirish zanjiriga ta'sirini hisobga olish zarurdir. Tranzistorning bu xususiyatini to'rtqutblik (9.7) tenglamasi yordamida ifodalash mumkin:

$$E_1 = H_{11}I_1 + H_{12}E_2, \quad I_2 = H_{21}I_1 + H_{22}E_2$$

Shu sababli, tranzistorli kuchaytirgichlar nazariyasi va texnikasida H-parametrli matritsa umumiy qabul qilingan.

H-parametrlı matritsaga 9.2,c-rasmida ko'rsatilgan ekvivalent sxema mos keladi.

Aktiv to'rtqutblikning kuchaytirish qobiliyati o'lchovsiz parametr  $H_{21}$  (mos ravishda  $Y_{21}$  va  $Z_{21}$ ) orqali aniqlanadi.

### 9.3. Aktiv to'rtqutblikda teskari aloqa

Chiziqli kuchaytirgichlarni ekvivalent to'rtqutbliklarning parametrlari matritsasi asosida tahlil qilishda asosiy e'tibor aktiv to'rtqutbliklarning kuchaytirish qobiliyatini aniqlashdagi  $Y_{21}$ ,  $Z_{21}$ ,  $H_{21}$  parametrlarga qaratilgan edi.

Real, to'liq bo'limgan bir yo'nalishli to'rtqutbliklarda chiqishdagi tebranishlarni kuchaytirgich kirishiga ta'siri bilan hisoblashishga to'g'ri keladi.

Kuchaytirgichni ishchi rejimida chiqishdagi kuchlanish  $E_2$  va tok  $I_2$  bo'lsin.

Bu kattaliklarni chiqish tomonidan bo'layotgan tashqi ta'sir natijasi sifatida ko'rib, ekvivalent sxemasi yordamida kirishdagi  $I'_1$  va  $E'_2$  kattaliklarni aniqlash mumkin (9.5-rasm).

Bu sxemada signaling kirish manbasi ulangan 1-1' nuqtalar shartli qisqa ulangan, 2-2' nuqtalardagi ta'sir qiluvchi kuchlanish  $E'_1 = -Z_i I'_1$  sifatida  $I'_1$  tok orqali hosil qilinayotgan manbaning ichki qarshiligi  $Z_i$  da hosil bo'ladigan kuchlanish tushiniladi.

(9.4) tenglamani

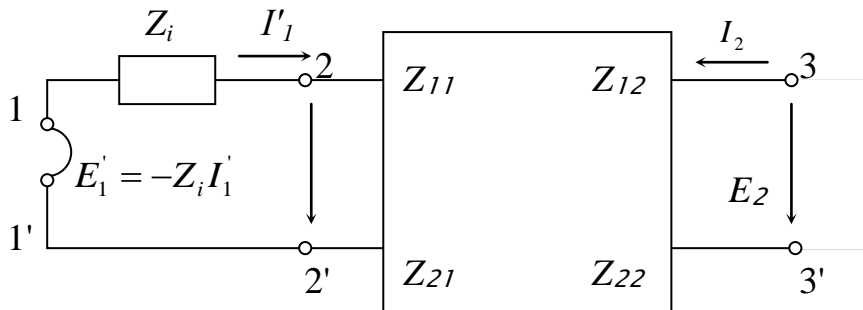
$$E_1 = Z_{11}I_1 + Z_{12}I_2, \quad E_2 = Z_{21}I_1 + Z_{22}I_2$$

9.5- rasmdagi belgilashlarga asosan quyidagi shaklda yozish mumkin:

$$E'_1 = -Z_i I'_1 = Z_{11}I'_1 + Z_{12}I_2, \quad E_2 = Z_{21}I'_1 + Z_{22}I_2$$

Shular asosida quyidagi munosabatni olamiz:

$$\frac{E'_1}{E_2} = Z_{12} \frac{Z_i}{Z_{11}Z_{22} - Z_{12}Z_{21} + Z_{22}Z_i} = Z_{12} \frac{Z_i}{\Delta Z + Z_{22}Z_i} \quad (9.21)$$



9.5-rasm. Kuchaytirgichda teskari reaksiyani hisobga olish ekvivalent sxemasi.

$E_{11}$  kuchlanish teskari reaksiya kuchlanishi yoki qayta aloqa kuchlanishi deyiladi.  $Z_{12}$  qayta aloqa elementi hisoblanadi.

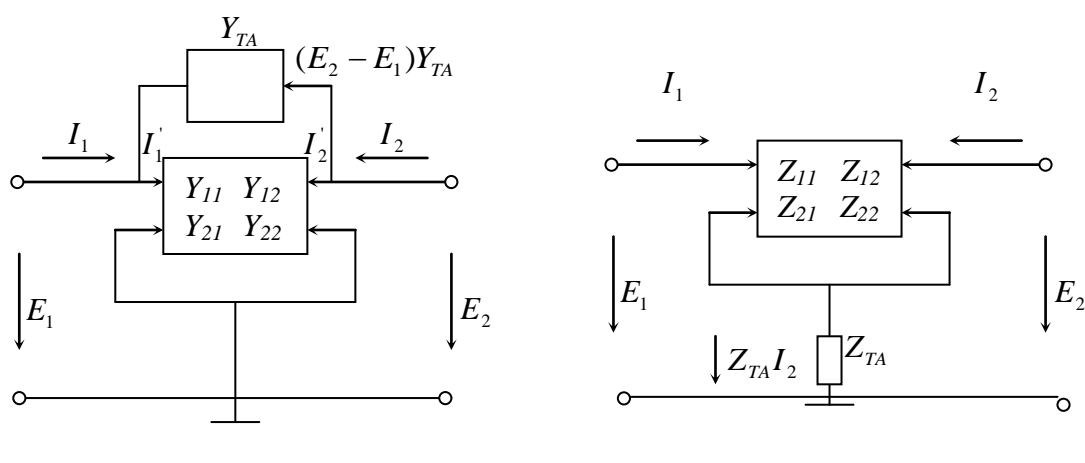
To‘rtqutblik ekvivalent sxemasini  $Y$  yoki  $H$  matritsasi bilan tasvirlanganida teskari aloqa elementlari sifatida mos ravishda  $Y_{12}$  va  $H_{12}$  parametrlar hisoblanadi.

Ko‘rilgan kuchaytirish qurilmasining fizik parametrlari natijasida hosil bo‘lgan teskari aloqani, ichki teskari aloqa deb yuritiladi. U noxush natijalarga olib keladi:

- kuchaytirgich kirish zanjiri parametrlarining yuklama elementiga bog‘liqligi;
- ba’zi sharoitlarda mo‘tadillikning buzilish xavfi.

Kuchaytirgichda tashqi teskari aloqa qo‘llanilishining asosiy momentlarini ko‘ramiz.

Eng sodda usul bu ikkiqutblik bilan kuchaytirgich chiqishini uning kirishi bilan ulash hisoblanadi (9.6-rasm).



9.6-rasm. Teskari aloqali kuchaytirgichlarning sxemalari: a) kuchlanish bo‘yicha; b) tok bo‘yicha.

Chiqishni kirish bilan teskari aloqa ikkiqutubligi  $Y_{TA}$  yordamida 9.6,a-rasm bo'yicha ulanganda, asosiy to'rtqutblikni  $Y$  - matritsasi bo'yicha ifodalash maqsadga muvofiq bo'ladi.

$I_1=I'_1-Y_{TA}(E_2-E_1)$  tenglikni e'tiborga olib, hamda  $I_1$ ,  $I_2$  va  $E_1$ ,  $E_2$  orasidagi munosabatni  $I_1=Y_{11}E_1+Y_{12}E_2$ ,  $I_2=Y_{21}E_1+Y_{22}E_2$  tenglama ko'rinishida ekanligini hisobga olib, yangi tenglamalar sistemasini yozish mumkin:

$$\begin{aligned} I_1 &= (Y_{11}+Y_{TA}) E_1 + (Y_{12}-Y_{TA}) E_2, \\ I_2 &= (Y_{21}-Y_{TA}) E_1 + (Y_{22}+Y_{TA}) E_2 \end{aligned} \quad (9.22)$$

Shunday qilib, 9.6,a-rasm bo'yicha teskari aloqali to'rtqutblikka quyidagi o'tkazuvchanliklar matritsasi mos keladi:

$$[Y]' = \begin{bmatrix} Y_{11} + Y_{TA} & Y_{12} - Y_{TA} \\ Y_{21} - Y_{TA} & Y_{22} + Y_{TA} \end{bmatrix} \quad (9.23)$$

Bundan ko'rinish turibdiki, ikkiqutblik  $Y_{TA}$  ning ulanishi matritsaning hamma elementlarini o'zgartiradi, shu bilan bir qatorda teskari aloqa elementini ham, ya'ni  $Y_{12}$  o'rniga  $Y_{12}-Y_{TA}$ .

Mos ravishda yana shuni ko'rsatish mumkin, 9.6,b-rasm bo'yicha  $Z_{TA}$  ikkiqutbligini ulash quyidagi matritsani beradi:

$$[Z]' = \begin{bmatrix} Z_{11} + Z_{TA} & Z_{12} + Z_{TA} \\ Z_{21} + Z_{TA} & Z_{22} + Z_{TA} \end{bmatrix} \quad (9.24)$$

9.6,a-rasmida chiqishdan kirishga teskari aloqa bo'yicha kelayotgan qo'shimcha tok quyidagiga teng:

$$I_2' = (E_2 - E_1)Y_{TA}$$

Odatda kuchaytirgichlarda  $E_2 \gg E_1$  bo'lganligi sababli, bu tok taxminan  $E_2 Y_{TA}$  ga teng, ya'ni chiqish kuchlanishiga proporsional.

Shuning uchun 9.6,a-rasmdagi sxemani kuchlanish bo'yicha teskari aloqa sxemasi deyish mumkin.

9.6,b-rasmida teskari aloqa kuchlanishi chiqishdagi tokka proporsional, shu sababli bunda tok bo‘yicha teskari aloqa amalga oshiriladi.

Shu qatori, aralash teskari aloqani, ya’ni bir vaqtda ham kuchlanish bo‘yicha, ham tok bo‘yicha amalga oshirish mumkin.

## **10. O‘zgarmas parametrli chiziqli zanjirlar orqali mutlaq aniq signallarning o‘tishini tahlil qilish**

### **10.1. Spektral usul**

Ko‘pgina radiotexnik qurilmalar chiziqli va nochiziqli elementlar birikmasidan iborat. Bu o‘tish jarayonini tahlil qilishni murakkablashtiradi, negaki superpozitsiya prinsipini qo‘llashga asoslangan klassik usullar chiziqli hisoblanadi. Ammo, juda ko‘p amaliy masalalarni chiziqli usullar yordamida bemalol yechish mumkin.

Bunday masalalar avvalo kuchsiz signallarni kuchaytirgichlar orqali va boshqa qurilmalarga uzatishda uchraydi. Bunday qurilmalar kuchsiz signallarga nisbatan amaliyotda chiziqli hisoblanadi.

Hatto, yetarlicha nochiziq qurilmalarda, masalan, radiouzatuvchi qurilmalarda signalni tebranuvchi zanjir orqali o‘tishini chiziqli usullar asosida ko‘rish mumkin.

Shunday qilib, spektral usul asosida zanjirning uzatish funksiyasi  $K(i\omega)$  dan foydalanish yotadi.

Agar chiziqli to‘rtqutblik kirishiga EYuK  $e(t)$  ko‘rinishida ixtiyoriy shakldagi signal ta’sir qilsa, u holda spektral usulni qo‘llab, kirish signali  $E(\omega)$  ning spektral zichligini aniqlash kerak bo‘ladi. Bu operatsiya Furyening ikki karrali integrali yordamida osongina amalga oshiriladi.

$$s(t) = \frac{1}{2\pi} \int_{-\infty}^{\infty} e^{i\omega t} \left[ \int_{t_1}^{t_2} s(x) e^{-i\omega x} dx \right] d\omega \quad (10.1)$$

Ichki integral

$$S(\omega) = \int_{t_1}^{t_2} s(t) e^{-i\omega t} dt \quad (10.2)$$

chastota  $\omega$  ning funksiyasi bo‘lib, u spektral zichlik yoki  $s(t)$  funksiyaning spektral xarakteristikasi deyiladi.

Umumiyl holda, agar  $t_1$  va  $t_2$  chegaralari aniqlanmagan bo‘lsa, spektral zichlik quyidagi ko‘rinishga ega:

$$S(\omega) = \int_{-\infty}^{\infty} s(t)e^{-i\omega t} dt \quad (10.3)$$

(10.3) ifodani (10.1) ifodaga qo‘yganimizdan so‘ng quyidagini olamiz:

$$s(t) = \frac{1}{2\pi} \int_{-\infty}^{\infty} S(\omega)e^{i\omega t} d\omega \quad (10.4)$$

Keltirilgan (10.3) va (10.4) ifodalar mos ravishda Furyening to‘g‘ri va teskari o‘zgartirishlari deyiladi.

$E(\omega)$  kuchlanishni uzatish  $K(i\omega)$  funksiyasiga ko‘paytirish bilan to‘rtqutblik chiqishida signalning spektral zichligini topamiz.

$E(\omega)K(i\omega)$  ko‘paytmaga Furyening (10.4) teskari o‘zgartirishini qo‘llab vaqt funksiyasi ko‘rinishidagi chiqish signalini aniqlaymiz.

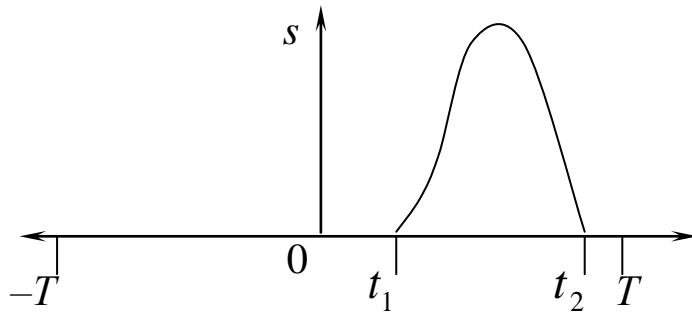
Shunday qilib, agar kirishdagi signal

$$e(t) = \frac{1}{2\pi} \int_{-\infty}^{\infty} E(\omega)e^{i\omega t} d\omega \quad (10.5)$$

integral ko‘rinishida yozilgan bo‘lsa, u holda chiqishdagi signalni shunga analog ravishda quyidagi shaklda berish mumkin:

$$u(t) = \frac{1}{2\pi} \int_{-\infty}^{\infty} E(\omega)K(i\omega)e^{i\omega t} d\omega \quad (10.6)$$

Ko‘rilgan (10.6) ifodani (10.5) bilan taqqoslash shuni ko‘rsatadiki, chiziqli zanjir chiqishidagi signalni kirishdagi signal spektri  $E(\omega)$  ning tashkil etuvchilarining yig‘indisi bilan olish mumkin. Bunda olinadigan tashkil etuvchilarning ulushi  $K(i\omega)$  ga teng



10.1-rasm. Yakka impuls.

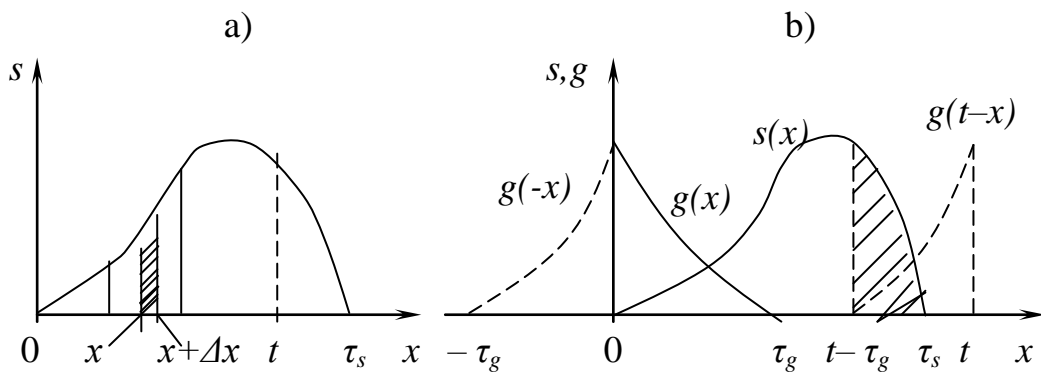
bo‘lishi kerak, ya’ni zanjir uzatish funksiyasi  $K(i\omega)$  signal  $u(t)$  da  $E(\omega)$  spektrining turli tashkil etuvchilarining nisbiy xissasini aniqlovchi ulush funksiyasi hisoblanadi.

## 10.2. Ustma-ust qo‘yish integral usuli

Spektral usul murakkab signalni garmonik tashkil etuvchilariga ajratishga asoslangan edi. Bundan farqli o‘larq ustma-ust qo‘yish integrali metodi signallarni yetarlicha qisqa impulslargaga ajratishga asoslanadi.

Agar spektral usul asosida zanjirning uzatish funksiyasi  $K(i\omega)$  yotsa, ustma-ust qo‘yish integrali usulida esa zanjirni vaqt mintaqasida tasvirlash uchun ishlataladigan impuls  $g(t)$  xarakteristikasiga asoslangan.

Aktiv va passiv chiziqli zanjirlar uchun zanjirning impuls xarakteristikasi  $g(t)$  deganda, ko‘rinishi yakka impulsiga o‘xshagan (delta-funksiya), zanjirga ta’sir etganda uning javobi (reaksiyasi) tushuniladi.



10.2-rasm. Signalni qisqa impulslargaga bo‘lish (a) va signalni impuls xarakteristikasi bilan o‘rami (b).

$g(t)$  va  $K(i\omega)$  funksiyalar orasidagi bog'liqlikni Furye integrali yordamida aniqlash mumkin.

Agar to'rtqutblik kirishida hamma chastotalar uchun spektral zichligi birga teng bo'lgan EYuK yakka impuls (delta-funksiya) ta'sir qilayotgan bo'lsa, u holda chiqish kuchlanishining spektral zichligi to'g'ridan-to'g'ri  $K(i\omega)$  ga teng.

Yakka impulsiga javob, ya'ni, zanjirning impuls xarakteristikasi  $K(i\omega)$  uzatuvchi funksiyaga qo'llanilgan Furyening teskari o'zgartirishi yordamida aniqlanadi:

$$g(t) = \frac{1}{2\pi} \int_{-\infty}^{\infty} K(i\omega) e^{i\omega t} d\omega \quad (10.7)$$

Ixtiyoriy  $s(x)$  signalni elementar impulslarga bo'laylik (10.2,a-rasm). Zanjirning elementar impulsiga  $t$  vaqt momentida bo'lgan javobini topamiz (10.2,a-rasmda shtrixlangan), u kirishda  $x$  momentida amal qiladi.

Agar bu impulsning maydoni 1 ga teng bo'lganda edi, impulsni  $x$  momentida sodir bo'lgan delta-funksiya deb ko'rsa bo'lardi.

Zanjirning  $g(x)$  impuls xarakteristikasida javob  $t$  momentida  $g(t)=g(t-x)$  ga teng edi. Lekin, 10.2,a-rasmda shtrixlangan impuls maydoni  $s(x)\Delta x$  ga teng (1 emas), javob esa  $t$  momentida  $g(t)=s(x)\Delta x g(t-x)$  gat eng bo'ladi.

Chiqish signalining to'liq qiymatini  $t$  momentida aniqlash uchun barcha impulslarni  $x=0$  dan  $x=t$  gacha oralig'ida yig'indisini topish kerak.  $\Delta x \rightarrow 0$  da yig'indi integrallashga olib keladi, natijada:

$$s_{chiq}(t) = \int_0^t s(x) g(t-x) dx \quad (10.8)$$

Real zanjirlar uchun doimo  $g(t-x)=0$ ,  $t < x$  sharti bajariladi, ya'ni, manfiy argumentda  $g(t-x)$  funksiya 0 ga aylanishi kerak, sababi javob zanjirga bo'lgan ta'sirdan ilgarilanib keta olmaydi.

Shuning uchun (10.8) ifodani quyidagi

$$s_{chiq}(t) = \int_{-\infty}^{\infty} s(x)g(t-x)dx \quad (10.9)$$

bilan almashtirish mumkin va bunda  $x > t$  shartida integral osti ifodasi 0 ga aylanishi nazarda tutiladi. (10.8) ifodadan  $x$  ni  $t-u$  ga almashtirgan holda quyidagini olamiz:

$$s_{chiq}(t) = \int_0^t s(t-x)g(x)dx = \int_0^t s(u)g(t-u)du \quad (10.10)$$

(10.8) va (10.10) ifodalardagi integral  $s(t)$  va  $g(t)$  funksiyalarning o‘rami deb ataladi. Shunday qilib, chiqishdagi  $s_{chiq}(t)$  signal kirishdagi  $s(t)$  signalni zanjir impuls xarakteristikasi  $g(t)$  bilan o‘rami hisoblanadi.

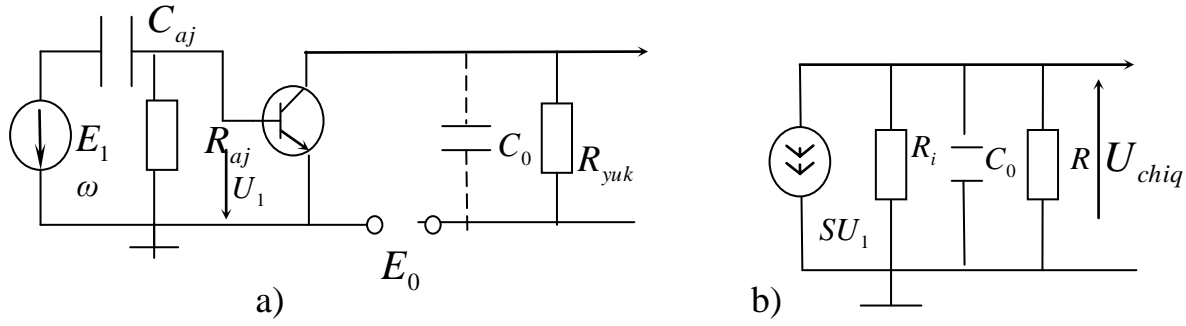
### 10.3. Diskret signallarning aperiodik kuchaytirgichlardan o‘tishi

Diskret signallar impulslar ketma-ketligidan iborat. Bunday ketma-ketliklarni inersion zanjirlar orqali o‘tishida impulslar shakli o‘zgaradi, bu uzatilayotgan ma’lumotning qisman yoki to‘liq yo‘qolishiga olib keladi.

Shunga ko‘ra, eng tipik masalalardan biri impulslar shaklining buzilishini tahlil qilish hisoblanadi. Shakllantirish osonligi va ikkilik kodli tizimlarda va boshqa ko‘p radiotexnik qurilmalarda keng qo‘llanilganligi tufayli to‘g‘ri burchakli impuls tahlilida ko‘ramiz. Asosiy e’tibor impuls fronti va kesilishining uzatilishiga qaratiladi. Chunki uzatilayotgan yoki ajratib olinayotgan ma’lumot vaqt o‘qida, oldingi yoki ortdagisi impulslar tushishida saqlanadi, masalan, bir qancha radiolokatsion tizimlarda.

Kirishida ajratuvchi  $R_{aj}C_{aj}$  zanjir bilan to‘ldirilgan bir kaskadli rezistiv kuchaytirgichdan to‘g‘ri burchakli impuls o‘tishini ko‘rib chiqamiz (10.3-rasm).

Bu zanjirning vazifasi – kirish signalini ishlab beruvchi qurilmalarda uchraydigan o‘zgarmas kuchlanishdan tranzistorni himoya qilishdir.



10.3-rasm. Kirishida ajratuvchi  $RC$ -zanjirli tranzistor kuchaytirgich (a) va chiqish zanjirining ekvivalent sxemasi (b).

Zanjirni  $\omega$  chastotada garmonik qo‘zgatilganda va kirish EYU $K$  ning amplitudasi  $E_1$  hamda  $R_{aj} \ll R_{be}$  (baza-emitter kirish qarshiligi) bo‘lgan shartlarda tranzistor kirishidagi kuchlanish

$$U_1 = \frac{E_1 R_{aj}}{R_{aj} + 1/i\omega C_{aj}} = E_1 \frac{i\omega R_{aj} C_{aj}}{1 + i\omega R_{aj} C_{aj}} = E_1 K_{aj}(i\omega) \quad (10.11)$$

bu yerda  $K_{aj}(i\omega) = i\omega\tau_{aj}/(1 + i\omega\tau_{aj})$  – ajratuvchi zanjirning uzatish funksiyasi;  $\tau_{aj} = R_{aj}C_{aj}$  – ajratuvchi zanjirning vaqt doimiysi.

Kuchaytirgich kollektor zanjirning ekvivalent sxemasi 10.3,b – rasmda ko‘rsatilgan. Kuchaytirgichning ichki o‘tkazuvchanligi  $G_i = 1/R_i$  boshqa parametr larga bog‘liq bo‘lgan tok manbai  $SU_1$  ko‘rinishida berilgan.

Sig‘im  $C_0$  o‘z ichiga aktiv elementni elektrodlararo sig‘imini va tashqi zanjir sig‘imini olgan, bu yerda shunt vazifasini bajaruvchi yuklama rezistor qiymati  $R_{yuk} = 1/G_{yuk}$  ga teng.

Sxema umumlashtirilgan bo‘lib, uni ixtiyoriy aktiv elementga qo‘llash mumkin.

Bir kaskadli rezistor kuchaytirgichning uzatish  $K_1(i\omega)$  funksiyasi quyidagi ifoda orqali aniqlanadi:

$$K(i\omega) = \frac{U_{chiq}}{E_1} = \frac{U_{chiq}}{U_1} \cdot \frac{U_1}{E_1} = K_{aj}(i\omega) K_1(i\omega) = -\frac{i\omega\tau_{aj}}{1 + i\omega\tau_{aj}} \cdot \frac{K_{1\max}}{1 + i\omega\tau_1} \quad (10.12)$$

bu yerda  $\tau_1 = RC_0 = C_0 / (G_i + G_{yuk})$  – kondensator  $C_0$  va uni shuntlovchi  $R$  rezistordan tashkil topgan zanjirning vaqt doimiysi.

Shuntlovchi rezistorning qiymati quyidagiga teng:

$$R_{yuk} = R_{\vartheta} = 1/(G_i + G_{yuk})$$

$K_{1max}$  – kuchaytirgichning maksimal kuchaytirish koeffitsenti bo‘lib,  $\omega=0$  qiymatda quyidagiga teng:

$$K_{1max} = S/(G_i + G_{yuk})$$

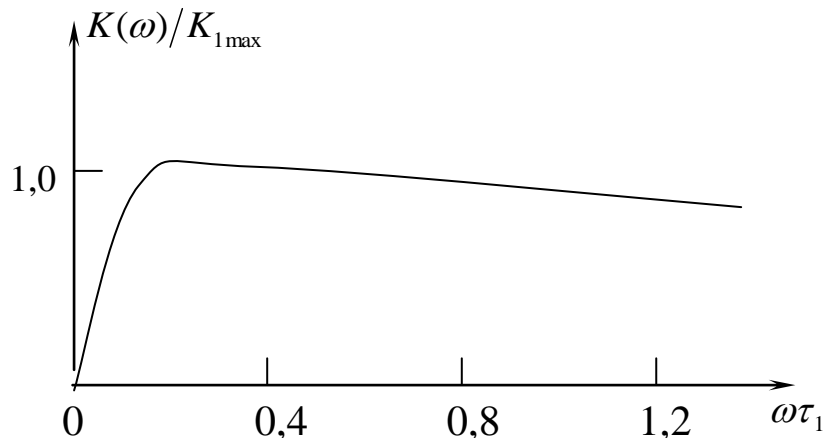
Quyidagi ifoda orqali aniqlangan uzatish funksiyasi to‘rtqutblikning amplituda-chastota xarakteristikasi deyiladi:

$$K(\omega) = K_{1max} \frac{\omega \tau_{aj}}{\sqrt{1+(\omega \tau_{aj})^2} \sqrt{1+(\omega \tau_1)^2}} \quad (10.13)$$

uning grafigi  $\tau_a/\tau_I=100$  qiymati uchun 10.4-rasmda ko‘rsatilgan.

#### 10.4. Siganallarni differensiallash va integrallash

Radioelektronikada ko‘p hollarda signallarni differensiallash va integrallash xarakteriga ega bo‘lgan o‘zgartirishlarni amalga oshirish to‘g‘ri keladi.



10.4-rasm. 10.3,a-rasmda ko‘rsatilgan kuchaytirgichning amplituda – chastota xarakteristikasi.

Differensiallashni amalga oshiruvchi chiziqli zanjirning kirishiga  $s(t)$  signal berilsa, uning chiqishidan quyidagi signal olinadi:

$$s_{\text{chiq}}(t) = \tau_0 \frac{ds(t)}{dt}$$

Integrallovchi qurilmada chiqishdagi  $s_{\text{chiq}}(t)$  va kirishdagi  $s(t)$  signallar orasidagi bog'lanish quyidagi ko'rinishda bo'ladi:

$$s_{\text{chiq}}(t) = \frac{1}{\tau_0} \int s(t) dt$$

Bu ifodalarda  $\tau_0$  – vaqt o'lchamiga ega bo'lgan doimiy kattalik.

Differensiallash va integrallash chiziqli matematik operatsiyalar hisoblanadi. Shunga binoan, signalni differensial va integral o'zgartirilishi uchun kirish va chiqishdagi kattaliklarning orasida talab qilingan nisbatlarga ega bo'lgan chiziqli zanjirlar va elementlar qo'llanilishi zarur. Bu talablarga odatdagi kondensatorlar yoki induktivlik g'altaklari kabi elementlar rezistor bilan birgalikda chiqishdagi signalni to'g'ri tanlagan holatda javob beradi.

Endi 10.5-rasmdagi zanjirni ko'rib chiqaylik.

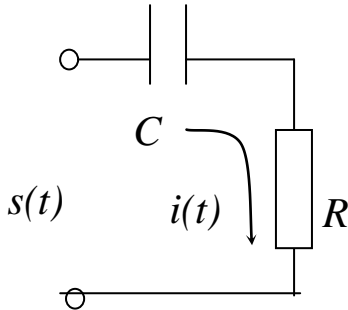
Kirish signali EYuK sifatida  $s(t)$  signalni nazarda tutgan holda zanjir toki  $i(t)$  uchun tenglama tuzamiz:

$$Ri(t) + \frac{1}{C} \int i(t) dt = s(t) \quad (10.14)$$

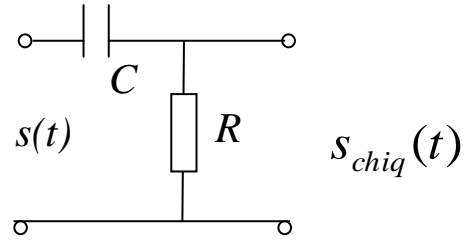
Bu tenglamani  $C$  ga ko'paytirib va zanjirning vaqt doimiysini  $\tau_0=RC$  bilan belgilab olib quyidagini olamiz:

$$\tau_0 i(t) + \int i(t) dt = Cs(t) \quad (10.15)$$

Tok  $i(t)$  va kirish signali  $s(t)$  orasidagi funksional bog'lanishning xarakteri vaqt doimiysi  $\tau_0$  ga bog'liq. Ikki cheklangan, ya'ni, juda kichik va juda katta  $\tau_0$  uchun holatlarni ko'ramiz. Juda kichik  $\tau_0$  holatida (10.15) tenglamaning chap qismidagi birinchi qo'shiluvchini



10.5-rasm. Differensiallash va integralash uchun qo'llaniladigan eng sodda zanjir.



10.6-rasm. Differensiallovchi zanjir.

chiqarib tashlash mumkin. Undan so'ng qolgan tenglamani  $t$  bo'yicha differensiallab  $i(t) \approx C \frac{ds(t)}{dt}$  ni olamiz.

Bundan ko'rindiki,  $i(t)$  shakli bilan mos keluvchi resistor  $R$  dagi kuchlanish kirish signali hosilasiga proporsional:

$$u_R = Ri(t) \approx RC \frac{ds(t)}{dt} = \tau_0 \frac{ds(t)}{dt}.$$

Shunday qilib, chiqish signali rezistor  $R$  dan olinadigan 10.6-rasmdagi differensiallovchi to'rtqutblik sxemasiga kelamiz.

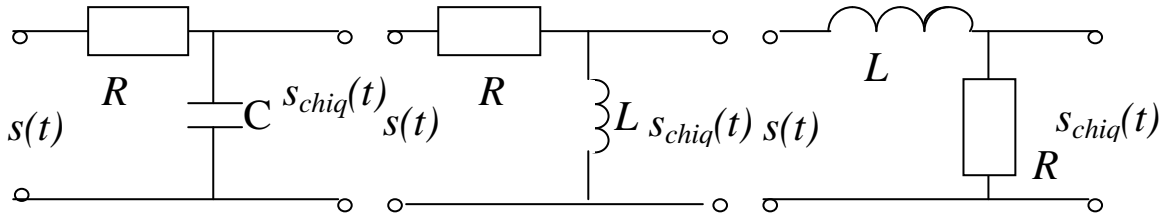
$\tau_0$  ning juda katta qiymatlaridagi holatda esa (10.15) tenglamaning chap qismidagi ikkinchi qo'shiluvchini chiqarib tashlash mumkin va bunda tok

$$i(t) \approx \frac{C}{\tau_0} s(t) = \frac{1}{R} s(t)$$

kirishdagi signal shakli bilan mos tushadi,  $C$  kondensatordagi kuchlanish esa,

$$u_C = \frac{1}{C} \int i(t) dt \approx \frac{1}{CR} \int s(t) dt$$

kirishdagi  $s(t)$  signal integraliga proporsional. Bundan kelib chiqadiki, integrallashni amalga oshirish uchun  $RC$ -zanjir 10.7-rasmdagi ko'rinishga ega bo'lishi kerak.



10.7-rasm. Integrallovchi zanjir.  
10.8-rasm. Differensiallovchi zanjir.  
10.9-rasm. Integrallovchi zanjir.

Shu kabi natijalarini  $RL$ -zanjir yordamida ham olsa bo‘ladi (10.8-va 10.9-rasmlar).

Differensiallovchi zanjirning vaqt doimiysi  $\tau_0 = L / R$  yetarlicha kichik, integrallovchi zanjirniki esa yetarlicha katta bo‘lishi kerak. 10.8-rasmdagi sxema uchun differensiallash prinsipini quyidagicha tasvirlash mumkin. Rezistorning yetarlicha katta qarshiligidagi  $RL$ -zanjir orqali o‘tgagan tok  $L$  ga bog‘liq emas va kirish  $s(t)$  signali bilan shakli mos keladi. Chiqishdagi  $s(t)$  signal  $L$  induktivlikdan olinib, quyidagiga teng:

$$s_{\text{chiq}}(t) = L \frac{di}{dt} \approx L \frac{d}{dt} \left[ \frac{1}{R} s(t) \right] = \tau_0 \frac{ds(t)}{dt}$$

10.9-rasmdagi sxemada aksincha, tok asosan  $L$  induktivlik orqali aniqlanadi (sababi  $R$  ancha kichik):

$$i(t) \approx \frac{1}{L} \int s(t) dt$$

resistor  $R$  dan olinadigan chiqish signali quyidagiga teng:

$$s_{\text{chiq}}(t) = Ri(t) \approx \frac{1}{\tau_0} \int s(t) dt.$$

## 10.5. Tanlovchi zanjirlarda radiosignalarni tahlil qilish. Og‘uvchi usuli

Oldingi mashg‘ulotlarda shakli uzatilayotgan xabar shakli bilan mos tushuvchi signalarni ko‘rib chiqqan edik. Bunday xabarlarini uzatishda ma’lumotni to‘liq saqlash masalasi signal shaklini saqlash masalasi bilan mahkam bog‘liq. Boshqacha qilib aytganda buni quyidagicha tushuntirish mumkin. Masalan, ma’lumotni uzatishda xabar yuqori chastotali tebranish parametrlaridan biriga biriktirilgan.

Bunda bu tebranish strukturasini to‘liq saqlab qolishi shart emas; ma’lumot biriktirilgan parametrning o‘zgarish qonunini saqlash yetarli hisoblanadi. Masalan, tebranishni amplituda bo‘yicha modulyatsiyada amplituda og‘uvchisini aniq uzatish muhim, chastota yoki fazani ma’lum bir o‘zgarishini tahlil qilishda hisobga olmasa ham bo‘ladi.

Radiosignalarning bunday xususiyatlari chiziqli zanjirlarda signallar uzatilishining tahlil usullarini soddalashtirishga imkon beradi. Tanlovchi zanjir sifatida umumiy emitterli tranzistorli oddiy rezonans kuchaytirgich sxemasini ko‘rib chiqamiz.

Bu holda yuklama sifatida  $LC$  parallel tebranish konturini tutashtiruvchi (shuntlovchi)  $R_{sh}$  rezistori hisoblanadi.  $R_{sh}$  rezistorda ajralayotgan quvvatga nisbatan induktiv g‘altak  $L$  va kondensator  $C$  dagi quvvat yo‘qotishlarini e’tiborga olmasa bo‘ladi. Shunday shart bilan yuklamaning to‘liq o‘tkazuvchanligi (1–2 nuqtalar orasida):

$$G_{yuk} = G_{sh} + i\omega C + \frac{1}{i\omega L}$$

bu yerda  $G_{yuk}$  – quyidagi  $E_2=-I_2Z_{yuk}$ ;  $Z_{yuk}=I/G_{yuk}$ ;  $G_{yuk}=1/Z_{yuk}$ , tenglamalarga asosan yuklama o‘tkazuvchanligi.

$R_{sh}$  shunt bilan  $LC$  konturning asosiy parametrlari:

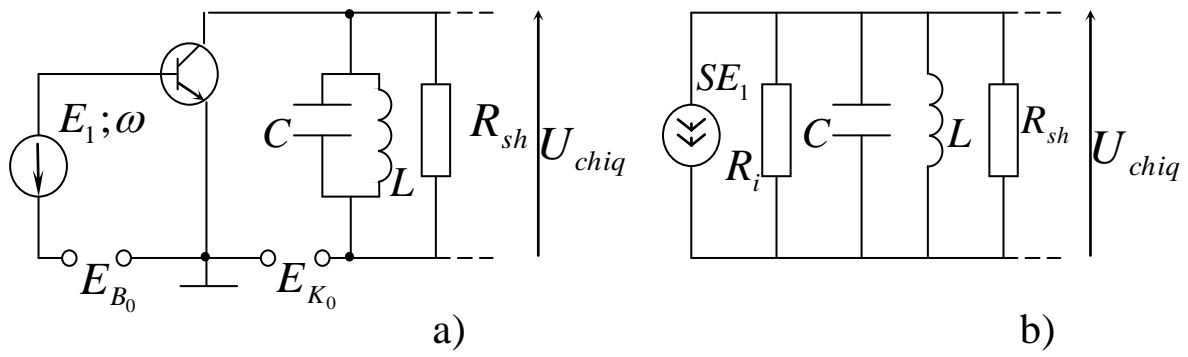
$\omega_r = 1/\sqrt{LC}$  – rezonans chastota;

$\rho = \sqrt{L/C} = \omega_\kappa L = 1/\omega_\kappa C$  – xarakteristik qarshilik;

$\alpha_K = 1/2R_{sh}C = 1/\omega_r C$  – so‘nish koeffitsiyenti;

$\tau_K = 2R_{sh}C = 1/\alpha_K$  – vaqt doimiysi;

$Q = \frac{R_{sh}}{\rho} = \frac{R_{sh}}{1/\omega_r C} = \frac{\omega_r \tau_K}{2} = \frac{\omega_r}{2\alpha_K}$  – kontur asilligi.



10.10-rasm. Rezonans kuchaytirgich (a) va kollektor zanjirining ekvivalent sxemasi (b).

Kuchaytirgich ekvivalent sxemasidan kelib chiqqan holda (10.10,b-rasm)  $h_{22}$  ni  $G_i$  ga o‘zgartirib, kuchaytirgichning uzatish funksiyasini aniqlaymiz:

$$\begin{aligned}
 K_E(i\omega) &= -\frac{S}{G_i + G_{yuk}} = -\frac{S}{G_i + G_{sh} + i\omega C + 1/i\omega L} = \\
 &= -\frac{S}{C} \cdot \frac{i\omega}{\frac{(G_i + G_{sh})}{C} i\omega + (i\omega)^2 + \frac{1}{LC}}
 \end{aligned} \tag{10.16}$$

(10.16) ifodaning maxrajidagi  $(G_i + G_{sh})/C = 1/R_{ekv}C = 2\alpha_{ekv}$  ko‘paytma aktiv elementning tutashtirishda (shuntlashda) kontur so‘nishiga ta’sirini hisobga oladi.

Yuqorida keltirilgan kontur parametrlarini belgilashlarga asosan (10.16) ifoda bilan berilgan uzatish funksiyasi quyidagi ko‘rinishga keltiriladi:

$$K_E(i\omega) = -\frac{S}{C} \cdot \frac{i\omega}{(i\omega)^2 + 2\alpha_{ekv}i\omega + \omega_r^2} \tag{10.17}$$

Yuqori asillik ko‘rsatkichli konturlar uchun asosiy parametr sifatida rezonans chastota  $\omega_r$  ga yaqin kuchaytirgich chastotalalaridagi uzatish funksiyasining qiymati hisoblanadi. Bu holda (10.17) ifodani quyidagi ko‘rinishga keltirish mumkin:

$$K(i\omega) \approx -\frac{S}{C} \frac{1}{2\alpha_{ekv}} \frac{1}{1+i\frac{2(\omega-\omega_r)}{\omega_r} G_{ekv}} = -K_{\max} \frac{1}{1+i(\omega-\omega_r)\tau_{ekv}} \quad (10.18)$$

bu yerda  $K_{\max} = S/(G_i + G_{sh})$  –  $\omega = \omega_r$  chastotada maksimal kuchaytirish;  $\tau_{ekv}$  – aktiv element  $G_i$  ning ichki o'tkazuvchanligini hisobga olgan holda konturning vaqt doimiysi.

Quyidagi kattalik

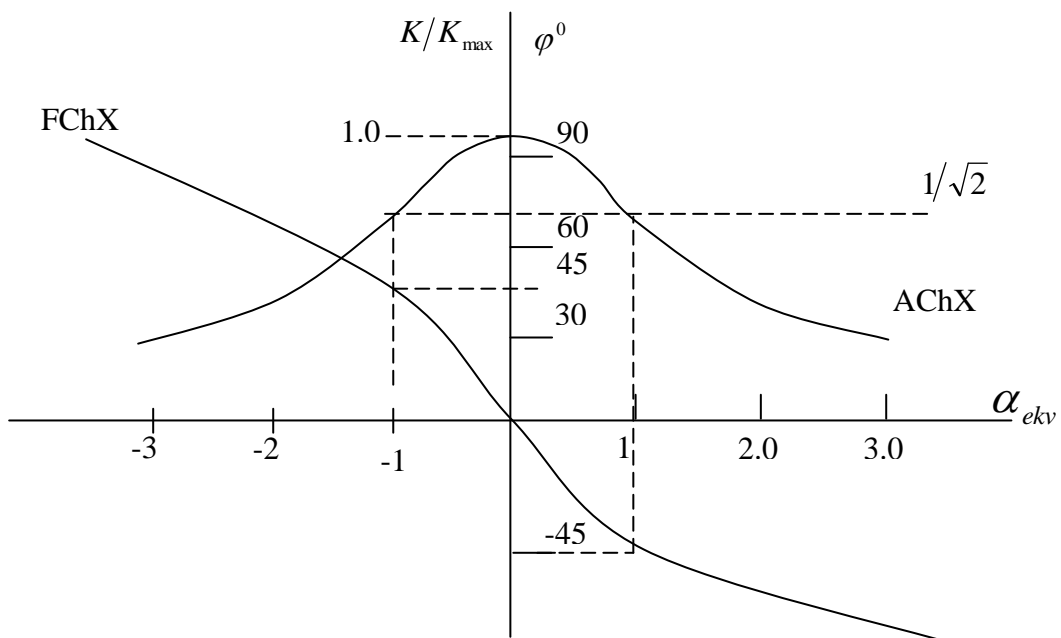
$$\alpha_{ekv} = \frac{2(\omega-\omega_r)}{\omega_r} Q_{ekv} = (\omega-\omega_r)\tau_{ekv} \quad (10.19)$$

konturning umumlashtirilgan buzilishi (nosozlanishi) deyiladi.

(10.18) ifodani quyidagi shaklda yozish mumkin:

$$K(i\omega) = -\frac{K_{\max}}{\sqrt{1+\alpha_{ekv}^2}} e^{-i\arctg\alpha_{ekv}} = -K(\alpha_{ekv}) e^{-i\varphi(\alpha_{ekv})} \quad (10.20)$$

Rezonans kuchaytirgichning  $K(\alpha_{ekv})$  va  $\varphi(\alpha_{ekv})$  xarakteristikaları 10.11-rasmida ko'rsatilgan.



10.11-rasm. Bir konturli rezonans kuchaytirgichning AChX va FChX lari.

$\alpha_{ekv}=0$  qiymatida amplitudaning kenglik  $1/\sqrt{2}$  gacha bo‘lgan chegaralarida o‘z maksimal darajasidan pasayishi bilan aniqlanadigan va umumlashtirilgan buzulish (nosozlanish) bilan ifodalangan rezonans kuchaytirgichning nisbiy o‘tkazish kengligi 2 ga teng.

Signalning tanlovchi zanjir orqali o‘tishini tahlil qilish analitik signalni qo‘llaganda osonlashadi:

$$Z(t) = a(t) + ia_1(t) = A(t)e^{i\omega_0 t} \quad (10.21)$$

bu yerda  $A(t) = A(t)e^{i\theta(t)}$  kompleks og‘uvchi ham amplituda bo‘yicha ham burchak modulatsiyasida  $a(t)$  signalga biriktirilgan to‘liq ma’lumotni o‘z ichiga oladi.

Zanjir orqali o‘tgandan keyin yangi analitik signal hosil bo‘ladi:

$$Z_{chiq}(t) = a_{chiq}(t) + ia_{1chiq}(t) = A(t)e^{i\omega_0 t} = A_{chiq}(t)e^{i\theta_{chiq}(t)}e^{i\omega_0 t} \quad (10.22)$$

uning haqiqiy qismi esa

$$a_{chiq}(t) = \operatorname{Re} Z_{chiq}(t) = A_{chiq}(t) \cos[\omega_0 t + \theta_{chiq}(t)] \quad (10.23)$$

chiqish signalini ifodalaydi.

Shunday qilib, masalani hal qilish, kirish signalning kompleks og‘uvchisiga zanjirning ta’sir etishini aniqlashga olib keladi.

## 11. Nochiziqli zanjirlar va ularni tahlil qilish usullari

### 11.1. Rezistiv va reaktiv nochiziqli elementlar

**Nochiziqli elementlar.** Asosiy radiotexnik o‘zgartirishlar nochiziqli zanjirlar yoki o‘zgaruvchan parametrli chiziqli zanjirlar yordamida amalga oshiriladi.

O‘zgaruvchan parametrli chiziqli zanjirlar nochiziqli elementlar yordamida tashkil etiladi (masalan, yarimo‘tkazgichli diodning  $p-n$  o‘tishidagi sig‘im), ba’zi bir parametrik zanjirlar esa o‘zi nochiziqli rejimda ishlaydi (masalan, parametrik generator).

Nochiziqli elementlar rezistiv (qarshilik) va reaktiv (induktiv, sig‘im) elementlarga ajratiladi. Radiotexnik zanjirlar va qurilmalar uchun eng tavsifli va tarqalgan rezistiv nochiziqli elementlar yarimo‘tkazgichli, lampali va boshqa turli asboblar hisoblanadi, ular nochiziqli volt-amper tavsifnomaga ega bo‘lib, signallarni kuchaytirish yoki o‘zgartirish uchun qo‘llaniladi.

Rezistiv elementning muhim parametrlaridan biri bu – uning tavsifnomasining qiyaligidir. Tavsifnoma qiyaligini aniqlashning ikki usuli mavjud:

- 1) kuchsiz signal rejimida ko‘rib chiqilayotgan ish nuqtasida (differensial qiyalik);
- 2) kuchli garmonik tebranish rejimida (o‘rtacha qiyalik).

Qiyalikni birinchi aniqlash usuli qurilmaning chiziqli ish rejimiga to‘g‘ri keladi (11.1-rasm.) va uning qiyaligi quyidagi formuladan ifodalanadi:

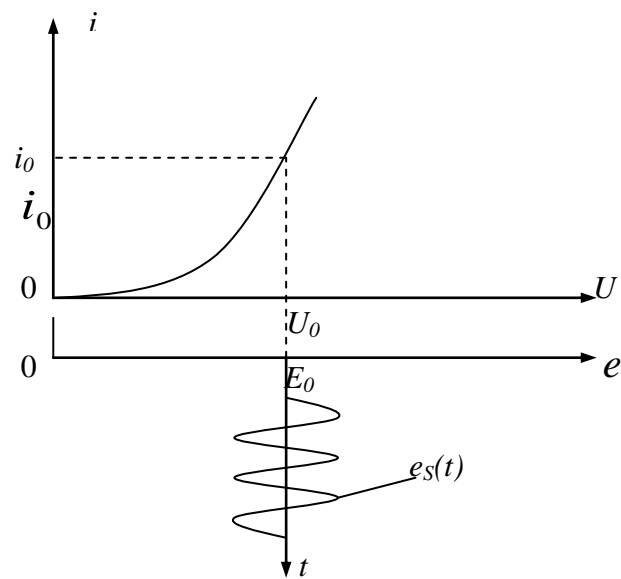
$$S = a_1 = \left( \frac{di}{du} \right)_{u=U_0} \quad (11.1)$$

$U_0$  kuchlanish tranzistorlar uchun  $U_{BE0}=E_1$  olinadi. Buni batafsil ko‘rib chiqaylik.

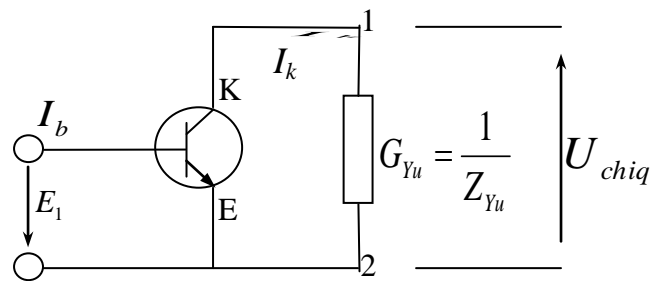
Umumiy emitter (UE) sxemali kuchaytirgich (11.2-rasm) uchun  $\beta=I_k/I_b$  toklar nisbati kuchaytirish qobiliyatini ko‘rsatadi. Biqtibli tranzistorning pasportidagi ma’lumotlar ichida u  $h_{21e}$  ko‘rinishda belgilanadi. UE sxema uchun  $\beta \approx h_{21e}$  tengligi o‘rinlidir, shuning uchun quyidagi parametrni  $U_{be}=U_{BE0}=E_1$  nuqtadagi  $i_k(U_{be})$  tavsifnomaning qiyaligi deb atash mumkin:

$$S = \frac{h_{21E}}{R_{kir}} = h_{21E} \frac{I_b}{E_1} = \frac{I_k}{E_1}. \quad (11.2)$$

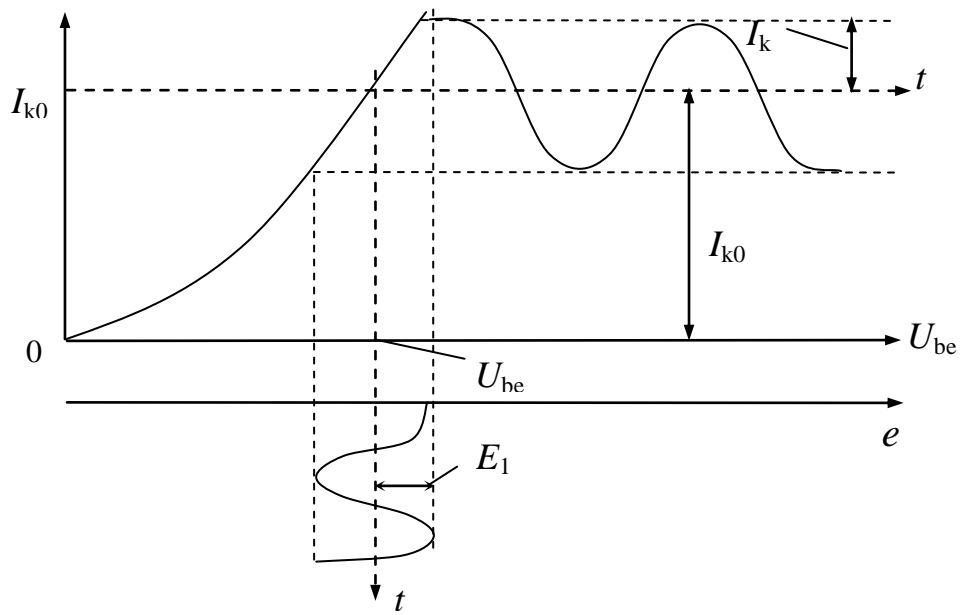
UE tranzistor kuchaytirgichining kuchsiz signal rejimida ishlashi 11.3-rasmda ko‘rsatilgan. Kollektor o‘zgaruvchan tokining amplitudasi ko‘chish kuchlanishi  $U_{BE0}$  ga mos keluvchi o‘zgarmas tok  $I_{K0}$  dan bir necha marta kichik.



11.1-rasm. Nochiziq volt-amper tavsifnomali elementning chiziqli ish rejimi.

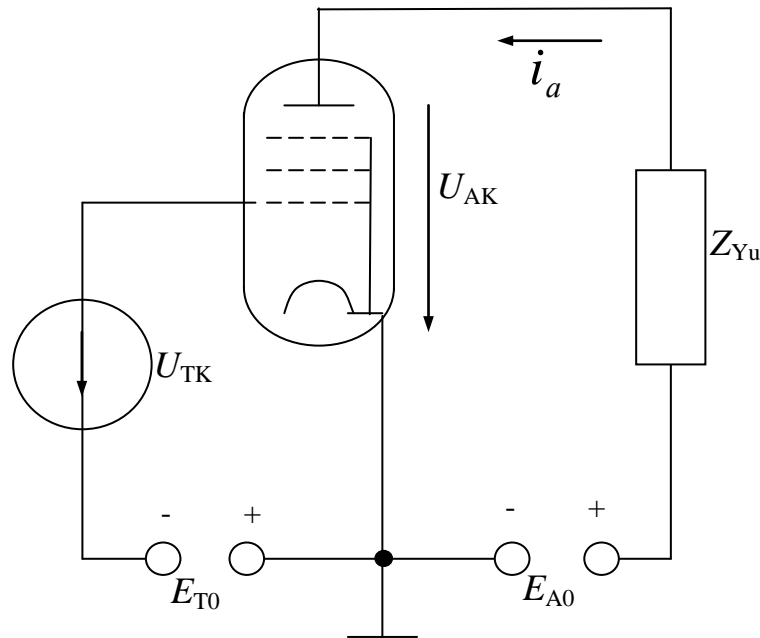


11.2-rasm. UE sxemali tranzistor kuchaytirgichi.



11.3-rasm. UE kuchaytirgichda tebranishning chiziqli kuchaytirish rejimi.

**Chiziqli kuchaytirish rejimi.** Elektron lampali kuchaytirgich uchun yuqoridagi kabi misolni ko‘rib chiqaylik. 11.4-rasmida pentodda yig‘ilgan eng sodda kuchaytirgich sxemasi ko‘rsatilgan.



11.4-rasm. Pentodda yig‘ilgan sodda kuchaytirgich.

Kichik signalda (chiziqli kuchaytirish rejimi) anod toki va to‘rkatod, anod-katod kuchlanishlari orasidagi bog‘lanish quyidagicha aniqlanadi:

$$i_a = S u_{tk} + (1/R_i) u_{ak} = S(u_{tk} + D u_{ak}), \quad (11.3)$$

bunda  $S = \frac{di_a}{du_{sk}}$      $u_{s-k} = E_{so}$ ,     $u_{a-k} = E_{ao}$     bo‘lganda,

$$\frac{1}{R_i} = \frac{di_a}{du_{ak}} \quad u_{s-k} = E_{so}, \quad u_{a-k} = E_{ao} \quad \text{bo‘lganda.}$$

$D = \frac{1}{SR_i}$  – boshqaruvchi to‘r bo‘yicha singdiruvchanlik (nisbat setka tokisiz ishlaganda amal qiladi).

$R_i$  – pentodning ichki qarshiligi.

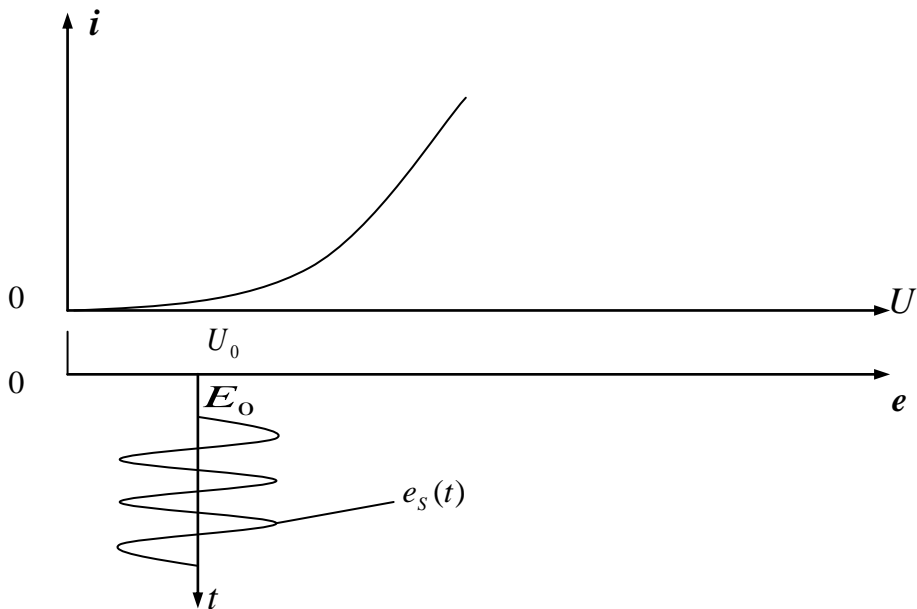
$i_a(U_{tk})$  tavsifnomaning qiyaligi  $S$  va pentodning ichki qarshiligi  $R_i$  differensial parametrlar hisoblanib, pentod VAT dagi ish nuqtasida  $i_a$  tokning berilgan  $i_{ao}$  qiymatdan farqlanganda aniqlanadi. (11.3) ifodada ikkinchi qo'shiluvchi oldida musbat ishora olingani sababi  $U_{ak}$  bu misolda mustaqil manba kuchlanishi sifatida ko'rimoqda.

To'r zanjiri uchun (11.3) ga o'xshash ifoda tuzish mumkin:

$$i = (1/R_{tk})u_{tk} + S_{ta}u_{ak}. \quad (11.4)$$

Qiyalikni aniqlashning ikkinchi usuli butunlay qurilmaning nochiziqli ish rejimiga mos keladi (11.5-rasm) va faqat kirish signalining amplitudasiga bog'liq bo'lgan nochiziqli elementning keng oraliqlardagi VAT ning shaklini hisobga olgan holdagina berilishi mumkin.

Nochiziqli sig'im misolida  $q(u)$  nochiziqli volt-kulon tavsifnomali istalgan qurilma xizmat qilishi mumkin. 1.6-rasmda  $q_{nh}(u)$  va  $C_{nh}(u)/u$  volt-farad tavsifnomalari hamda chiziqli sig'im uchun mos bo'lgan tavsifnomalar  $q_{ch}(u)$  va  $C_{ch}=q_{ch}(u)/u=const$  tasvirlangan.



11.5-rasm. 11.1-rasmdagi volt-amper tavsifnomali elementning nochiziqli ish rejimi.

Ko‘rilayotgan misolda nochiziqli sig‘imning volt-kulon tavsifnomasi  $b_1=1$  Kl/V va  $b_2=0,3$  Kl/V bo‘lganda quyidagi ifoda orqali berilgan:

$$q_{nch}(u)=b_1u+b_2u^2.$$

Bundan keyin u nochiziqli sig‘im  $C(u)$  orqali belgilanadi. Agar  $C(u)$  sig‘imga berilgan kuchlanish vaqt bo‘yicha o‘zgarsa, sig‘im orqali o‘tadigan tokni quyidagi ikki ekvivalent ifodalar orqali aniqlash mumkin:

$$i(t)=\frac{dq(u)}{dt}=\frac{dq(u)}{du}\cdot\frac{du}{dt}, \quad (11.5)$$

$$i(t)=\frac{d[C(u)\cdot u]}{dt}=u\frac{dC(u)}{dt}+C(u)\frac{du}{dt}=\left[u\frac{dC(u)}{du}+C(u)\right]\frac{du}{dt}. \quad (11.6)$$

Agar  $|e|<<U_0$  sharti bilan kuchlanish  $u=U_0+e$  bo‘lsa, bunda  $U_0$  – ish nuqtasidagi kuchlanish,  $e$  – kuchlanishning o‘zgarishi, u holda sig‘imni quyidagi ko‘rinishda ifodalash mumkin:

$$C_0 \approx \frac{dq_{NCh}(u)}{du}\Big|_{u=U_0}. \quad (11.7)$$

Shu yo‘l bilan aniqlangan sig‘imni differensial sig‘im deyiladi.

$C_0$  parametr  $q_{nch}(u)$  volt-kulon tavsifnomaning qiyaligi orqali aniqlanadi. 11.6-rasmida ko‘rsatilgan  $C_0$  ning  $u$  ga bog‘liqligi quyidagi ifoda orqali hisoblanadi:

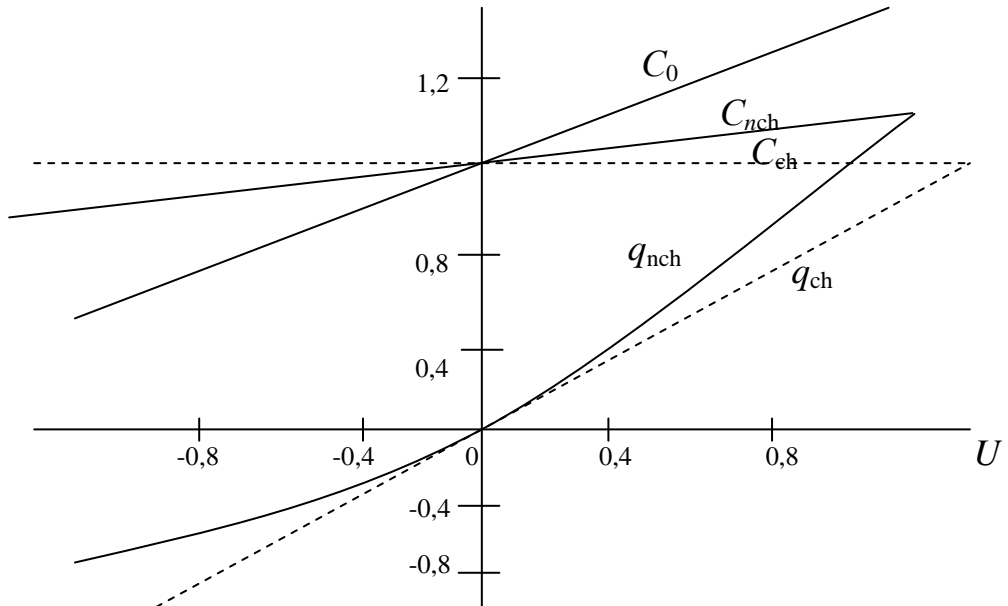
$$C_0=b_1+2b_2u\Big|_{u=U_0}=1+2\cdot 0,3U_0. \quad (11.8)$$

Kuchli tok oqimi ta’sirida o‘zagi magnit to‘yinish darajasiga yetgan ferromagnit o‘zakli g‘altak nochiziqli induktivlik  $L(i)$  misoli bo‘la oladi. Induktivlikdagi  $i$  tok va kuchlanish  $u_2$  orasidagi nisbatni magnit oqimi ifodasidan aniqlanadi:

$$\Phi(i)=L(i)I, \quad (11.9)$$

unga ko‘ra:

$$u_L(t) = \frac{d\phi(i)}{dt} = \frac{dL(i)}{di} \frac{di}{dt} i + L(i) \frac{di}{dt} = \left[ i \frac{dL(i)}{di} + L(i) \right] \frac{di}{dt}. \quad (11.10)$$



11.6-rasm. Chiziqli va nochiziqli sig‘imlarning volt-kulon va volt-farad tavsifnomalari.

Agar induktivlik  $u_L(t)$  kuchlanishi berilgan bo‘lsa, u holda

$$\int u_L(t) dt = u(t) = L(i)i(t) \quad (11.11)$$

va chiziqli induktivlik holatidagi kabi:

$$i(t) = \frac{1}{L(i)} \int u_L(t) \cdot dt \quad (11.12)$$

Differensial induktivlik ostida quyidagi kattalik tushuniladi:

$$L_0 \approx \left. \frac{d\phi(i)}{di} \right|_{i=I_0} \quad (11.13)$$

„Differensial qarshilik, sig‘im va induktivlik“ tushunchalarini kuchsiz signallarni nochiziqli elementlarga nisbatan ta’sirini ko‘rishda

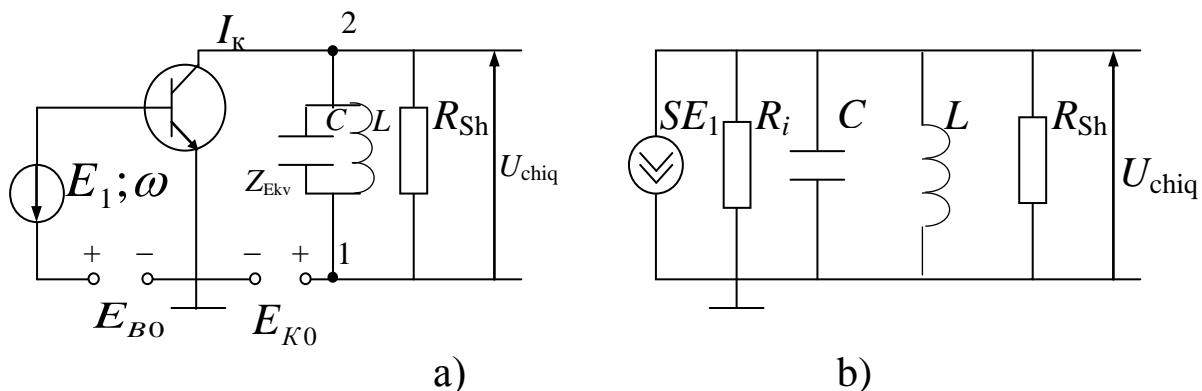
keng qo'llaniladi. Bunda elementning nochiziqliligi  $R_0$ ,  $C_0$  va  $L_0$  lar, ish nuqtasini nochiziqli tavsifnomada joylashganini aniqlaydigan boshqaruvchi kuchlanishga (yoki tokga) bog'liq ekanligidan namoyon bo'ladi. Kuchsiz signalga nisbatan esa bu kabi element o'zgaruvchan parametrlri chiziqli qurilma hisoblanadi (agar nochiziqli elementlarga kuchsiz signalning ta'sirini boshqaruvchi kuchlanish vaqt bo'yicha o'zgarsa).

## 11.2. Nochiziq rezonansli kuchaytirish

**Tokni kesish rejimidagi nochiziq rezonansli kuchaytirgich.** Oldingi bandlarda nochiziqli kuchaytirgichlarni kuchsiz signallar kuchaytirgichlari deb aytilgan edi. Ularda aktiv elementdagi (masalan, tranzistorning kollektor zanjiridagi)  $I_1$  tokning o'zgaruvchan tashkil etuvchisining amplitudasi kuchaytirgichning iste'mol manbasidan olinadigan  $I_0$  o'zgarmas tokning kam ulushini tashkil etadi. Shuningdek, chiqish signali quvvatini energiya manbasidan olinayotgan quvvatiga nisbati orqali aniqlanadigan FIK juda kamdir.

Radio qabulqiluvchi qurilmalarda ishlataladigan rezonans kuchaytirgichlarda  $I_1/I_0$  nisbat shunaqangi kichikki, FIK haqida savol umuman etiborga olinmaydi.  $I_1/I_0$  nisbatni kuchaytirgichning tokni kesish bilan ishslash rejimiga, ya'ni, nochiziqli rejimga o'tkazish yo'li bilan oshirish mumkin.

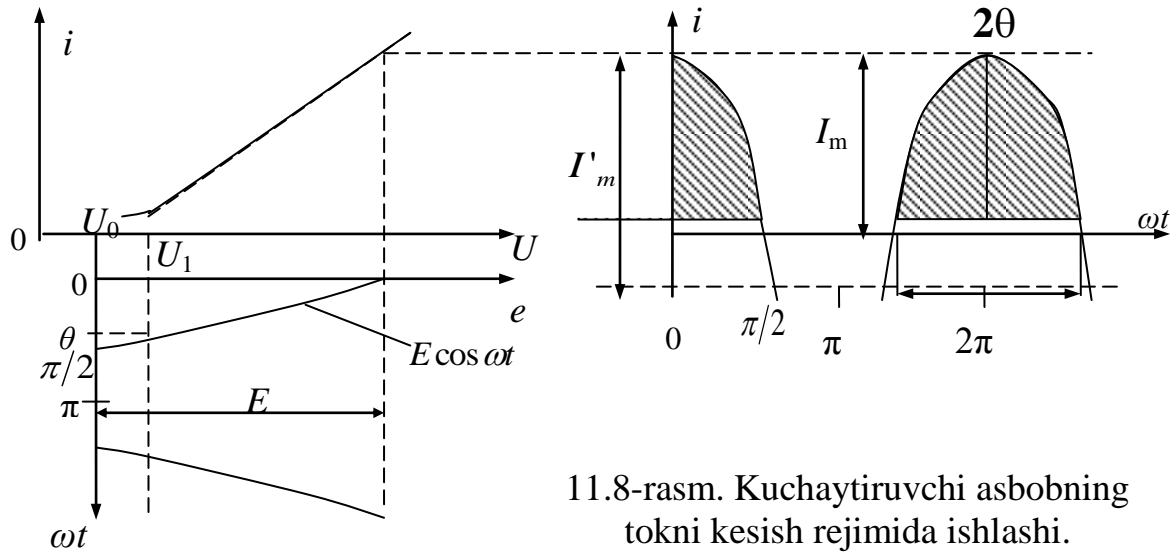
Avvalam bor kuchaytirgich kirishidagi garmonik signalni ko'rib chiqaylik.



11.7-rasm. a) rezonans kuchaytirgich va b) kollektor zanjirining ekvivalent sxemasi.

11.7-rasmida nochiziqli rezonans kuchaytirgichning sxemasi ko‘rsatilgan. Uning asosiy farqi – kuchaytiruvchi asbobning ishlash rejimidadir. Volt-amper tavsifnomadagi  $U_0$  ish nuqtasini siljитish va kirishdagi tebranish  $E_0$  amplitudasini oshirish orqali ish rejimi tranzistorli kuchaytirgichda kollektor toki  $i_k(t)$  ni kesish bilan o‘rnataladi (11.8-rasm).

Tokning maksimal qiymati  $I_m$  dan nolgacha o‘zgarishiga mos keluvchi  $\theta$  burchagi *tokni kesish burchagi* deb nom olgan.



11.8-rasm. Kuchaytiruvchi asbobning tokni kesish rejimida ishlashi.

11.9-rasmidagi VATda signalning  $e_s(t)$  kuchlanishi,  $U_1$  nuqtaning chegarasidan o‘tib ketmaydi.

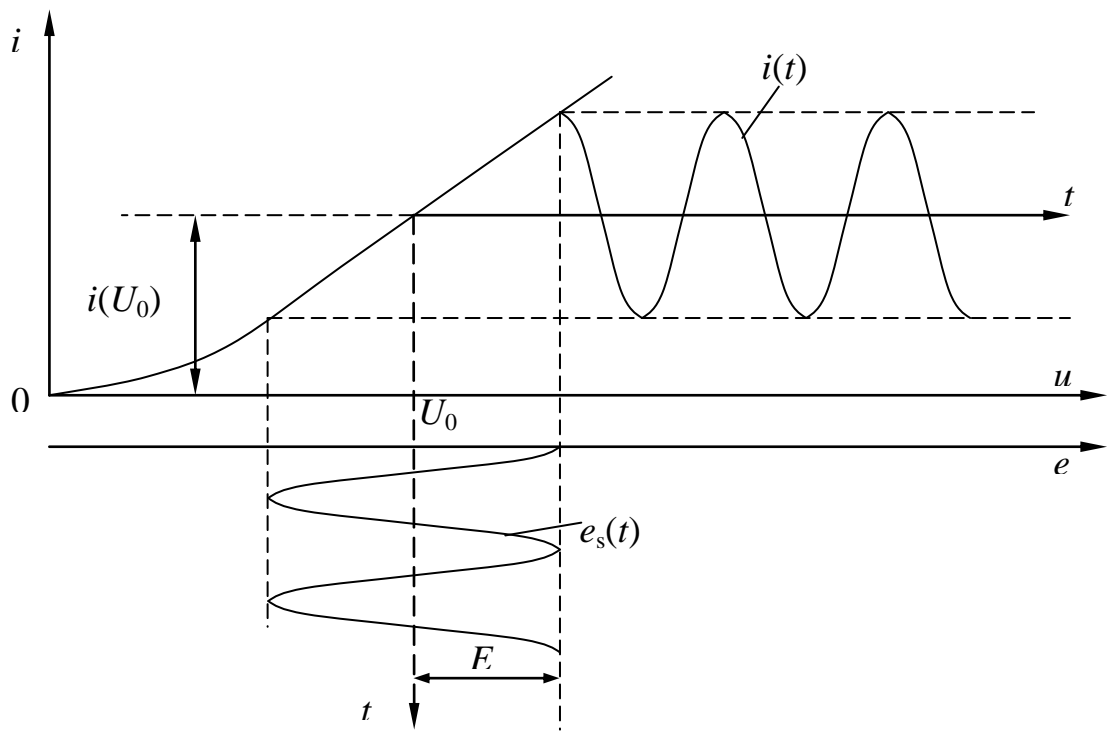
Garmonik tebranishda tok  $i(t)$  impuls shaklni egallaydi (11.8, b-rasm). Tok impulslarining davomiyligi  $2\theta$  ga teng. 11.8, a-rasmdan quyidagi ifoda kelib chiqadi:

$$\cos \theta = (U_1 - U_0)/E. \quad (11.14)$$

Tokning amplitudasi quyidagiga teng:

$$I_m = a_1 [E - (U_1 - U_0)] = a_1 E (1 - \cos \theta). \quad (11.15)$$

bunda  $a_1$  – volt-amper tavsifnomaning chiziqli qismining qiyaligi.



11.9-rasm. Kuchaytiruvchi asbobning kuchsiz nochiziqli ishlash rejimi.

$-\theta < \omega t < \theta$  oralig‘ida nochiziqli elementni garmonik tebrantirganda tok impulsining shakli kesilgan kosinusoidaga yaqin va agar VAT ning pastki egriligidagi qiyalikni hisobga olinmasa (11.8, a-rasm), u holda tokning oniy qiymatini quyidagi tenglama orqali ifodalash mumkin:

$$i(t) = I_m' (\cos \omega t - \cos \theta), \quad -\theta < \omega t < \theta. \quad (11.16)$$

$I_m'$  simvoli bilan  $\theta = \pi/2$  da bo‘lishi mumkin bo‘lgan impuls amplitudasi belgilangan.

Real impulsning  $I_m$  amplitudasi  $\omega t = 0$  momentiga to‘g‘ri kelgani bois, quyidagi nisbat o‘rinlidir :

$$I_m = i(0)I_m' (1 - \cos \theta), \quad \text{undan esa} \quad I_m' = I_m / (1 - \cos \theta).$$

Bu ifodani (11.11) ga qo‘yib, quyidagini olamiz:

$$i(t) = \frac{I_m}{1 - \cos \theta} (\cos \omega t - \cos \theta), \quad -\theta < \omega t < \theta. \quad (11.17)$$

$\theta = 0$  da tok umuman nolga teng (nochiziqli element butun davr mobaynida yopiq);

$\theta = 180^\circ$  da esa tok kesilishi bo‘lmaydi va ish rejimi chiziqli bo‘ladi.

Kesish burchagi  $180^\circ$  dan kam bo‘lganligi ishlashda birinchi  $I_1$  garmonikaning o‘zgarmas  $I_0$  tashkil etuvchiga nisbati birdan katta. Ko‘rinib turibdiki,  $\theta$  ning kamayishi bilan

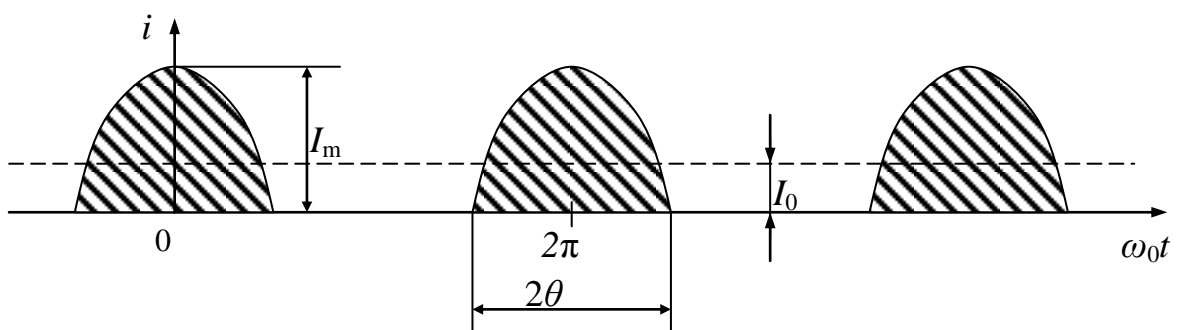
$$\gamma_1 = \frac{\alpha_1}{\alpha_0} = \frac{I_1}{I_0} = \frac{\theta - \sin \theta \cos \theta}{\sin \theta - \theta \cos \theta} \quad (11.18)$$

nisbat ortib boradi, bunda –  $\alpha_0(\theta) = \frac{I_0}{I_m} = \frac{\sin \theta - \theta \cos \theta}{\pi(1 - \cos \theta)}$ ,

$$\alpha_1(\theta) = \frac{I_1}{I_m} = \frac{\theta - \sin \theta \cos \theta}{\pi(1 - \cos \theta)}.$$

Kuchaytirgichlarning istalgan turiga tavsifli bo‘lgan nochiziqli rejimning ahamiyatli tomonlarini ko‘rib chiqamiz.

Kuchaytirgich kesish bilan ishlaganda, tok  $i(t)$  chiqish zanjirida impuls shaklga ega bo‘ladi (11.10-rasm), va o‘zgarmas tashkil etuvchi hamda foydali bo‘lgan birinchi garmonika bilan bartaraf etilishi (filtranishi) lozim bo‘lgan yuqori garmonikalar qatoriga ega bo‘ladi.



11.10-rasm. 1.7-rasmida ko‘rsatilgan rejimga mos keluvchi impuls toki.

Bu masalani kirish tebranishi  $\omega_0$  chastotasiga sozlangan parallel tebranish konturi yechadi. Toklar rezonansida parallel konturning  $Z_{ekr}$

ekvivalent qarshiligi 1–2 nuqtalar (11.7-rasm) orasida juda katta qiymatga ega va kuchaytirgichning yuklama qarshiligi hisoblanadi.

Konturning asilligi:

$$Q = \frac{R_{sh}}{\rho} = \frac{R_{sh}}{1/\omega_r \cdot C} = \frac{\omega_r \tau_k}{2} = \frac{\omega_r}{2\alpha_k}$$

- |                          |   |
|--------------------------|---|
| rezonans chastotasi      | - $\omega_r = 1 / \sqrt{LC}$                      |
| xarakteristik qarshiligi | - $\rho = \sqrt{L/C} = \omega_r L = 1/\omega_r C$ |
| so‘nishi                 | - $\alpha_k = 1 / (2R_{sh} C)$                    |
| vaqt doimiysi            | - $\tau_k = 2R_{sh} C = 1 / \alpha_k$ .           |

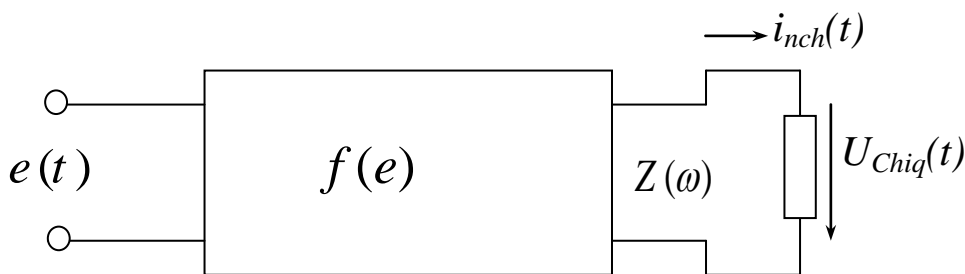
$i(t)$  tokning yuqori garmonikalariga nisbatan yetarlicha katta  $Q$  asillikka ega bo‘lgan konturni qisqa tutashuv deb qarash mumkin.

Natijada, yuklama konturida  $i(t)$  tokning impuls shaklini buzilishiga qaramasdan, huddi chiziqli kuchaytirgichdagi kabi garmonik shaklga juda yaqin bo‘lgan kuchlanish ajralib chiqadi.

Nochiziqli kuchaytirgichda asosiy  $\omega_0$  chastota kuchlanishlari va toklari orasidagi nisbatni o‘rnatamiz.

Agar chiqish kuchlanishining  $I_1$  tokka teskari reaksiyasini hisobga olinmasa, ya’ni umumlashtirilgan 11.10-rasmdan kelib chiqqan holda:

$$I_m = a_I E (1 - \cos \theta) = I_1 / \alpha_I(\theta),$$



11.11-rasm. Nochiziqli to‘rtqutblik va spektrning foydali tashkil etuvchilarini ajratib olish uchun tanlovchi zanjir.

undan kelib chiqqan holda:

$$I_l = \alpha_l(\theta) I_m = \alpha_l(\theta)(1-\cos\theta) a_l E. \quad (11.19)$$

Agar  $a_1$  volt-amper tavsifnomaning chiziqli qismidagi qiyaligi bo‘lsa, ya’ni,  $a_1=S$ , u holda

$$I_l = \alpha_l(\theta)(1-\cos\theta) S E. \quad (11.20)$$

### 11.3. Chastotani ko‘paytirish

Agar kirish signalining katta amplitudasi bilan ishlayotgan rezonansli kuchaytirgich sxemasida tebranish tizimi  $n\omega$  chastotasiga, ya’ni kirish signalining biror bir yuqori garmonikalaridan birining chastotasiga sozlansa, u holda bu qurilma chastota ko‘paytirgichi sifatida qo‘llanilishi mumkin.

Chastota ko‘payturgichi va nochiziqli rezonans kuchaytirgichlarni hisoblash amalda bir-biridan farq qilmaydi. Kollektor tokining birinchi garmonikasi chiqishda hosil qilgan

$$U_{mchiq} = I_l R_{rez} = S R_{rez} U_m \gamma_l(\theta) \quad (11.21)$$

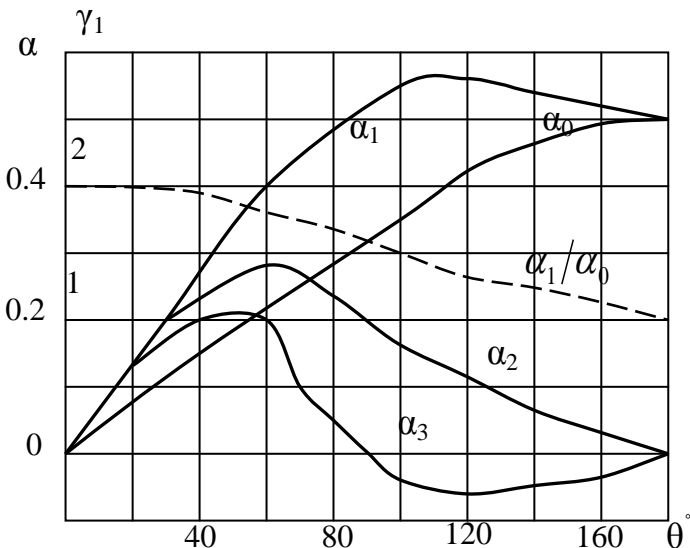
amplitudali foydali kuchlanishning ifodasi kabi, ko‘paytirgichning chiqish signalining amplitudasi bo‘lak-chiziqli approksimatsiyaganida quyidagi ko‘rinishda bo‘ladi:

$$U_{mchiq} = S R_{rez} U_{mkir} \gamma_n(\theta). \quad (11.22)$$

Chastota ko‘paytirgichlarini qurishning qiyin tomoni shundaki, ko‘paytirish darajasining katta qiymatlarida  $\gamma_n(\theta)$  ning qiymatlari kamayib ketadi. Shuning uchun mos keluvchi Berg koeffitsientlarini maksimallashtiruvchi kesish burchagini tanlash zarur.  $\gamma_n(\theta)$  funksiyalarini tahlili shuni ko‘rsatadiki, optimal  $\theta_{opt}$  burchagi mavjud bo‘lib, u quyidagicha aniqlanadi:

$$\theta_{opt} = 180^\circ/n. \quad (11.23)$$

Chastota ko‘paytirgichida tokni kesish burchagi qo‘zg‘atuvchi kuchlanish amplitudasining o‘zgarmas (fiksatsiyalangan) qiymatida aynan shunday bo‘lishi lozim.

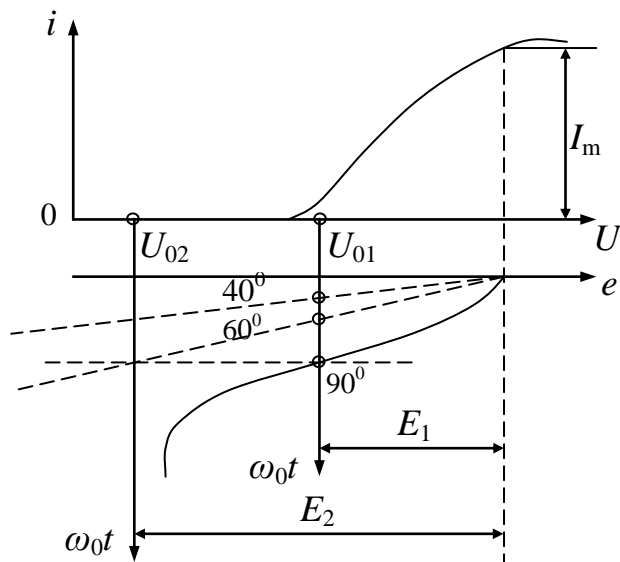


11.12-rasm. Impuls tokni Furye qatoriga yoyishda  $\theta$  kesish burchagiga bog‘liqlik koeffitsienti.

11.12-rasmida ko‘rsatilgan grafiklardan ko‘rinib turibdiki, chastotani ikkiga ko‘paytirish uchun  $60^0$  ga yaqin kesish burchagi bilan ishslash afzaldir. Unda ikkinchi garmonika koeffitsienti maksimumdan o‘tadi, chastotani uchga ko‘paytirish uchun  $40^0$  kesish burchagi to‘g‘ri keladi va hokazo.

Agar kontur  $n\omega_0$ ,  $n = 2, 3, \dots$ , chastotaga sozlangan bo‘lsa, tokning  $n-1$  va undan ham past tartibli garmonikalari induktiv zanjir orqali,  $n+1$  va undan yuqori garmonikalar esa konturning sig‘imli zanjiridan o‘tadi. Yetarlicha yuqori asilligida konturdagi kuchlanish  $n$ -garmonikadan tashqari barcha garmonikalarda juda pastdir. Shuning uchun konturdagi kuchlanish  $n\omega_0$  chastotali garmonik kuchlanishga yaqin bo‘ladi.

Shuni nazarda tutish lozimki, elektron qurilmaning quvvatini to‘liq ishlatish uchun kesish burchagini kamaytirib, impuls amplitudasini o‘zgartirmasdan ushlab turilganda bajarilishi kerak. Buning uchun  $|U_0|$  ko‘chishni o‘zgartirish bilan birgalikda kirishdagi o‘zgaruvchan  $E$  kuchlanishning amplitudasini ko‘tarish zarur bo‘ladi. 11.13-rasmida  $\theta = 90^0$  burchakka  $U_{01}$  ko‘chish mos keladi,  $\theta = 60^0$  burchakka  $U_{02}$  ko‘chishi va hokazo.  $E_1, E_2, \dots$ , amplitudalari shunday tanlanganki,  $I_m$  o‘zgarmasdan qoladi.



11.13-rasm. Ko‘paytirishning har xil koeffitsientlarida chastota ko‘paytirgichi uchun kesish burchagini tanlash.

Yuqoridagilarni hisobga olib, chastota ko‘paytirgichlari uchun kirish signalining katta amplitudali ish rejimi tavsifli ekanini ta’kidlash mumkin.

#### 11.4. Amplituda bo‘yicha chegaralash

Radiotexnikada tanlovchi zanjirlar orqali chastota bo‘yicha modulatsiyalangan tebranishlarni uzatishda radiosignalga qo‘shiluvchi halaqitlar tufayli vujudga keladigan yuqori chastotali tebranishning amplitudasi o‘zgarishini bartaraf etish zaruriyati ko‘p sodir bo‘lib turadi. Buning uchun nochiziqli element va tanlovchi yuklamadan iborat amplituda bo‘yicha chegaralagichlar keng qo‘llaniladi.

Nochiziqli elementning volt-amper tavsifnomasi aniq ko‘rinishli gorizontal qismga ega bo‘lishi zarur, tanlovchi zanjirning o‘tkazish kengligi esa ma’lumotni uzatish uchun ajratilgan kenglikdan ko‘p bo‘lmasligi kerak hamda chegaralanuvchi tebranish chastotasida (yoki fazasida) joylashgan bo‘lishi lozim.

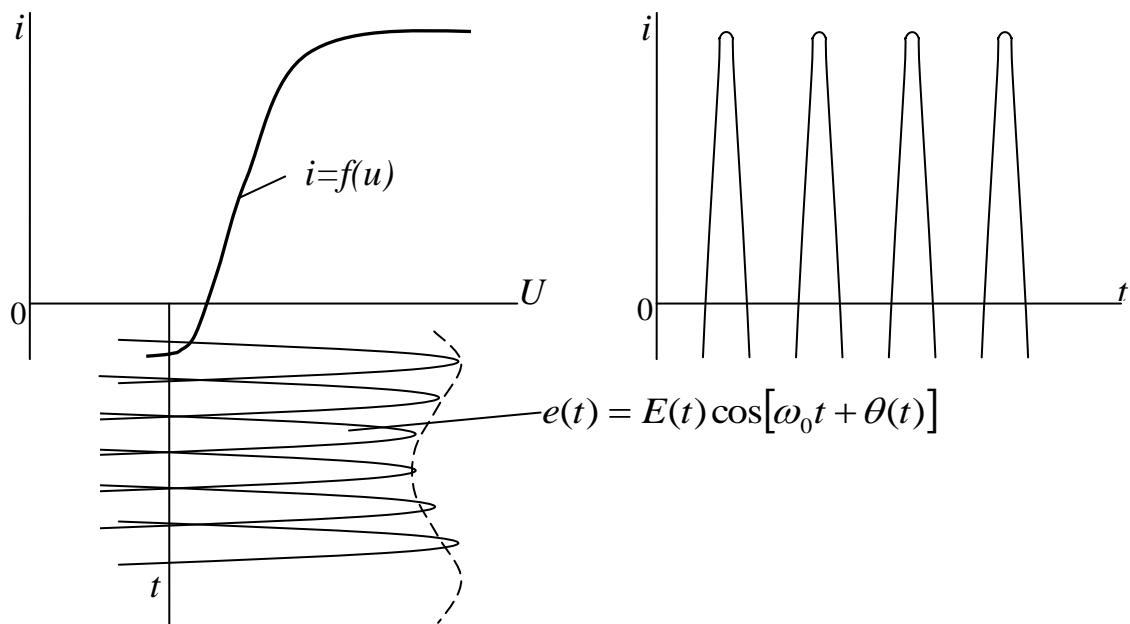
Amplituda bo‘yicha chegaralagich sifatida 11.13-rasmida ko‘rsatilgan ish rejimida ishlovchi 11.6-rasmdagi nochiziqli rezonans kuchaytirgich qo‘llanilishi mumkin.

Chegaralagichga quyidagi ko‘rinishda tebranish berilayotgan bo‘lsin:

$$e(t) = E(t)\cos[\omega_0 t + \theta(t)], \quad (11.24)$$

shuningdek  $E(t)$  og‘uvchining o‘zgarmasligi muhim omillardan biri hisoblanadi. Agar u o‘zgarsa, va bu o‘zgarish  $i=f(u)$  tavsifnomaning gorizontal qismining chegarasidan chiqib ketmasa (11.14-rasm), unda  $E(t)$  ga bog‘liq bo‘limgan holda tok impulsleri bir xil amplitudaga ega bo‘ladi. Impulsler cho‘qqilarining kenligi bir oz o‘zgaradi xolos.

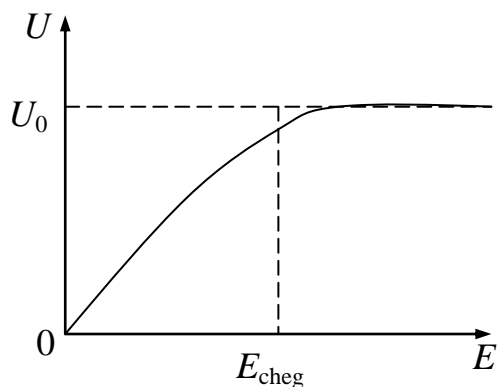
Shu sabab birinchi aniqlashtirishda birinchi garmonikaning amplitudasi va o‘z navbatida tebranish konturidagi kuchlanish amplitudasi ham,  $E(t)$  amplituda o‘zgarishining ma’lum oralig‘idagi o‘zgarmas kattaliklari deb hisoblash mumkin.



11.14-rasm. Amplituda chegaralagichining ish rejimi.

Yuqori garmonikalarni filtrlashni ta’minlovchi, tanlovchi yuklamaga ega bo‘lgan chegaralagichning tavsifnomasini 11.15-rasmida ko‘rsatilganidek, tasvirlash mumkin.

$E_{\text{cheq}}$  orqali kirish kuchlanishi amplitudasining chegaraviy qiymati belgilangan, bu qiymatdan boshlab  $U_0$  sathida to‘liq chegaralash ta’minlanadi.  $E(t) > E_{\text{cheq}}$  bo‘lganda chiqishdagi amplituda deyarli o‘zgarmaydi. Tokning birinchi garmonikasining fazasi va shuningdek chiqish kuchlanishining fazasi chegaralagichning kirishidagi kuchlanish fazasi bilan mos tushadi.



11.15-rasm. Rezonans chegaralagich tavsifnomasi.

Shu sabab chiqish kuchlanishi uchun quyidagi ifodani keltirish mumkin:

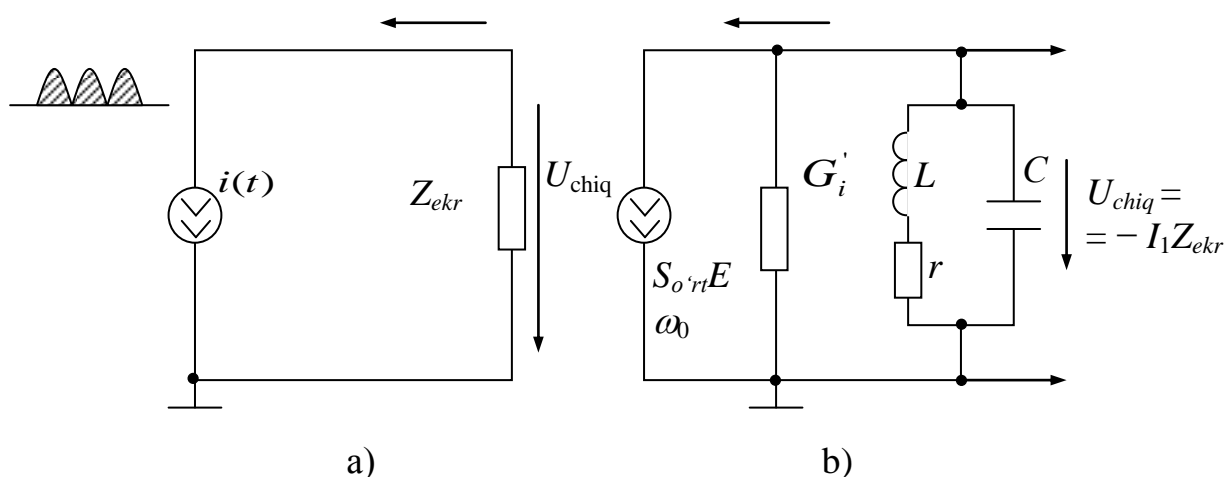
$$u_{chiq}(t) \approx U_0 \cos[\omega_0 t + \theta(t)]. \quad (11.25)$$

Chiqish kuchlanishi  $U_0$  amplitudasini nochiziqli element va tanlovchi yuklama parametrlari orqali aniqlanadi.

11.16, b - rasmdagi sxema uchun :

$$U_0 = I_1 Z_{ekr}$$

bunda  $Z_{ekr}$  – toklar rezonansida parallel konturning ekvivalent qarshiligi,  $I_1$  – impuls cho‘qqisining torayishini hisobga olgan holda aniqlanadigan birinchi garmonika amplitudasi.

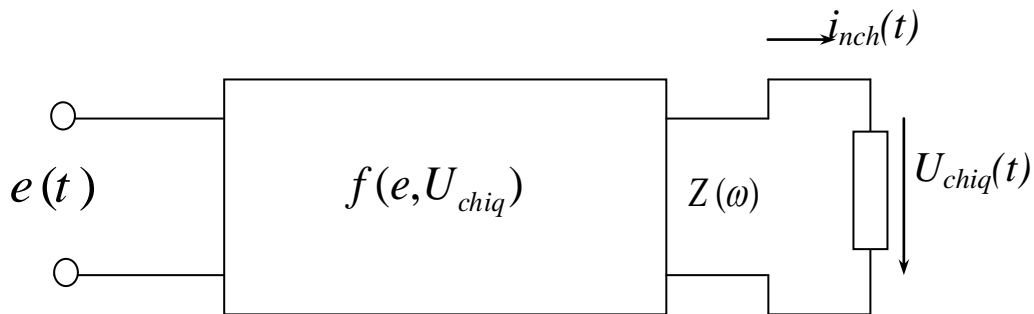


11.16-rasm. Kuchaytirgich chiqish zanjirining umumiyl ekvivalent sxemasi:  
a) tokni kesish rejimida; b) impulsli tokning 1-garmonikasi uchun.

## 11.5. Signal chastotasini o'zgartirish

Radiotexnikada ko'p hollarda signal spektrini chastotalar o'qi bo'y lab ma'lum bir o'zgarmas qiymatga signal strukturaviysi (tuzilishi) saqlagan holda siljedishni amalga oshirish talab qilinadi. Bunday siljedishni *chastotani o'zgartirish* deyiladi.

Nochiziqli elementga ikki kuchlanishning ta'sirini ko'rib chiqaylik.



11.17-rasm. Nochiziqli to'rtqutblik va teskari reaksiya sodir bo'lganda spektrning foydali tashkil etuvchilarini ajratib olish uchun tanlovchi zanjir.

Nochiziqli zanjirda tok  $i_{nch}(t)$  ham kirishdagi  $e(t)$  signalga, ham kuchlanish  $U_{chiq}(t)$  ga bog'liq bo'ladi. Nochiziqli elementning tavsifnomasini ko'rsatuvchi  $f(e)$  nochiziqli funksiya uning qurilishi va ish rejimiga bog'liq.

$Z(\omega)$  orqali chiziqli-chastotaviy tanlovchi zanjirning kompleks qarshiligi belgilangan. Berilgan bu holatda yordamchi generator (geterodin) tomonidan ishlab beriladigan tebranish garmonik hisoblanadi. Ikkinchchi tebranish, ya'ni signal, istalgan murakkab, ammo tor kenglikka ega jarayon bo'lib, u o'zgartirilishi lozim bo'ladi.

Shunday qilib, nochiziqli elementga ikki kuchlanish ta'sir qilmoqda:

geterodindan

$$e_g = E_g \cos(\omega_g t + \theta_g), \quad (11.26)$$

signal manbasidan

$$e_s = E_s(t) \cos \left[ \int \omega_s(t) dt + \theta_s \right]. \quad (11.27)$$

$E_g$  amplituda,  $\omega_g$  chastota va boshlang‘ich faza  $\theta_g$  geterodin tebranishing o‘zgarmas kattaliklaridir. Signalning  $E_s(t)$  amplitudasi va  $\omega_s(t)$  oniy chastotasi modulatsiyalangan bo‘lishi mumkin, ya’ni vaqtning sekin o‘zgaruvchi funksiyalari (tor kenglikli jarayon) bo‘lishi mumkin. Signalning boshlang‘ich fazasi  $\theta_s$  – o‘zgarmas kattalik.

Chastotani o‘zgartirilishining maqsadi, yig‘indi yoki farqlanuvchi  $\omega_s \pm \omega_g$  chastotani olish hisoblanadi.

Tebranishni quyidagi yig‘indi ko‘rinishida tasvirlaymiz:

$$s(t) = E_1 \cos(\omega_1 t + \theta_1) + E_2 \cos(\omega_2 t + \theta_2) = E_1 \cos \Psi_1(t) + E_2 \cos \Psi_2(t). \quad (11.28)$$

Endi quyidagini eslaylik: asli tavsifnomani uni yaqinlashtirib ko‘rsatadigan funksiya bilan almashtirilish tavsifnomani approksimatsiyalash deyiladi. Ehg keng tarqalgan usullardan biri bu – darajali polinom bilan approksimatsiyalash hisoblanadi.

Approksimatsiyalovchi darajali polinomni quyidagi shaklda yozamiz:

$$i(u) = i(U_0) + a_1(u - U_0) + a_2(u - U_0)^2 + a_3(u - U_0)^3 + \dots \quad (11.29)$$

$a_1, a_2, a_3, \dots$ , koeffitsientlari

$$a_1 \left( \frac{di}{du} \right)_{u=U_0}, \quad a_2 = \frac{1}{2!} \left( \frac{d^2 i}{du^2} \right)_{u=U_0}, \quad a_3 = \frac{1}{3!} \left( \frac{d^3 i}{du^3} \right)_{u=U_0}. \quad (11.30)$$

ifodalar orqali aniqlanadi, bunda  $a_1$  – tavsifnomaning  $u = U_0$  nuqtadagi qiyaligini ko‘rsatadi;  $a_2$  – qiyalikning  $1/2!$  koeffitsientli birinchi hosilasini,  $a_3$  – qiyalikning  $1/3!$  koeffitsientli ikkinchi hosilasini va h.k. Volt-amper tavsifnomaning berilgan shaklida  $a_1, a_2, a_3, \dots$ , koeffitsientlar  $U_0$  ga, ya’ni, ish nuqtasining tavsifnomadagi vaziyatiga bog‘liq.

(11.28) ni (11.29) qatorga qo‘yish quyidagi natijalarga olib keladi:

a) qatorning chiziqli tashkil etuvchisi uchun

$$a_1 e_s(t) = a_1 E_1 \cos \Psi_1(t) + a_2 E_2 \cos \Psi_2(t) \quad (11.31)$$

b) qatorning kvadratik tashkil etuvchisi uchun

$$a_2 e_s^2(t) = a_2 [E_1 \cos \Psi_1(t) + E_2 \cos \Psi_2(t)]^2 = 1/2 a_2 (E_1^2 + E_2^2) + \\ + 1/2 a_2 E_1^2 \cos 2(\omega_1 t + \theta_1) + 1/2 a_2 E_2^2 \cos 2(\omega_2 t + \theta_2) + \\ + a_2 E_1 E_2 \{ \cos[(\omega_1 + \omega_2)t + (\theta_1 + \theta_2)] + \cos[(\omega_1 - \omega_2)t + (\theta_1 - \theta_2)] \} \quad (11.32)$$

vaqtga bog‘liq bo‘lmagan birinchi qo‘shiluvchi o‘zgarmas tokning ko‘payishini aniqlab beradi.  $2\omega_1$  va  $2\omega_2$  chastotali qo‘shiluvchilar kirish signalining mos tashkil etuvchilarining ikkinchi garmonikalaridir.  $\omega_1 - \omega_2$  chastotali qo‘shiluvchilar kombinatsion tebranishlarni ko‘rsatadi.

Shunday qilib, chastota o‘zgartirishning maqsadi, yig‘indi yoki farqlovchi chastota  $\omega_s \pm \omega_g$  ni olish hisoblanadi. (11.32) ifodadan kelib chiqqan holda, buning uchun kvadratik nochiziqlikni qo‘llash zarur. Nochiziqli element sifatida diodni olamiz, ammo signal va geterodin tebranishlarining o‘zaro amal qilish natijalarini to‘liq aniqlash uchun diodning tavsifnomasini to‘rtinchchi darajali polinom bilan approksimatsiyalaymiz:

$$i = i_0 + a_1(e_s + e_g) + a_2(e_s + e_g)^2 + a_3(e_s + e_g)^3 + a_4(e_s + e_g)^4 = \\ = i_0 + a_1 e_s + a_1 e_g + a_2 e_s^2 + 2a_2 e_s e_g + a_2 e_g^2 + a_3 e_s^3 + 3a_3 e_s^2 e_g + \\ + a_3 e_g^3 + a_4 e_s^4 + 6a_4 e_s^2 e_g^2 + 4a_4 e_s^3 e_g + 4a_4 e_s e_g^3 + a_4 e_g^4. \quad (11.33)$$

Har xil darajali faqat  $e_s$  va  $e_g$  lardan iborat qo‘shiluvchilar qiziqish hosil qilmaydi.

Chastotani o‘zgartirish (siljitim) nuqtai nazaridan asosiy natijani  $e_s^n e_g^m$  ko‘rinishdagi ko‘paytmalardan iborat tashkil etuvchilar hal etadi.

Shu ko‘paytmalarga (11.26) va (11.27) ifodalarni qo‘yib hamda  $\omega_s + \omega_g$  yig‘indi yoki  $\omega_s - \omega_g$  farqlanish chastotalari bo‘lmagan tashkil etuvchilarini chiqarib tashlab, oson trigonometrik kiritishlardan keyin quyidagi oxirgi natijaga kelamiz :

$$i_{\omega_s \pm \omega_g}(t) = a_2 E_s(t) E_g \left\{ \cos \left[ \left( \int \omega_s(t) dt + \omega_g t \right) + \theta_s + \theta_g \right] + \right. \\ \left. + \cos \left[ \left( \int \omega_s(t) dt - \omega_g t \right) + \theta_s - \theta_g \right] \right\} + \frac{3}{2} a_4 E_s(t) E_g [E_s^2(t) + E_g^2] \times$$

$$\times \left\{ \cos \left[ \left( \int \omega_s(t) dt + \omega_g t \right) + \theta_s + \theta_g \right] + \cos \left[ \left( \int \omega_s(t) dt - \omega_g t \right) + \theta_s - \theta_g \right] \right\}. \quad (11.34)$$

Bu natijadan ko‘rinib turibdiki, bizni qiziqtirayotgan  $\omega_s \pm \omega_g$  chastotalar nochiziqli elementning tavsifnomasini approksimatsiyalovchi polinomning juft darajalari tufayli vujudga keladi. Lekin polinomning ( $a_2$  koeffitsientli) birgina kvadratik tashkil etuvchisigina faqat  $E_s(t)$  birinchi darajasiga proporsional amplitudali tashkil etuvchilarni hosil qiladi. Ancha yuqori juft darajalar (to‘rtinch, oltinchi, va h.k.) bu proporsionallikni buzadi, chunki ular kiritadigan tebranishlar amplitudalari shuningdek  $E_s(t)$  ning birinchisidan yuqori bo‘lgan darajalarga ega bo‘ladi. Bundan ko‘rinib turibdiki,  $E_s$  va  $E_g$  amplitudalari shunday hisob bilan tanlanishi kerakki, (1.33) ifodadagi yoyilishda ikkinchi darajadan yuqori bo‘lmagan qo‘shiluvchilar ustunlikka ega qiymatda bo‘lishi lozim.

Buning uchun quyidagi tengsizliklar bajarilishi zarur:

$$E_s^2 \ll a_2 \left( \frac{3}{2} a_4 \right), \quad E_g^2 \ll a_2 \left( \frac{3}{2} a_4 \right),$$

u holda (1.34) ifoda quyidagi ko‘rinishga keladi:

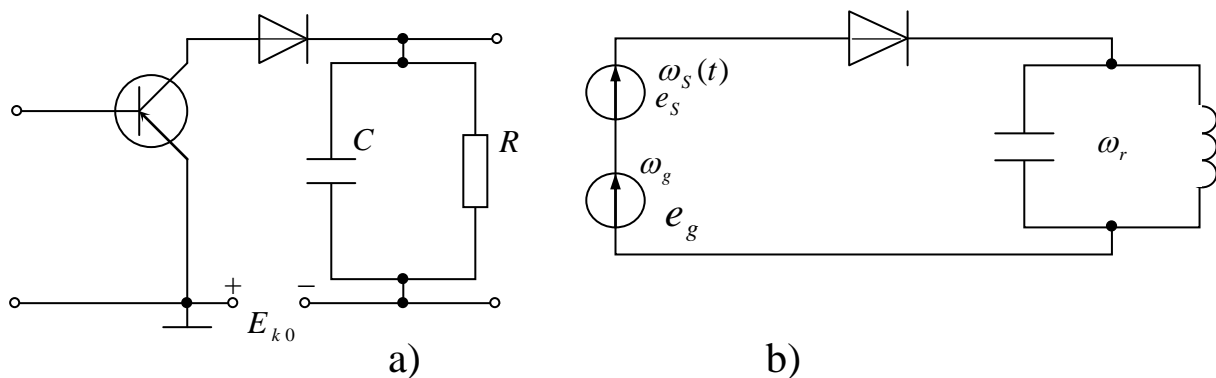
$$i_{\omega_s} \pm \omega_g(t) \approx a_2 E_s(t) E_g \left\{ \cos \left[ \left( \int \omega_s(t) dt + \omega_g t \right) + \theta_s + \theta_g \right] + \cos \left[ \left( \int \omega_s(t) dt - \omega_g t \right) + \theta_s - \theta_g \right] \right\}. \quad (11.35)$$

Radioqabulqiluvchi va boshqa ko‘pgina qurilmalarda chastotani o‘zgartirish masalasi signalni kuchaytirish masalasi bilan keskin bog‘liq bo‘lgan hollarda, odatda,  $E_s \ll E_g$  bo‘ladi.

Katta qavslar ichidagi  $\omega_s(t) + \omega_g$  chastotali birinchi qo‘shiluvchi (kosinus argumentidan hosila) signal spektrini yuqori chastotalar mintaqasiga siljitishtga mos keladi,  $\omega_s(t) - \omega_g$  chastotali ikkinchi qo‘shiluvchi esa past chastotali mintaqaga siljitishtga mos keladi. Shu ikkala yig‘indi yoki farqlanuvchi chastotalarning birini ajratib olish uchun o‘zgartirgichning chiqishida mos keluvchi yuklamani qo‘llash zarur. Masalan,  $\omega_s$  va  $\omega_g$  chastotalar bir-biriga yaqin bo‘lsin, va nolga yaqin joylashgan past chastotani ajratib olish talab qilinsin.

Bu kabi masala o‘lchash texnikasida ko‘p uchrab turadi va u „nolli urilish” usuli deyiladi. Bu holda yuklama xuddi amplitudali detektorlashdagi kabi, ya’ni  $R$  va  $C$  parallel ulanishdan iborat bo‘lishi kerak, (11.18-rasm) hamda  $\omega_s$  va  $\omega_g$  yuqori chastotalarni filtrlashni ta’minlab,  $\omega_s - \omega_g$  farqlanuvchi chastota yuqori chastotalar diapazonida yotsa, uni ajratib olish uchun rezonansli tebranuvchi zanjirni (11.18-rasm) qo‘llash lozim.

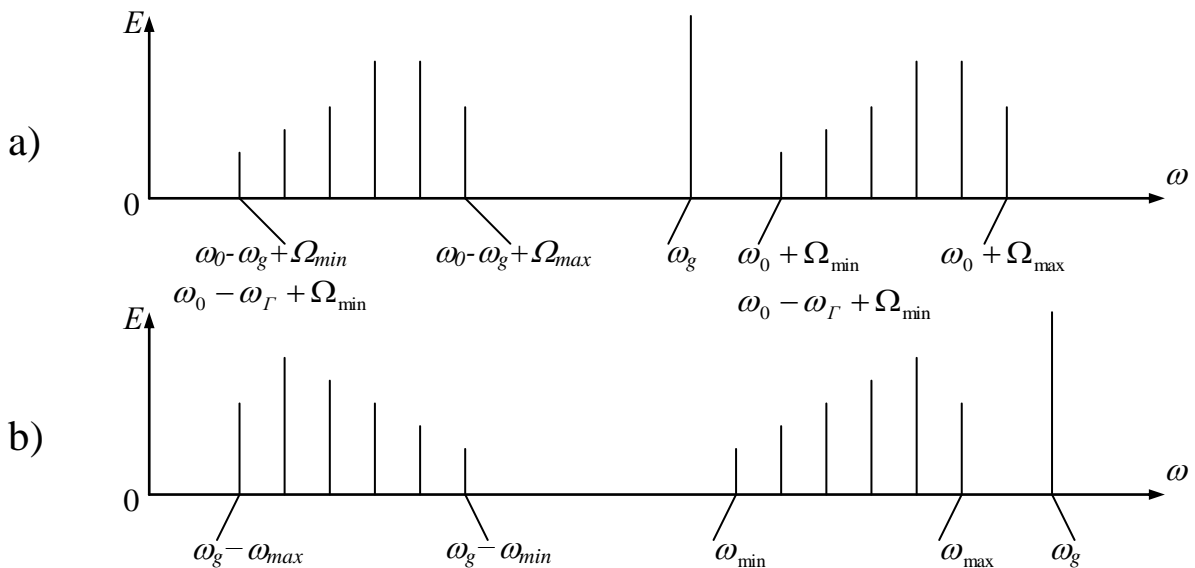
Agar foydali, ajratib olinishi zarur bo‘lgan yig‘indi chastota  $\omega_s + \omega_g$  bo‘lsa, u holda kontur mos ravishda  $\omega_r = \omega_s + \omega_g$  chastotaga sozlangan bo‘lishi kerak.



11.18-rasm.  $R$  va  $C$  parallel ulangan filtr (a) va uning ekvivalent sxemasi (b).

Odatda o‘zgartirgichning yuklamasi hisoblangan tebranish zanjirining o‘tkazish kengligi modulatsiyalangan tebranish spektrining kengligiga moslashgan. Bu holda  $\omega_s \pm \omega_g$  ga yaqin chastotalarga ega tokning barcha tashkil etuvchilari kontur orqali bir tekis o‘tadi va chiqishda signalning tuzilishi kirishdagi signal tuzilishi bilan mos keladi.

Birgina tafovut shundaki, chiqishdagi chastota  $\omega_s(t) + \omega_g$  yoki  $\omega_s(t) - \omega_g$  ga teng, ya’ni, yuklama zanjirining rezonans chastotasiga bog‘liq. Chastotani o‘zgartirishda amplituda  $E_s(t)$ , chastota  $\omega_s(t)$  va faza  $\int \omega_s(t) dt$  larning o‘zgarish qonunlari chiqish tebranishiga o‘tkaziladi. Bu ma’noda ko‘rilayotgan signalni o‘zgartirish chiziqli yoki „aralashtirgich” deb ataladi.



11.19-rasm. O‘zgartirgich kirishi va chiqishidagi signal spektri.

Farqlanuvchi chastotani ajratishda signalning tuzilishi  $\omega_s(t) > \omega_g$  bo‘lganda saqlanadi. Agar  $\omega_s(t) < \omega_g$  bo‘lsa, signal spektri teskari siljiydi.

11.19, a - rasmida o‘zgartirgichning kirishi va chiqishidagi spektral diagramma kirish tebranishi spektriga kiruvchi barcha chastotalar  $\omega_g$  geterodin chastotasidan yuqori bo‘lgan holat uchun tasvirlangan. Chap tomonga  $\omega_g$  kattalikka siljtilib o‘zgartirilgan spektr xuddi kirish spektri kabi tuzilishga ega. 11.19, b - rasmida  $\omega_s(t) < \omega_g$  bo‘lganda o‘zgartirilgan spektrda  $\omega_{max}$  va  $\omega_{min}$  o‘rinlari almashadi.

## 11.6. Nochiziqli elementlar zanjiriga garmonik signalning ta’siri. Nochiziq zanjirlarda jarayonlarni modellashtirish

Signallarni ba’zi bir o‘zgartirishlarini reaktiv nochiziqli elementlar yordamida, masalan, yarimo‘tkazgichli diodning  $p-n$  o‘tishidagi nochiziqli sig‘imga asoslanib amalga oshirish mumkin.

Bunday asboblarning umumiy nomi – varikap. O‘YUCH diapazonida ishlashga mo‘ljallangan varikap *varaktor* deyiladi. Varaktor chastotani ko‘paytirish rejimida ancha yuqori quvvat ishlab chiqaradi.  $C_{NCH}$  sig‘imli zanjirda  $e(t)$  garmonik ta’sirda  $i_{NCH}(t)$  tok hosil bo‘lib, u

$n\omega_1$  chastotalarga ega garmonikalardan iborat. Bu esa chastotani ko‘paytirish imkonini beradi.

Berilgan bu holatda tahlil asosiga varaktorning volt-kulon tavsifnomasini olish mumkin:

$$q = q_0 + b_1 e + b_2 e^2 + \dots + b_k e^k, \quad (11.36)$$

bunda  $b_1 = C_0$  quyidagi ifoda orqali aniqlanadi:

$$C_0 \approx \frac{dq_{NCH}(u)}{du} \Big|_{u=U_0}, \quad (11.37)$$

bunda  $U_0$  – ish nuqtasidagi kuchlanish;

$$b_2 = \frac{1}{2!} \left( \frac{d^2 q}{de^2} \right), \quad b_3 = \frac{1}{3!} \left( \frac{d^3 q}{qe^3} \right), \dots \quad (11.38)$$

Agar  $C(u)$  sig‘imga berilgan kuchlanish vaqt bo‘yicha o‘zgarsa, u holda sig‘im orqali o‘tuvchi tokni quyidagi ikki ekvivalent ifoda yordamida aniqlash mumkin:

$$i(t) = \frac{dq(u)}{dt} = \frac{dq(u)}{du} \frac{du}{dt}, \quad (11.39)$$

$$i(t) = \frac{d[C(u)U]}{dt} = u \frac{dC(u)}{dt} + C(u) \frac{du}{dt} = \left[ U \frac{dC(u)}{du} + C(u) \right] \frac{du}{dt}. \quad (11.40)$$

(11.39) ifodani (11.36) qatorga qo‘llab, nochiziqli sig‘im orqali o‘tadigan tokni topamiz:

$$i_{NCH}(t) = \frac{dq}{dt} = \frac{dq}{de} \frac{de}{dt} = b_1 \frac{de}{dt} + 2b_2 e \frac{de}{dt} + 3b_3 e^2 \frac{de}{dt} + \dots + kb_k e^{k-1} \frac{de}{dt}. \quad (11.41)$$

Bu qatorning birinchi uchta qo‘shiluvchilari tuzilishini quyidagi holat bo‘lganda ko‘rib chiqamiz:

$$e(t) = E \cos(\omega_1 t + \theta_1) = E \cos \psi_1(t).$$

Birinchi qo'shiluvchi  $\omega_1$  chastotali oddiy chiziqli sig'im  $C_0$  orqali o'tuvchi tokka mos keladi:

$$b_1 \frac{de}{dt} = -C_0 \omega_1 E \sin \psi_1(t) = -C_0 \omega_1 E \sin(\omega_1 t + \theta_1). \quad (11.42)$$

Ikkinchi qo'shiluvchi  $i_{NCH}(t)$  tokning spektriga  $2\omega_1$  va  $I_{\omega_2} = b_2 \omega_1 E^2$  amplitudali tashkil etuvchini kiritadi:

$$2b_2 e \frac{de}{dt} = 2b_2 E \cos \psi_1(t) [-\omega_1 E \sin \psi_1(t)] = -b_2 \omega_1 E^2 \sin(2\omega_1 t + 2\theta_1). \quad (11.43)$$

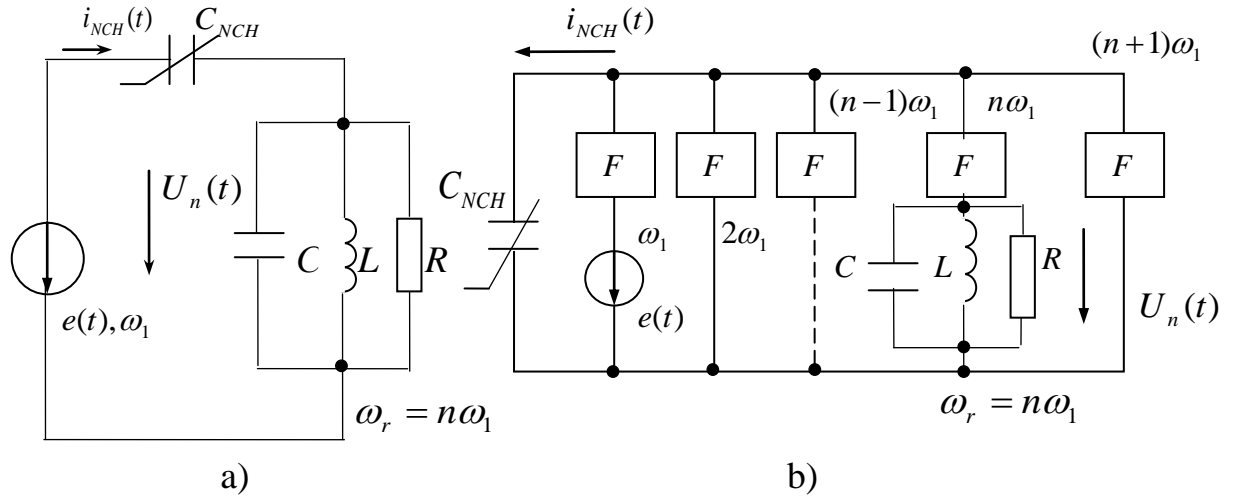
Uchinchi qo'shiluvchi  $3b_3 e^2 \frac{de}{dt} = -3b_3 E^2 \cos^2 \psi_1(t) [-\omega_1 E \sin \psi_1(t)]$  esa, quyidagi ko'rinishga keladi:

$$-\frac{3b_3 \omega_1 E^3}{4} [\sin(\omega_1 t + \theta_1) - \sin(3\omega_1 t + 3\theta_1)]. \quad (11.44)$$

Keltirilgan nisbatlardan garmonik ta'sir vaqtida  $i_{NCH}(t)$  tokning spektri hosil bo'lish qonuniyati ko'rinish turibdi. Inersiyasiz rezistiv elementli zanjir uchun bo'lgani kabi juft darajali qator qo'shiluvchilar juft garmonikalarni kiritadi, toq darajali qo'shiluvchilar esa toq garmonikalarni kiritadi. Garmonikalarning eng yuqori tartibi volt-kulon tavsifnomasini approksimatsiyalovchi polinomning  $k$ -darajasiga teng. Tok spektridagi doimiy tashkil etuvchi mavjud bo'lmaydi.

11.20-rasmda varaktorda yig'ilgan chastota ko'paytirgichining funksional sxemasi tasvirlangan.

Yarimo'tkazgich materialning qarshiligi va varaktorning nochiziqli sig'imini shuntlovchi aktiv o'tkazuvchanlik bu sxemada hisobga olinmaydi.  $i_{NCH}(t)$  tokning  $n$ -garmonikasi uchun yuklama qarshiligi  $R$  ga teng, qolgan barcha chastotalar uchun qarshilik qiymatini juda kichik deb hisoblash mumkin (kontur asilligi yetarlicha yuqori bo'lganda).



11.20-rasm. Varaktor yordamida chastotani ko‘paytirish: a) ketma-ket va b) parallel ekvivalent sxemalar.

Konturdagi kuchlanishni (11.43) va (11.44) larga asosan quyidagi ko‘rinishda yozish mumkin:

$$U_n(t) = I_n R \sin(n\omega_1 t + n\theta_1) = U_n \sin(n\omega_1 t + n\theta_1), \quad (11.45)$$

bunda  $I_n$  – tok  $i_{NCH}(t)$  ning  $n$ -garmonika amplitudasi.

Quvvat tortib oluvchi yuklama konturni kiritish,  $i_{NCH}(t)$  tok spektrining tuzilishini o‘zgartiradi, u salt yurish rejimida (11.41) ifoda orgali aniqlanadi. Yuklama rejimida spektr tuzilishini aniqlash uchun nochiziqli sig‘imda ikki kuchlanish  $e(t)$  va  $U_n(t)$  larning o‘zaro ta’sirini hisobga olish zarur. Shu maqsadda berilgan (11.41) ifodada  $e(t)$  kuchlanish  $U_n(t)$  qo‘shiluvchi bilan to‘ldirilgan bo‘lishi kerak. Undan keyin (11.43) va (11.44) kabi o‘zgartirishlarni bajarib,  $i_{NCH}(t)$  tokning hamma spektral tashkil etuvchilarini topamiz.

Tahlilni davom ettirish uchun 11.20, a - rasmdagi ketma-ket ekvivalent sxemani 11.20, b - rasmdagi parallel sxemaga o‘zgartirish maqsadga muvofiq. Parallel ekvivalent sxemada  $i_{NCH}(t)$  tokning har bir spektral tashkil etuvchilari uchun garmonikalarning faqat bittasini o‘tkazuvchi (kuchsizlantirmasdan) alohida filtrli zanjir qo‘llanilgan.

Generatorning  $e(t)$  kuchlanishi 11.20, a - rasmdagi kabi  $C_{NCH}$  ga bevosita berilgan bo‘lib qoladi,  $2\omega_1, 3\omega_1, \dots$  chastotali toklar esa  $C_{NCH}$  nochiziqliligi tufayli tashqi zanjirda qisqa tutashadi va bunda  $\omega_1$  chastotali generator uchun hech qanday yuklamani sodir etmaydi. Faqatgina yuklama konturga ega bo‘lgan zanjir bundan mustasno.

Konturda tokning  $n$ -garmonikasi hosil qilgan kuchlanishning pasayishi  $e(t)$  bilan ketma-ket  $C_{NCH}$  ga ta'sir etadi.

Ko'paytirgich sxemasidagi tokning spektral tashkil etuvchilarini va energetik nisbatlarini aniqlashni chastotani 2 ga ko'paytirish misolida ko'rib chiqaylik.

Savolning prinsipial tomonini aniqlash uchun masalani quyidagi taxmin bilan yengillashtiramiz. Varaktorning volt-kulon tavsifnomasi ishlatilayotgan qismida polinomning ikkinchi darajasi bilan qoniqarli approksimatsiyalansin. U holda ikkinchi garmonika  $I_2$  tokining amplitudasi faqat qatorning kvadratik tashkil etuvchisi orqali aniqlanadi.

(11.43) ifodada  $e(t)$  o'rniga  $e(t)+U_n(t)=E\cos\psi_1(t)+U_2\sin\psi_2(t)$  yig'indini qo'yib, sodda trigonometrik o'zgartirishlardan keyin quyidagini olamiz:

$$2\epsilon_2[e(t)+U_n(t)][e'(t)+U'n(t)] = -\epsilon_2\omega_1 E^2 \sin(2\omega_1 t + 2\theta_1) + \epsilon_2\omega_1 E U_2 \cos(\omega_1 t + \theta_1) + 3\epsilon_2\omega_1 E U_2 \cos(3\omega_1 t + 3\theta_1) - 2\epsilon_2\omega_1 U_2^2 \sin(4\omega_1 t + 4\theta_1). \quad (11.46)$$

Ekvivalent sxemaning "bo'sh" zanjirlari orqali qisqa tutashadigan  $3\omega_1$  va  $4\omega_1$  chastotali toklar quvvat sarflamaydi va e'tiborga olinmasa ham bo'ladi.

(11.46) ifodaning o'ng qismidagi birinchi qo'shiluvchisi (11.43) ifoda bilan mos kelib,  $\omega_r=2\omega_1$  rezonans chastota yuklamali konturga ega zanjirning tokini aniqlaydi. Bu tokning amplitudasi:

$$I_{\omega_2} = b_2 \omega_1. \quad (11.47)$$

$R$  rezistorda ajralib chiqadigan quvvat esa:

$$P_{\omega_2} = \frac{I_{\omega_2}^2 R}{2} = \frac{b_2^2 \omega_1^2}{2} E^4 R. \quad (11.48)$$

(11.46) ifodaning o'ng qismidagi ikkinchi qo'shiluvchi  $e(t)$  generatori yuklovchi asosiy chastota  $\omega_1$  tokini aniqlaydi, uning amplitudasi (11.47) ifodani hisobga olgan holda quyidagiga teng:

$$I_{\omega_1} = b_2 \omega_1 E U_2 = b_2 \omega_1 E I_{\omega_2} R = b_2^2 \omega_1^2 E^3 R. \quad (11.49)$$

Shunga asosan,  $e(t)$  generatordan olinadigan quvvat

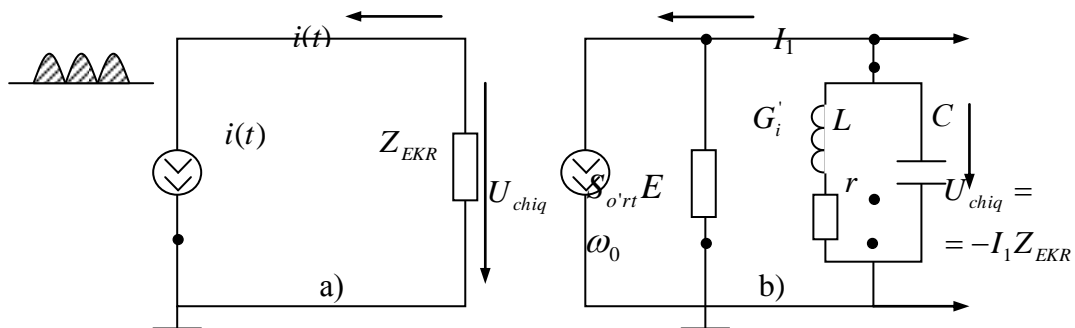
$$P_{\omega_1} = \frac{I_{\omega_1} E}{2} = \frac{b_2^2 \omega_1^2 E^4}{2} R$$

(11.48) va (11.49) ifodalarni solishtirish  $P_{\omega_1}=P_{\omega_2}$  ekanligini ko'rsatadi.

Kirish tebranishing  $E$  amplitudasi ko'payganda, va u bilan bog'liq (11.36) qatorning ancha yuqori darajali tashkil etuvchilari ta'sirining o'sib borishi bilan tok  $i_{NCH}(t)$  spektrining strukturaviysi ko'payadi, lekin  $P_{\omega_1}$  va  $P_{\omega_2}$  o'rtasidagi nisbat avvalgidek qoladi.

$P_{\omega_1}=P_{\omega_n}$  tengligida  $C_{NCH}$  quvvatli sig'im elementiga ega chastota ko'paytirgichining 11.21-rasmdagi tranzistorli inersiyasiz ko'paytirgichdan prinsipial farqi namoyon bo'ladi.

Tranzistorli ko'paytirgichda  $\omega_1$  chastotali kirish signali manbasi kollektor tokini boshqaradi xolos,  $n\omega_1$  chastotali tebranish energiyasi esa kollektor zanjiridagi o'zgarmas tok manbasidan beriladi.



11.21-rasm. Kuchaytirgich chiqish zanjirining umumiy ekvivalent sxemasi:

a) tokni kesish rejimida; b) impuls tokning 1-garmonikasi uchun.

Sxemada  $Z_{EKR}$  – toklar rezonansida parallel konturning ekvivalent qarshiligi.

Varaktorli ko'paytirgichda energiyaning yagona manbasi  $\omega_1$  chastotali generator hisoblanadi, to'plovchi vazifasini bajaradigan nochiziqli  $C_{NCH}$  sig'imga energiyani berib, undan esa energiya  $n\omega_1$  chastotali tebranishga qayta uzatiladi.

Varaktordagi yo'qotishlarni e'tiborga olmagan holda ko'paytirgich foydali ish koeffitsienti 1 ga teng. Real qurilmada esa

varaktorning xususiy qarshiligi va moslovchi zanjirlardagi yo‘qotishlar hisobiga FIK 60–70% tashkil etadi.

## 12. Radioaloqada halaqitga bardoshlik vazifalari

Shovqin va halaqitlarga qarshi kurashish radiotexnikaning ko‘p sohalarida asosiy vazifalardan biri hisoblanadi. Axborotni uzatuvchi tizimlarning halaqitga yuqori bardoshliligin ta’minlashning bir necha yo‘llari mavjud. Masalan, signalni qayta ishlovchi shunday qurilmalar ishlab chiqiladiki, ular ma’lum bir usul bilan halaqit ta’sirida buzilgan signalni yuqori darajada ajratib olishi mumkin.

Boshqa usulda esa uzatiladigan signaling tuzilishini mukammallashtiriladi, kodlash va modulatsiyaning halaqitga bardosh usullari qo‘llaniladi. Bunday halaqitga bardoshli signallarga Barker kodlari va chiziqli chastotaviy modulatsiyalangan signallarni misol qilib keltirish mumkin.

### 12.1. Chiziqli chastotaviy filtr yordamida foydali signalni ajratib olish

**Signal/shovqin nisbati.** Halaqit ta’sirida buzilgan foydali signalni ajratib olish uchun chastotaviy filtrlashdan foydalanish mumkin. Chiziqli statsionar filtrning chastotaviy uzatish koeffitsienti  $K(j\omega)$  shunday tanlangan bo‘lsinki,  $|K(j\omega)|$  kattalik qiymailari signal energiyasining asosiy ulushi yig‘ilgan chastotalar mintaqasida katta va shovqin quvvatining spektral zichligi katta mintaqada kichik bo‘lsin. Bunday filtr kirishiga signal va shovqin yig‘indisini berib, chiqishda foydali signal nisbiy ulushining sezilarli darajada ko‘payishini olish mumkinligini kutsa bo‘ladi.

Chiziqli filtr kirishida foydali  $s_{kir}(t)$  signal va shovqin  $n_{kir}(t)$  yig‘indisidan iborat kirish signali mavjud bo‘lsin:

$$u_{kir}(t) = s_{kir}(t) + n_{kir}(t). \quad (12.1)$$

Bu yerda va keyinchalik bu ikki signalning har biri bir xil markaziy  $\omega_0$  chastotali tor kenglikka ega deb faraz qilinadi. Quyidagi ko‘paytmaning o‘rtacha qiymati sababli  $s_{kir}$  va  $n_{kir}$  signallar korrelatsiyalanmagan hisoblanadi:

$$\langle s_{kir} n_{kir} \rangle = \lim_{T \rightarrow \infty} \frac{1}{T} \int_0^T s_{kir}(t) n_{kir}(t) dt = 0. \quad (12.2)$$

Shuningdek, bu signallarni vaqt intervalining chegaralanmagan davomiyligida statsionar ekanligini ham faraz qilish kerak.

Filtr kirishidagi tebranishlarning kuchayishini kirish signali o‘rtacha kvadrati (o‘rtacha quvvati) kattaligi orqali xarakterlash mumkin. U (6.2) tenglik bo‘yicha foydali signal va shovqinning o‘rtacha kvadratlari yig‘indisi hisoblanadi:

$$\langle u^2_{kir} \rangle = \langle s^2_{kir} \rangle + \langle n^2_{kir} \rangle = \langle s^2_{kir} \rangle + \sigma^2_{nkir}. \quad (12.3)$$

bunda  $\sigma^2_{nkir}$  – kirish shovqinining dispersiyasi.

Signalning nisbiy darajasini ifodalash uchun filtr kirishida signal/shovqin nisbati tushunchasini kiritish lozim va u quyidagicha aniqlanadi:

$$Q_{kir} = \langle s^2_{kir} \rangle / \sigma^2_{nkir} \quad (12.4)$$

yoki logarifmik birlikdagi ko‘rinishda (dB):

$$q_{kir} = 10 \lg(\langle s^2_{kir} \rangle / \sigma^2_{nkir}). \quad (12.5)$$

O‘lchamsiz raqam  $Q_{kir}$  signal darajasini shovqin darajasiga nisbatan nihoyatda to‘liq emas va taxminan xarakterlashini ta’kidlash zarur. Bu nisbat bilan faqat signal va shovqinning realizatsiyasi qandaydir ma’noda bir-biriga “o‘xshash” ekanligi oldindan ma’lum bo‘lganligina foydalanish mumkin. Kirish shovqini, odatda, tor polosali tasodifiy jarayon modeli orqali yaxshi ifodalananadi. Berilgan shovqinni alohida realizatsiyalari kvazigarmonik tebranishlar ko‘rinishidan iborat bo‘ladi. Tabiiyki, bu holda (12.4) ifoda orqali AM yoki ChM ko‘rinishida modulatsiyalangan foydali signallarning darajasini baholash uchun foydalanish mumkin.

**Filtr chiqishida signal/shovqin nisbati.** Chiziqli filtr superpozitsiya tamoyiliga bo‘ysunadi. Signal va shovqin bunday filtr tomonidan mustaqil qayta ishlanadi va chiqishda

$$\langle u^2 \rangle_{chiq} = \langle s^2 \rangle_{chiq} + \sigma^2_{nchiq} \quad (12.6)$$

o‘rtacha kvadratli  $u_{chiq}(t) = s_{chiq}(t) + n_{chiq}(t)$  signalni hosil qiladi.

Bu esa filtr chiqishida quyidagi signal/shovqin nisbatini kiritishga imkon beradi:

$$Q_{chiq} = \langle s^2 \rangle_{chiq} / \sigma^2_{nchiq} \quad (12.7)$$

yoki logarifmik birliklarda

$$q_{chiq} = 10 \lg(\langle s^2 \rangle_{chiq} / \sigma^2_{nchiq}). \quad (12.8)$$

Signal/shovqin nisbati bo‘yicha quyidagi kattalikni filtrning yutug‘i deb atash mumkin:

$$M_F = Q_{chiq} / Q_{kir}. \quad (12.9)$$

U ham detsibellarda ifodalanishi mumkin:

$$m_F = q_{chiq} - q_{kir}. \quad (12.10)$$

Ko‘rinib turganidek, agar  $M_F > 1$  bo‘lsa, ya’ni  $m_F > 0$  da signal va shovqin yig‘indisini filtrlash biz tomondan qabul qilingan kriteriy ma’nosida ijobiy natijaga olib keladi – foydali signalning chiqishda nisbiy darajasi ko‘payadi.

Radiotizimning normal ishlashi uchun yetarli bo‘lgan signal/shovqin nisbatining qaysi qiymati ma’qul degan savolga javob butunlay tizimning mo‘ljallanganligi va qo‘yilgan barcha texnik talablar to‘plamiga bog‘liq bo‘ladi.

## 12.2. Shakli ma’lum signallarni optimal chiziqli filtrlash

**Optimal chiziqli filtr** deb signal va shovqin yig‘indisini ma’lum bir usul bilan yuqori darajada qayta ishlovchi chastotaviy-tanlovchi tizimga aytildi.

Shakli ma’lum signal va shovqinning yig‘indisini optimal qayta ishlash muammosi misol uchun radiolokatsiyada sodir bo‘ladi. Bu

yerda qabul qilingan foydali  $s_{qab}(t)$  signal uzatilgan  $s_{uzat}(t)$  signalning aniq masshtabli nusxasi hisoblanadi, ya’ni

$$s_{qab}(t) = A s_{uzat}(t - \tau).$$

bunda  $A \ll 1$  o‘zgarmas son.

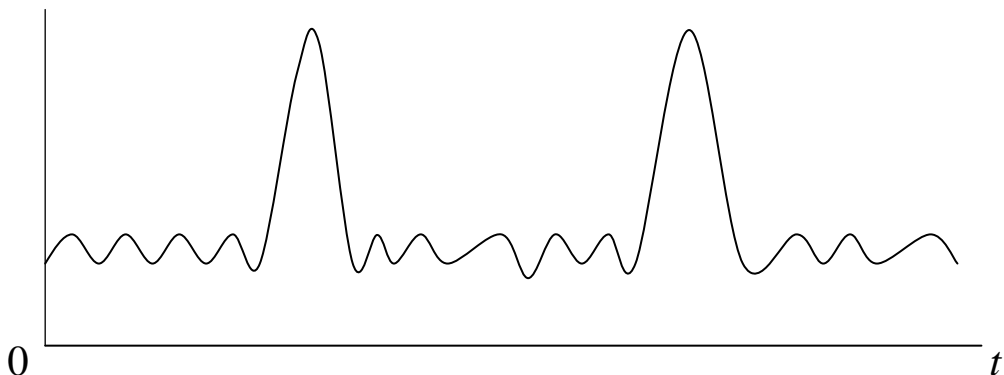
Qabul qilingan signalning amplitudasi juda kichik va qabul qilgichning kirishida shovqinning samarali kuchlanishi bilan taqqoslanishi mumkin.

Radiolokatorning qabul qiluvchi qurilmasi quyidagi operatsiyalarni bajaradi:

a) signalni topadi, ya’ni qabul qilingan tebranishda aks ettirilgan signalning mavjudligini faktning o‘zi tasdiqlaydi;

b) mo‘ljalgacha proporsional bo‘lgan masofani kechiktirish  $\tau$  vaqtini o‘lchaydi.

Radiolokatsion tizimning ishlashida foydali signalning shaklini saqlash talab etilmaydi. Undan tashqari qayta ishlash jarayonida foydali signalni shunday transformatsiyalash kerakki, uning filtr kirishiga berilishi vaqtning ma’lum momentida chiqish tebranishining oniy qiymatlarini yetarlicha ko‘tarilishiga olib kelishi mumkin bo‘lsin (12.1-rasm). Shovqin signali Gauss jarayoni bo‘lmish katta ko‘tarilishlarning kam ehtimolligi bilan tavsiflanadi.



12.1-rasm. Foydali signalning shovqin sathidan ko‘tarilishi.

Shuning uchun chiqish signali vaqtning ba’zi momentlarida shovqinning samarali kuchlanishidan ustun bo‘lsada, bu yuqori ehtimollik bilan qabul qilgich kirishida foydali signalning mavjudligini tasdiqlaydi.

**Chiziqli moslashgan filtr.** Signal va shovqin yig‘indisini qayta ishlovchi tizim  $h(t)$  impuls tavsifnomali statsionar chiziqli filtr bo‘lsin. Determinlangan foydali  $s_{kir}(t)$  signal filtr chiqishida quyidagi aks javobni hosil qiladi:

$$s_{chiq}(t) = \int_{-\infty}^{\infty} s_{kir}(\tau)h(t - \tau)d\tau.$$

Qandaydir, hozircha ixtiyoriy vaqt  $t_0$  momentini belgilab olib va  $h(t)$  funksiyani shunday tanlaylikki,  $|s_{chiq}(t_0)|$  kattalik maksimal mumkin bo‘lgan qiymatga yetsin. Agar bunday funksiya haqiqatan mavjud bo‘lsa, u holda unga javob beradigan chiziqli filtrni berilgan kirish signali bilan moslashgan filtr yoki *moslashgan filtr* deyiladi.

Shunday qilib, quyidagi ifoda modul bo‘yicha maksimallash-tirilishi lozim bo‘lgan filtr chiqishidagi aks javobi bo‘lsin:

$$s_{chiq}(t_0) = \int_{-\infty}^{\infty} s_{kir}(\tau)h(t_0 - \tau)d\tau. \quad (12.11)$$

Koshi-Bunyakovskiy tengsizligiga asosan:

$$\left| \int_{-\infty}^{\infty} s_{kir}(\tau)h(t_0 - \tau)d\tau \right| \leq \left[ \int_{-\infty}^{\infty} s_{kir}^2(\tau)d\tau \int_{-\infty}^{\infty} h^2(t_0 - \tau)d\tau \right]^{1/2}. \quad (12.12)$$

Tenglik ishorasi integral osti ifodasidagi ham ko‘paytuvchilar bir-biriga proporsional bo‘lgandagina o‘rinlidir:

$$h(t_0 - \tau) = ks_{kir}(\tau), \quad (12.13)$$

bunda  $k$  – ixtiyoriy koeffitsient.

$t$  o‘zgaruvchini  $t=t_0-\tau$  shakliy almastirishni bajarib, undan quyidini olamiz:

$$h_{mos}(t) = ks_{kir}(t_0 - t). \quad (12.14)$$

Yuqorida ko‘rsatilganlarga asosan, moslashgan filtrning impuls Tavsifnomasi kirish signalning masshtabli nusxasi ko‘rinishida

bo‘ladi, lekin u vaqt o‘qi bo‘ylab oynaviy tartibda joylashadi (buni (12.14) ifodada  $t$  o‘zgaruvchining manfiy ishorasi ko‘rsatib turibdi). Undan tashqari moslashgan filtrning impuls tavsifnomasi  $s_{kir}(-t)$  signalga nisbatan  $t_0$  oraliqqa surilgan.

12.2-rasm  $h_{mos}(t)$  funksiyani  $t=0$  da sodir bo‘luvchi  $\tau_i$  davomiylikka ega  $s_{kir}(t)$  impuls signalga tegishli holda qurish prinsipini namoyon qiladi.

12.2-rasmdagi tavsifnomada qurilishini tahlil qilgan holda moslashgan filtrni fizikaviy ishlab chiqish uchun zarur (lekin yetarlicha emas) shartni tariflash mumkin: kirishda impuls boshlanishi va maksimal chiqish reaksiyasi sodir bo‘lish momenti orasidagi  $t_0$  vaqt oralig‘i chiqayotgan impuls davomiyligidan kam bo‘lmasligi kerak. Aks holda tizimning impuls tavsifnomasi  $t < 0$  da noldan farqlanuvchi bo‘lar edi, ya’ni, filtr kirishiga delta-impuls berilish momentigacha.

Bu shartning ma’nosi quyidagicha: chiqishda signalning maksimal mumkin bo‘lgan oniy qiymatini hosil qilish uchun moslashgan filtr butun kirish signalini qayta ishlashni oldindan amalga oshirishi lozim.

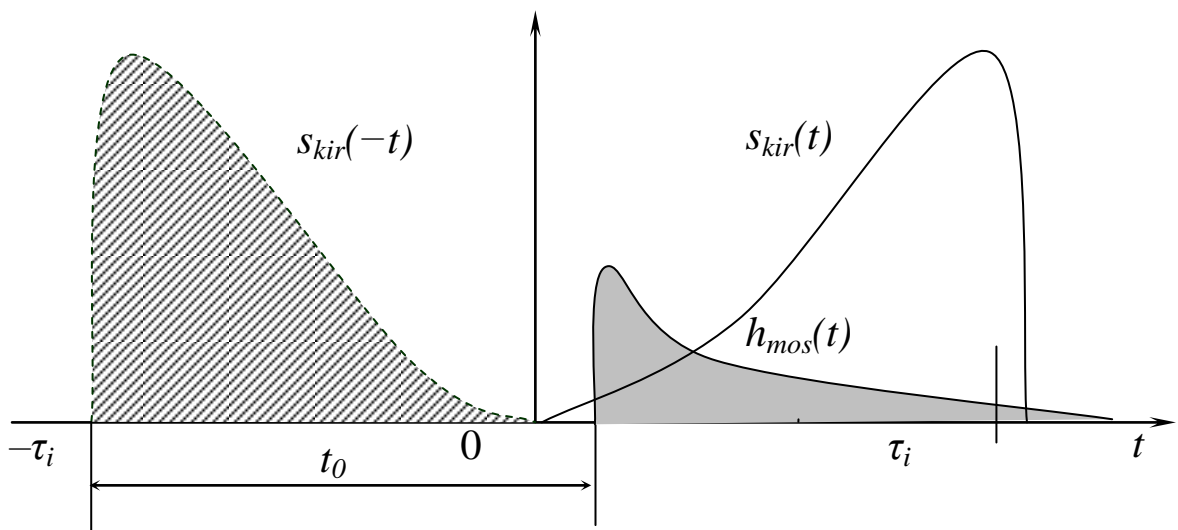
### 12.3. Moslashgan filtrlarni ishlab chiqish

**To‘g‘ri burchakli videoimpuls uchun moslashgan filtr.** To‘g‘ri burchak shakldagi ma’lum  $\tau_i$  davomiylikka va ixtiyoriy  $U_0$  amplitudaga ega videoimpuls ko‘rinishdagi  $s_{kir}(t)$  impuls signalni ko‘rib chiqaylik. Bunday signal bilan moslashgan filtr tuzilishini aniqlash uchun spektral usulni qo‘llaymiz. Avval foydali signalning spektral zichligini hisoblaymiz:

$$S_{kir}(\omega) = \int_{-\infty}^{\infty} s_{kir}(t) e^{-j\omega t} dt = U_0 \int_0^{\tau_i} e^{-j\omega t} dt = \frac{U_0}{j\omega} \left( 1 - e^{-j\omega \tau_i} \right). \quad (12.15)$$

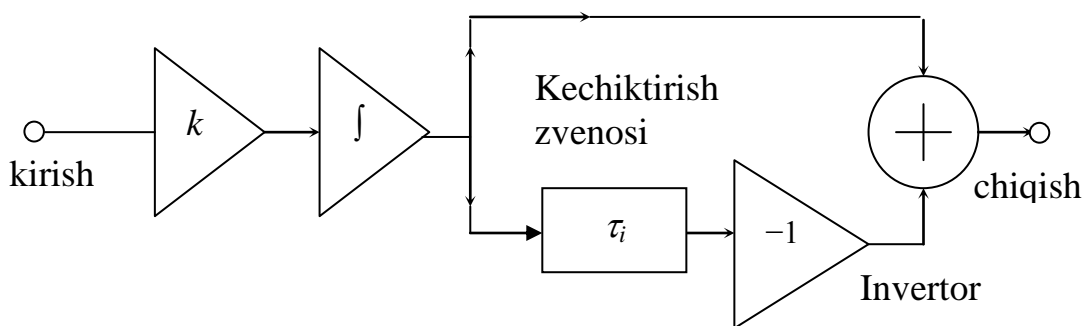
Moslashgan filtrning chastotaviy uzatish koeffitsientini  $t_0 = \tau_i$  aniqlikni kiritib, ya’ni, filtrning reaksiyasi impuls tugagan momentda maksimal ekanligini hisobga olib quyidagicha aniqlaymiz:

$$K_{MOS}(j\omega) = k \frac{1 - e^{j\omega \tau_i}}{-j\omega} e^{-j\omega \tau_i} = \frac{k}{j\omega} \left( 1 - e^{-j\omega \tau_i} \right). \quad (12.16)$$



12.2-rasm. Moslashgan filtr impuls tavsifnomasining qurilishi

Olingan natija moslashgan filtrni sintezlashga imkon beradi. Haqiqatan, (12.17) ifodaga asosan bunday filtr quyidagi uchta chiziqli zvenolarning kaskadli ularishidan iborat bo‘lishi kerak: a)  $k$  kuchaytirish koeffitsientli masshtab kuchaytirgich; b) ideal integrator; c)  $K'(j\omega)=1-\exp(-j\omega\tau_i)$  uzatish koeffitsientli qurilma. Oxirgi qurilma signal ishorasini o‘zgartiruvchi invertoring signalini  $\tau_i$  vaqtga kechiktiruvchi zveno hamda summator yordamida ishlab chiqiladi. 12.3-rasmida filtrning strukturaviy sxemasi tasvirlangan.



12.3-rasm. To‘g‘riburchakli videoimpuls uchun moslashgan filtrning strukturaviy sxemasi.

**To‘g‘ri burchakli radioimpuls uchun moslashgan filtr.** Ishlab chiqilayotgan signal quyidagi ko‘rinishda berilgan radioimpuls bo‘lsin:

$$s_{kir}(t) = \begin{cases} 0, & t < 0 \\ U_0 \sin \omega_0 t, & 0 \leq t \leq \tau_i \\ 0, & t > \tau_i \end{cases} \quad (12.17)$$

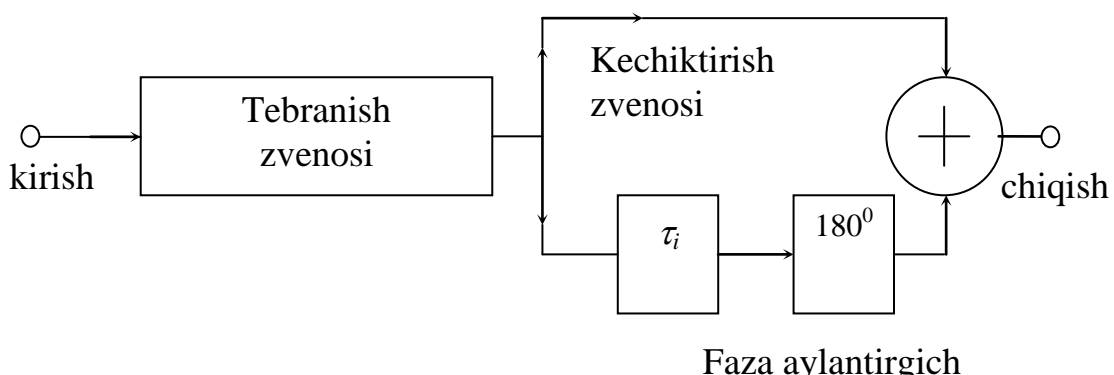
Bunday signal uchun filtrning impuls tavsifnomasi haqida ma’lumotlarni qo‘llagan holda moslashgan filtrni sintezlaymiz.

Moslashgan filtrning impuls tavsifnomasi  $h_{mos}(t) = ks_{kir}(t_0 - t)$  ekanligini oldingi paragrafda ko‘rilgan edi. Soddalashtirish uchun  $t_0 = \tau_i$  va  $\sin \omega_0 \tau_i = 0$  qilib olib impulsning davomiyligini yuqori chastotali to‘ldirish davriga karrali deb hisoblaymiz. U holda impuls tavsifnomasi quyidagicha bo‘ladi:

$$h_{mos}(t) = \begin{cases} 0, & t < 0, \\ k \sin \omega_0 t, & 0 \leq t \leq \tau_i, \\ 0, & t > \tau_i, \end{cases} \quad (12.18)$$

ya’ni moslashgan filtrning impuls tavsifnomasi kirish signalini amplituda bo‘lgichi aniqligida takrorlaydi.

Bunday impuls tavsifnomasini 12.4-rasmda ko‘rsatilgan strukturaviy sxemadagi tizim yordamida taxminan ishlab chiqish mumkin.



12.4-rasm. To‘g‘riburchakli radioimpuls uchun moslashgan filtrning strukturaviy sxemasi.

Filtr kirishida quyidagi impuls tavsifnomali tebranish zvenosi joylashgan (masalan, yuqori asilikka ega tebranish konturi):

$$h_{tebr}(t) = \begin{cases} 0, & t < 0, \\ b \sin \omega_0 t, & t \geq 0, \end{cases}$$

bunda  $b$  – o‘zgarmas kattalik.

Tebranish zvenosi yuqori asillikka ega bo‘lsa, vaqt bo‘yicha amplitudaning eksponensial pasayishini inobatga olmasa bo‘ladi.

Moslashgan filtrning impuls tavsifnomasi  $t > \tau_i$  da nolga teng bo‘lishi uchun sxemada summator qo‘llanilgan. Uning kirishlaridan biriga signal tebranish zvenosining chiqishidan bevosita berilsa, ikkinchisiga  $\tau_i$  soniyaga kechiktirish zvenosi va signal fazasini  $180^\circ$  ga o‘zgartiruvchi fazaaylantirgichlar orqali beriladi. Elementlarning bunday ulanishida vaqtning  $t = \tau_i$  momentidan boshlab summator kirishiga amplitudalari bir xil va fazalari qarama-qarshi bo‘lgan ikki garmonik tebranish ta’sir qilib, summator chiqishidagi signalni nolga aylantiradi.

## Adabiyotlar

1. A. A. Abduazizov va boshq. Radiotexnik zanjirlar va signallar. – T.: Shams ASA, 2013.
2. Каганов В. И. Радиотехнические цепи и сигналы. – М.: Высшее образование, 2010.
3. Гоноровский И. С. Радиотехнические цепи и сигналы. – М.: ДРОФА, 2006.
4. Баскаков С. И. Радиотехнические цепи и сигналы. – М.: Высшая Школа, 2000.
5. Радиотехнические цепи и сигналы. / Под ред. Самойло К. А. / М.: Радио и связь, 1982.
6. Баскаков С. И. Радиотехнические цепи и сигналы. Руководство к решению задач. – М.: Высшая школа, 2002.
7. Радиотехнические цепи и сигналы. Примеры и задачи. / Под ред. Гоноровского И. С. / М.: Радио и связь, 1989.

## MUNDARIJA

<b>KIRISH .....</b>	.3
<b>1. Signallarni masofaga uzatish va radiotexnikada ishlatiladigan chastotalar .....</b>	4
1.1. Radiotexnikaning asosiy vazifalari .....	4
1.2. Asosiy radiotexnik jarayonlar .....	7
1.3. Halaqitlar va buzilishlar .....	10
1.4. Aloqa kanalining halaqitga bardoshligini oshirishda asosiy vazifalar .....	13
1.5. Qabul qilingan signalni asliga mosligi va uzatish tezligi .....	16
<b>2. Radiotexnik zanjirlar va ularni tahlil qilish usullari .....</b>	18
2.1. Radiotexnik o‘zgartirishlar .....	18
2.2. O‘zgarmas parametrli chiziqli zanjirlar .....	19
2.3. O‘zgaruvchan parametrli chiziqli zanjirlar .....	20
2.4. Nochiziq sistemalarning umumiyligining xususiyatlari .....	21
2.5. Parametrik zanjirlar .....	23
<b>3. Mutlaq aniq signallarning xarakteristikalari .....</b>	26
3.1. Energetik xarakteristikalar .....	26
3.2. Ixtiyoriy signalni elementar tebranishlar yig‘indisi sifatida ko‘rinishi .....	28
<b>4. Nodavriy signallarni garmonik tahlil qilish. Nodavriy signal-larning spektri. Furye o‘zgartirishining xususiyatlari .....</b>	32
4.1. Nodavriy signallarni garmonik tahlil qulish. Nodavriy signallarning spektri .....	32
4.2. Fur’e o‘zgartirishining xususiyatlari .....	35
<b>5. Mutlaq aniq signallarni korrelyatsion tahlil qilish. Signalning korre-latsion funksiyasi va spektral xarakteristikasi orasidagi munosabat .....</b>	37
5.1. Mutlaq aniq signallarni korrelyatsion tahlil qilish .....	37
5.2. Korrelyatsion funksiya va signal spektral xarakteristikasi orasidagi nisbat .....	44

<b>6. Modulatsiyalangan tebranishlar</b>	45
6.1. Umumiy aniqlashtirishlar	45
6.2. Amplituda bo‘yicha Modulyatsiyalangan (AM) radiosignalalar. AM-tebranish spektri. AM-tebranishning vektor tasavvuri va uning spektral zichligi	48
6.3. AM signallarni olish usullari	51
6.4. Chastotasi va fazasi Modulyatsiyalangan signalalar	57
6.5. Chastotasi Modulyatsiyalangan signallarni olish	62
6.6. Fazasi Modulyatsiyalangan signallarni olish (shakllantirish)	66
<b>7. Analitik signal. Analitik signalning spektral zichligi va korrelyatsion funksiyasi</b>	68
7.1. Signallarni kompleks ko‘rinishda tasvirlash	68
7.2. Analitik signal	69
<b>8. Tasodifyj signallarning asosiy xarakteristikalari. Tasodifyj jarayonlarning turlari</b>	74
8.1. Tasodifyj jarayonlarning xarakteristikalari	74
8.2. Tasodifyj jarayonlarning turlari. Misollar	78
<b>9. O‘zgarmas parametrli chiziqli radiotexnik zanjirlar</b>	82
9.1. Aktiv zanjirlarning xususiyatlari	82
9.2. Aktiv to‘rtqutblik chiziqli kuchaytirgich sifatida. Ekvivalent sxemani qurish prinsipi	85
9.3. Aktiv to‘rtqutblikda teskari aloqa	89
<b>10. O‘zgarmas parametrli chiziqli zanjirlar orqali mutlaq aniq signallarning o‘tishini tahlil qilish</b>	92
10.1. Spektral usul	92
10.2. Ustma-ust qo‘yish integral usuli	94
10.3. Diskret signallarning aperiodik kuchaytirgichlardan o‘tishi	96
10.4. Siganallarni differensiallash va integrallash	98
10.5. Tanlovchi zanjirlarda radiosignalarni tahlil qilish. Og‘uvchi usuli	102
<b>11. Nochiziqli zanjirlar va ularni tahlil qilish usullari</b>	105
11.1. Rezistiv va reaktiv nochiziqli elementlar	105
11.2. Nochiziq rezonansli kuchaytirish	112

11.3. Chastotani ko‘paytirish .....	117
11.4. Amplituda bo‘yicha chegaralash .....	119
11.5. Signal chastotasini o‘zgartirish .....	122
11.6. Nochiziqli elementlar zanjiriga garmonik signalning ta’siri. Nochiziq zanjirlarda jarayonlarni modellashtirish .....	127
<b>12. Radioaloqada halaqitga bardoshlik vazifalari .....</b>	<b>133</b>
12.1. Chiziqli chastotaviy filtr yordamida foydali signalni ajratib olish .....	133
12.2. Shakli ma’lum signallarni optimal chiziqli filtrlash .....	135
12.3. Moslashgan filtrlarni ishlab chiqish .....	138
<b>Adabiyotlar .....</b>	<b>142</b>

Muharrir                    Sidikova K.A.  
 Musahhih                 Adilxodjayeva Sh.